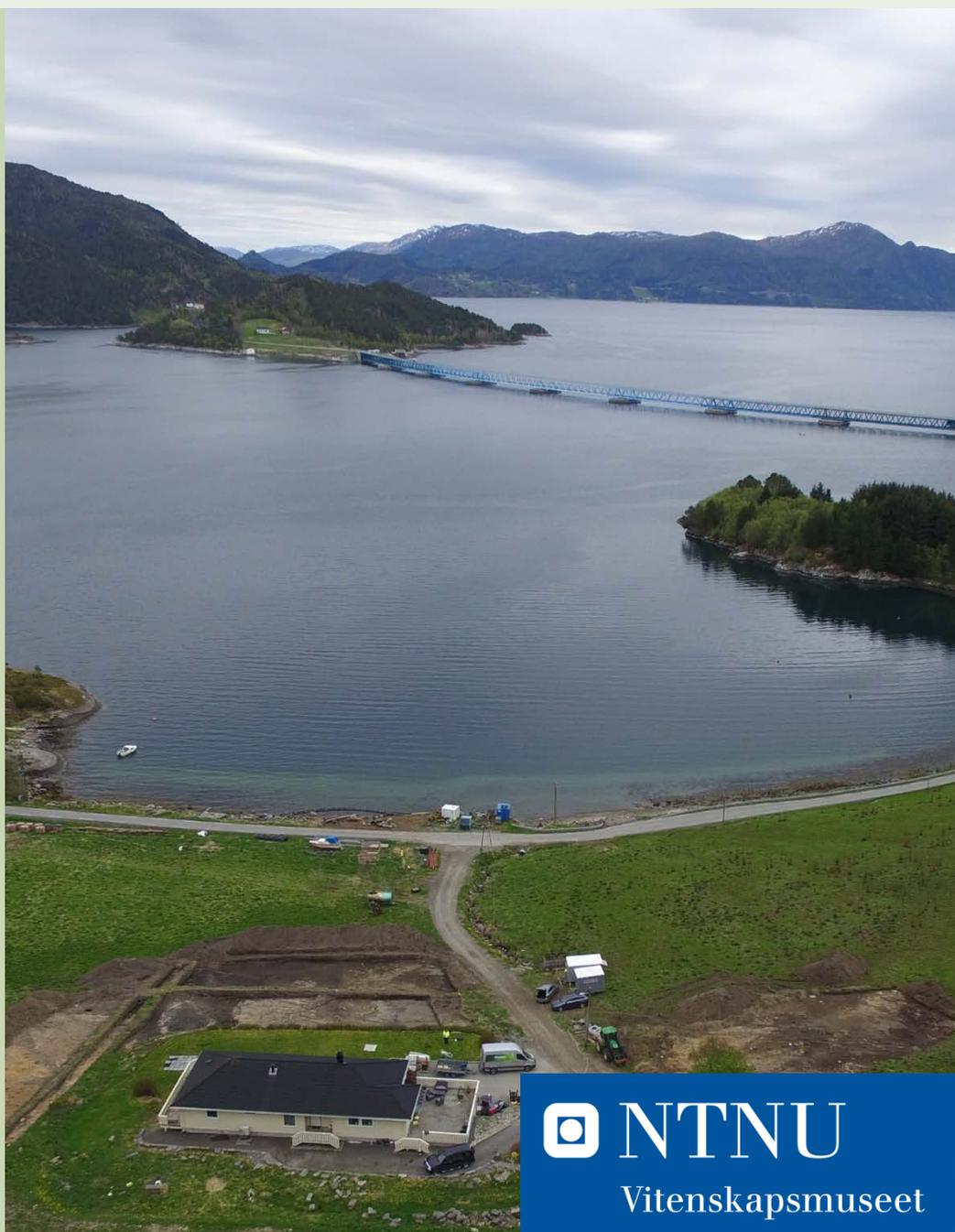


Elisabeth F. Swensen, Eystein Østmoe & Raymond
Sauvage

Arkeologisk undersøkelse, Gjemnes, Møre og Romsdal

**NTNU Vitenskapsmuseet
arkeologisk rapport 2018-2**



NTNU Vitenskapsmuseet arkeologisk rapport 2018:2

Elisabeth F. Swensen, Eystein Østmoe & Raymond Sauvage

Arkeologisk undersøkelse, Litlvika, Gjemnes, Møre og Romsdal

NTNU Vitenskapsmuseet arkeologisk rapport

Dette er en elektronisk serie fra 2014. Serien er ikke periodisk, og antall nummer varierer per år. Rapportserien benyttes ved endelig rapportering fra prosjekter eller utredninger, der det også forutsettes en mer grundig faglig bearbeidelse.

Tidligere utgivelser: <http://www.ntnu.no/vitenskapsmuseet/publikasjoner>

Referanse

Swensen, E. F., Østmoe, E. & Sauvage, R. 2018: NTNU Vitenskapsmuseet arkeologisk rapport 2018:2. Arkeologisk undersøkelse Litlvika, Gjemnes, Møre og Romsdal

Trondheim, april, 2018

Utgiver

NTNU Vitenskapsmuseet
Institutt for arkeologi og kulturhistorie
7491 Trondheim
Telefon: 73 59 21 16/73 59 21 45
e-post: post@vm.ntnu.no

Ansvarlig signatur

Bernt Rundberget (instituttleder)

Kvalitetssikret av

Ellen Grav Ellingsen (serieredaktør)

Publiseringstype

Digitalt dokument (pdf)

Forsidefoto

Dronebilde, oversikt over Litlvika, Da61925_040, Foto: Raymond Sauvage, NTNU Vitenskapsmuseet

www.ntnu.no/vitenskapsmuseet

ISBN 978-82-8322-136-7
ISSN 2387-3965

Sammendrag

Swensen, E. F., Østmoe, E. & Sauvage, R. 2018: NTNU Vitenskapsmuseet arkeologisk rapport 2018:2. Arkeologisk undersøkelse, Litlvika 2017

I forbindelse med tilskudd til drenering av landbruksareal på gnr. 48/2 på Bergsøy i Gjemnes kommune, Møre og Romsdal fylke, foretok NTNU Vitenskapsmuseet sommeren 2017 arkeologiske utgravninger av to lokaliteter, lokalitet 1 (Askeladden ID 35620) og lokalitet 2 (Askeladden ID 214024).

Begge lokalitetene lå på mark som ble brukt som beitemark, men som før hadde vært oppdyrket. Lokalitet 1 hadde mest spor fra senmesolittisk aktivitet, men hadde også spor fra andre perioder. Det ble her funnet 2610 funn, hvorav alle var fra eldre steinalder. Lokalitet 2 hadde mest spor fra neolittisk tid og vikingtid, og herfra ble det gjort 384 funn. Det ble målt inn 27 strukturer på begge lokalitetene, der de alle fleste var grøfter, men det var også et par rydningsrøyser, en vikingtids kokegrop og en neolittisk kokegrop/avfallsgrop.

På lokalitet 1 fantes det et senmesolittisk kulturlag med en grop som kan tolkes som en tuft, men uten karakteristika som veggvoller, grøfter, stolpehull etc. som kan støtte en slik tolkning. På lokalitet 2 fantes det dype dyrkningslag, der de eldste ser ut til å stamme fra merovingertid/vikingtid. Det ble sendt inn 17 prøver til datering der tidsspennet gikk fra senmesolittikum til vikingtid, som støttet opp de fleste antagelsene om datering som var gjort i felt, ved hjelp av strandlinjedatering og gjenstandsdatering.

Den menneskelige aktiviteten på lokalitetene har begynt når områdene kom opp fra havet, og har vært mer og mindre aktivt fram til i dag. Det kan virke som husdyrhold kan ha kommet inn i senneolittikum, og den moderne gården kan ha kommet til i sen merovingertid/tidlig vikingtid.

Nøkkelord: senmesolittikum, yngre steinalder, merovingertid, vikingtid

Elisabeth Forrestad Swensen, Eystein Østmoe og Raymond Sauvage, NTNU Vitenskapsmuseet, Institutt for arkeologi og kulturhistorie, NO-7491 Trondheim.

Summary

Swensen, E. F., Østmoe, E. & Sauvage, R. 2018: NTNU Vitenskapsmuseet arkeologisk rapport 2018:2. Arkeologisk undersøkelse, Litlvika 2017

In connection with grants to drainage of agricultural area on gnr. 48/2 on Bergsøy in Gjemnes, Møre og Romsdal county, NTNU University museum undertook archaeological excavations of two sites, site 1 (Askeladden ID 35620) and site 2 (Askeladden ID 214024).

Both the sites were situated on ground used for pasture, but which in past times have been used as cropland. Site 1 had for the most part traces of late Mesolithic activity, but also from later periods. It was recovered 2610 finds on this site, where all of them were from the Mesolithic. Most of the traces from site 2 originate from the Neolithic and the Viking age, and here 384 finds were recovered. A total of 27 features were found on both sites, where most of them were ditches, but also some clearance cairns, a Viking age cookingpit and a Neolithic cookingpit/wastepit.

On site 1 there was a late Mesolithic cultural layer, with a pit which might be interpreted as a dwelling, but without characteristics such as wallmounds, ditches, postholes etc. which might support such an interpretation. On site 2 there was deep cultivation layers, where the oldest ones seemed to be from the Merovingian/Viking age. A total of 17 dating samples were sent for dating, and showed a usage of the area from late the Mesolithic to the Viking age. This supported most of the assumptions about dating of the sites done in the field, helped from finds assemblages and sea-level curves.

The human activity on both localities began when the areas rose up from the sea in the stone age, and have more or less been areas of activity until today. It seems that the area might have been used for pasture in late Neolithic age, and that the beginning of the modern farm started in late Merovingian/early Viking age.

Keywords: Late Mesolithic, Neolithic, Merovingian age, Viking age.

Elisabeth Forrestad Swensen, Eystein Østmoe og Raymond Sauvage, NTNU University Museum, Department of Archaeology and Cultural History, NO-7491 Trondheim, Norway..

Arkivreferanser

Arkeologisk utgravning av steinalderlokaliteter, Litlvika, Gjemnes

Intrasisnr	2017_81
AskeladdenID	35620, 214023, 214024
Saksnummer (ePhorte)	2016/17729
Aksesjonsnummer	2017/81
Tilvekstnr	T27565, T27566
Fotonr	Da61925 - Da61926, Da61927-61950
Fylke	Møre og Romsdal
Kommune	Gjemnes
Gårdsnavn	Lilleviken/Litjvika
Gårdsnummer	48
Lokalitet	Lok 1 Litlvika, Lok 2 Litlvika
Kulturminnetype	Steinalderlokaliteter, dyrkningspor bosettingspor
Datering	Senmesolittikum, neolittikum, merovingertid, vikingtid.

Innhold

Sammendrag.....	4
Summary.....	5
Arkivreferanser	6
1. Bakgrunn for undersøkelsen	11
1.1 Områdebeskrivelse.....	12
1.2 Kulturhistorisk bakgrunn og tidligere registreringer	14
2. Undersøkelsens rammer	16
2.1 Tid og deltakere	16
2.2 Problemstillinger	17
2.3 Metode	18
2.3.1 Metode på Lokalitet 1.....	19
2.3.1 Metode på Lokalitet 2.....	19
2.4 Dokumentasjon.....	21
2.5 Formidling	23
3. Gjennomføringen av utgravingsprosjektet.....	24
3.1 Beskrivelse av utgravde lokaliteter	24
3.1.1 Lokalitet 1, askeladden ID 35620	24
3.1.2 Lokalitet 2, askeladden ID 214024	33
Lok. 2b	35
Lok. 2a og 2c.....	41
4. Funnmateriale.....	48
4.1 Lokalitet 1	48
4.2 Lokalitet 2	55
4.3 Prøver og dateringer.....	61
4.3.1 Dateringer	62
4.3.2 Makrofossilprøver	69
5. Resultater	72
5.1. Datering og bosetting over tid.....	72
5.2 Samlet vurdering.....	76
6. Litteraturliste og vedlegg	77
Litteraturliste	77
Vedlegg.....	77
Tegningsliste.....	78
Innsendte prøver.....	79
Strukturliste	80
Dateringer samlet	83
Rentegninger	87
Fotoliste Lok. 1, feltfoto.....	98
Fotoliste Lok. 2, feltfoto.....	100
Fotoliste samlet fotogrammetrier	105
Funnliste Lok. 1, T27565	109
Funnliste Lok. 2, T27566	147

Figurliste:

Figur 1. Periodetabell. Illustrasjon: NTNU Vitenskapsmuseet.	11
Figur 2. Kart over Bergsøya i Norge og Litlvika på Bergsøya.	12
Figur 3. Kart over de fire lokalitetene i Litlvika.....	13
Figur 4. Utgravde lokaliteter på Litlvika 2017, sett mot vest fra drone..	14
Figur 5. Prøvestikk og sjakter etter registreringen.....	15
Figur 6. Sveinung Dønheim kjører gravemaskin under flateavdekkingen av Lok. 1.....	16
Figur 7. Gruppebilde siste dag i felt.....	17
Figur 8. Helene Blyverket sålde grusmasser fra Lok. 1.	19
Figur 9. Lokalitet 2 og dets inndelinger.	20
Figur 10. Eystein Østmoe renser profil på Lok. 2 i strålende værforhold.	21
Figur 11. Lokalitet 1 før avdekking.	24
Figur 12. Lokallitet 1 med innmålte strukturer og moderne forstyrrelser.....	25
Figur 13. Gravde ruter på lokalitet 1.....	27
Figur 14. Gravde mekaniske lag lokalitet 1.....	28
Figur 15. Røys 142 i plan etter rensing.....	29
Figur 16. Profil av røys 142.....	30
Figur 17. Mulig tuft etter gravd mekanisk lag 2.	31
Figur 18. Profil vest med lagskiller tolket i felt.....	32
Figur 19. Lokalitet 2 før avdekking.....	33
Figur 20. Lokalitet 2 med innmålte strukturer, topografi og moderne forstyrrelser.....	34
Figur 21. Gravde ruter på lokalitet 2.....	36
Figur 22. Gravde mekaniske lag lokalitet 2.....	37
Figur 23. Struktur 322 i plan.....	38
Figur 24. Struktur 322 i profil.....	39
Figur 25. Nordre profil med dype dyrkningslag.....	40
Figur 26. Røys 332 i plan.....	41
Figur 27. Lokalitet 2a.....	42
Figur 28. Kokegrop 599 i profil.....	43
Figur 29. Kullag i profil sett mot sørvest.....	45
Figur 30. Grøfter på lok 2a.....	46
Figur 31. Mulige hjulspor. Forlenget med en tenkt veitfar.....	46
Figur 32. Profil av grøft 684.....	47
Figur 33. Funnspredning kvadranter alle funn. Lokalitet 1.....	49
Figur 34. Råstoffordeling lokalitet 1.....	50
Figur 35. Ulike mikroflekker.....	52
Figur 36. Makroflekkfragmenter.....	53
Figur 37. Kjerner.....	54
Figur 38. Ubestemt tangespiss i bergkrystall.....	54
Figur 39. Kniver. Fra venstre: Avslagskniv, flekkekniv og platekniv.....	54
Figur 40. Slipeplate i 5 deler funnet i mulig tuft.....	55
Figur 41. Funnspredning kvadranter alle funn. Lokalitet 2.....	56
Figur 42. Råstoffordeling lokalitet 2.....	57
Figur 43. Pilspisser.....	59
Figur 44. Fragment av en slipt egg fra en meisel.....	59
Figur 45. Vespestadøks funnet i kokegropen 599.....	60
Figur 46. Bakstehelle.....	61
Figur 47. Prøver tatt på Lok. 1, fra ulike profiler, lag og strukturer.....	62
Figur 48. Prøver tatt på Lok. 2b, fra ulike profiler og strukturer.....	62
Figur 49. Figur 33. Prøver tatt fra Lok. 2a og 2c.....	63
Figur 50. Strandlinjekurve ved tuft.....	64
Figur 51. Strandlinjekurve ved kokegrop/avfallsgrop 599.....	65
Figur 52. Lokalitet 1 med kullprøver.....	66
Figur 53. Lokalitet 2 med kullprøver.....	67
Figur 54. OxCal-plot.....	68
Figur 55. Nordre profil på Lok. 2b, prøveuttaking i dyrkningslag.....	69
Figur 56. Kokegrop 322, med kullprøve (KP) 544, og makroprøve (MP) 545 t.....	69
Figur 57. Kokegrop 599 med kullprøve (PK) 1044, og makroprøve (PM) 1045.....	69
Figur 58. Kronologisk oversikt over kullrøvedateringer inndelt i faser.....	72
Figur 59. Renne med de to dateringene. Kart lagd av Eystein Østmoe.....	73

Tabelliste:

Tabell 1. Personell og dagsverk i felt	17
Tabell 2. Oversikt over de ulike fotogrammetriene som ble tatt.	22
Tabell 3. Kullprøver kulturlag.....	29
Tabell 4. Kullprøve, rydningsrøys 142.....	29
Tabell 5. Kullprøver mulig tuft.....	30
Tabell 6 Kullprøve fra kullag.....	32
Tabell 7. Kullprøve kokegrop 322	38
Tabell 8. Kullprøver profil nord	39
Tabell 9. Kullprøve kokegrop 599	43
Tabell 10 Kullprøve kullag 1046.....	44
Tabell 11. Antall varmepåvirket, vannrullet og med cortex Lokaltet 1	48
Tabell 12. Antall varmepåvirket, vannrullet og med cortex Lokaltet 2	48
Tabell 13. Råstofftyper på lokalitet 1.....	51
Tabell 14. Funntyper på lokalitet 1.....	51
Tabell 15. Flekker på lokalitet 1.	52
Tabell 16. Kjerner på lokalitet 1.....	53
Tabell 17. Råstoff brukt i kjerner.	54
Tabell 18. Råstofftyper på lokalitet 2.....	58
Tabell 19. Funntyper på lokalitet 2.....	58
Tabell 20. Prøver sendt inn til analyse.....	61
Tabell 21. Innsendte makroprøver.	70

1. Bakgrunn for undersøkelsen

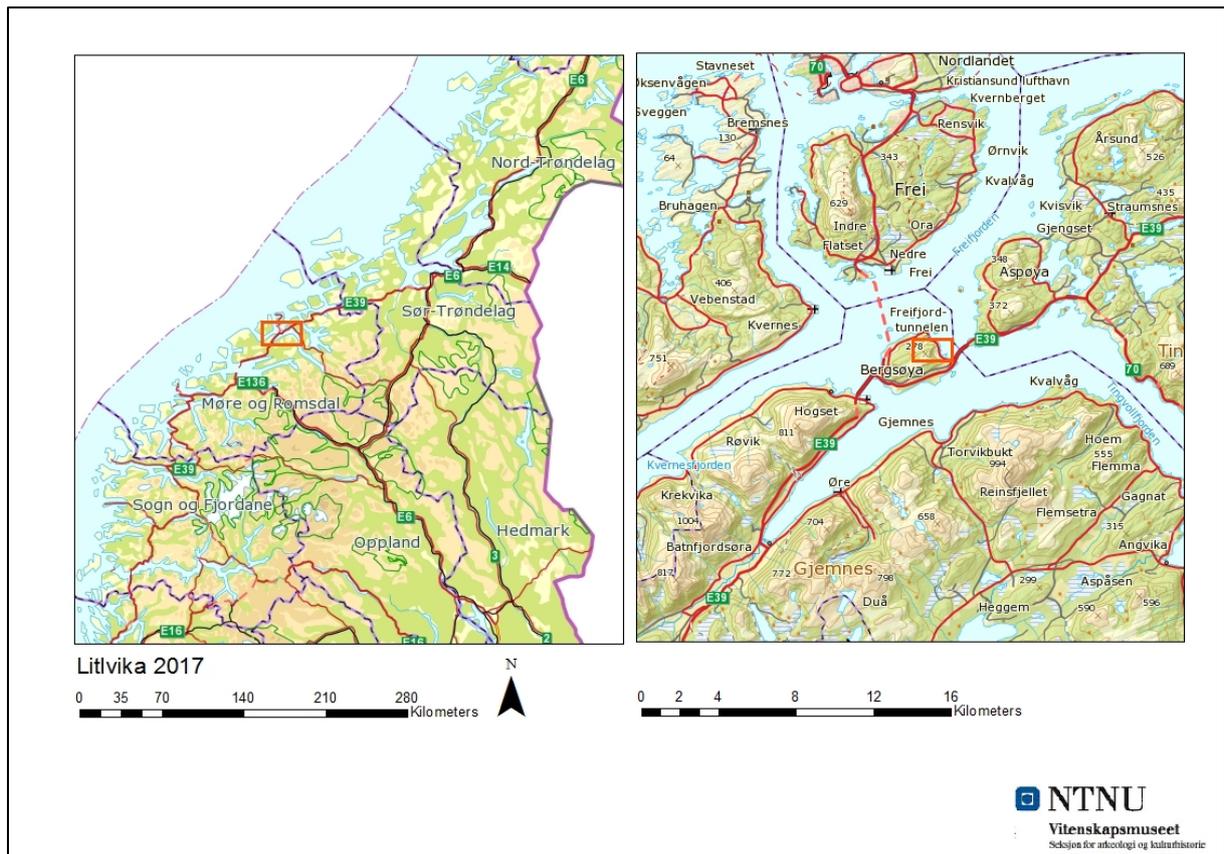
I forbindelse med drenering av landbruksjord på gården Litlvika, gnr. 48/2, gjennomførte Møre og Romsdal fylkeskommune en rekke registreringer i perioden 2015-2016 i henhold til Lov om kulturminner (KML) §9. Dreneringstiltaket viste seg da å kunne komme i konflikt med en rekke automatisk fredete kulturminner; ID 35620, ID 214024, ID 214025 og ID 214023. Det ble dermed satt i gang arkeologiske undersøkelser i regi av NTNU Vitenskapsmuseet, da lokalitetene var i konflikt med det planlagte dreneringstiltaket. Denne rapporten omfatter den arkeologiske undersøkelsen av ID 35620 og ID 214024 som ble gjennomført i perioden 24. april – 16. juni 2017 av feltleder Elisabeth Forrestad Swensen. Prosjektleder for utgravingen var Raymond Sauvage.

<p>Steinalder</p> <p>Eldre steinalder (9200-4000 f.Kr.)</p> <p>Tidligmesolitikum (9200-8100 f.Kr.)</p> <p>Mellommolitikum (8100-6400 f.Kr.)</p> <p>Senmesolitikum (6400-4000 f.Kr.)</p> <p>Yngre steinalder (4000-1800 f.Kr.)</p> <p>Tidligneolitikum (4000-3300 f.Kr.)</p> <p>Mellomneolitikum (3300-2300 f.Kr.)</p> <p>Senneolitikum (2300-1700 f.Kr.)</p> <p>Bronsealder</p> <p>Eldre bronsealder (1700-1100 f.Kr.)</p> <p>Yngre bronsealder (1100-500 f.Kr.)</p> <p>Jernalder</p> <p>Eldre jernalder (500 f.Kr. – 575 e.Kr.)</p> <p>Førromersk jernalder (500 f.Kr.-0)</p> <p>Romertid (0-400 e.kr.)</p> <p>Eldre romertid (0-150 e.Kr.)</p> <p>Yngre romertid (150-400 e.Kr.)</p> <p>Folkevandringstid (400-575 e.Kr.)</p> <p>Yngre jernalder (575-1030 e.Kr.)</p> <p>Merovingertid (575-800 e.Kr.)</p> <p>Vikingetid (800-1030 e.Kr.)</p>
--

Figur 1. Periodetabell. Illustrasjon: NTNU Vitenskapsmuseet.

1.1 Områdebeskrivelse

Litlvika gård ligger på østsiden av Bergsøya i Gjemnes kommune, Møre og Romsdal fylke. Bergsøya ligger mellom Batnfjorden, Kvernesfjorden, Freifjorden og Tingvollfjorden og er en skjermet og lun vik med utsikt mot Aspøya. Terrenget består for det meste av dyrket mark, og skråner fra ca. 50 moh. i vest og ender i strandsonen. Veien opp til gårdstunet deler den dyrkede marken inn i en nordlig del og en sørlig del. På ca. 20-25 moh., sør for gårdsveien former terrenget en terrasse hvor lokalitet 1 ligger. Det er også på denne høyden og høyere at dagens gårdshus ligger. Gårdens folk kan fortelle at det er lite vind på Litlvika, og at de aldri har blitt plaget av samme harde vær som naboene ellers på Bergsøya. Lokalitet 2 ligger ut fra høydekurver på 12-20 meter over dagens vannstand, og har også ligget i en fint skjermet vik i neolittikum/bronsealder. Gjennom lokalitet 2 går det også en åkerrein som strekker seg fra nord til sør, mest synlig nord på feltet.



Figur 2. Kart over Bergsøya i Norge og Litlvika på Bergsøya. Kart av Elisabeth F. Swensen, NTNU Vitenskapsmuseet



Figur 3. Kart over de fire lokalitetene i Litvika. Denne utgravingen hadde fokus på lokalitet 1 og 2 nærmest gårdsbebyggelsen. Kart av Elisabeth F. Swensen, NTNU Vitenskapsmuseet



Figur 4. Utgravde lokaliteter på Litlvika 2017, sett mot vest fra drone. Lokalitet 1 kan ses til venstre for gårdsveien, lokalitet 2 ligger på høyresiden. Da61925_038. Dronefoto: Raymond Sauvage, NTNU Vitenskapsmuseet.

1.2 Kulturhistorisk bakgrunn og tidligere registreringer

Det har tidligere blitt funnet flere løsfunn på Litlvika. Ifølge databasen Askeladden var Lokalitet 1 (ID 35620) definert som et fredet område fra steinalderen allerede i 1991, basert på løsfunn av flint. Det er tidligere også innlevert funn T16594 (4 stykker av flint i tillegg til en flekkekniv av flint) som trolig stammer fra lokalitet 2, hvor det også tidligere har blitt funnet en rombisk skaftehullsøks i porfyr under grøfting, T16593. På Bergsøya er det ellers funnet en skiferspiss av Tønsviktypen på Jelkrem (T16996), og et stort emne til en spydspiss eller kniv i skifer fra Stoviken (T16596). Rett øst for nabogården (48/1 som en gang hørte sammen med «vår» gård) nede ved fjorden ble det ved metallsøking funnet en skålspenne i 2016, og også registrert en gravrøys (T218898) som muligens kan ha sammenheng med dyrkingslaget fra vikingtid funnet under registreringen av lokalitet 4 samme år.

Det ble i 1989 gjort en større utgraving ved Jelkrem på andre siden av øya. Her ble det funnet ca. 10000 artefakter som skrev seg fra mellomneolittikum fra det øverste feltet, og inn i bronsealder i feltene lenger ned. Lokaliteten som lå høyest her lå på 17-19 m.o.h., og har en noe større høyde enn vi hadde på lokalitet 2a. I 2012 ble det også gjennomført en utgraving ved Jelkrem ca. 8-12 m.o.h, og materialet herfra ble datert til senneolittikum-bronsealder.

Ifølge «Gårds og ættesoge for Gjemnes, bind 8» ble det under dyrking av jorda der det moderne huset står i dag (hus 567 i figur 3), funnet 2 bøtter med flint. Dette huset ble oppført engang mellom 1972 og 2006. I et brev til Theodor Petersen datert 1948 forteller Aksel Hoel om et besøk til Lillevika og eieren Sivert Dønheim, hvor Sivert forteller om to flintfelt på eiendommen hvor det også finnes store kullag. Det ene skal ligge ca. 15-20 m.o.h ved et platå ca. 30 meter fra en bekk. Dette passer

ganske bra med hvor nevnte hus ligger i dag. Det andre feltet skal ligge ca. 30 meter nordøst for dette, på samme høyde og «som en gang synes å ha vært adskilt ved en bekk».

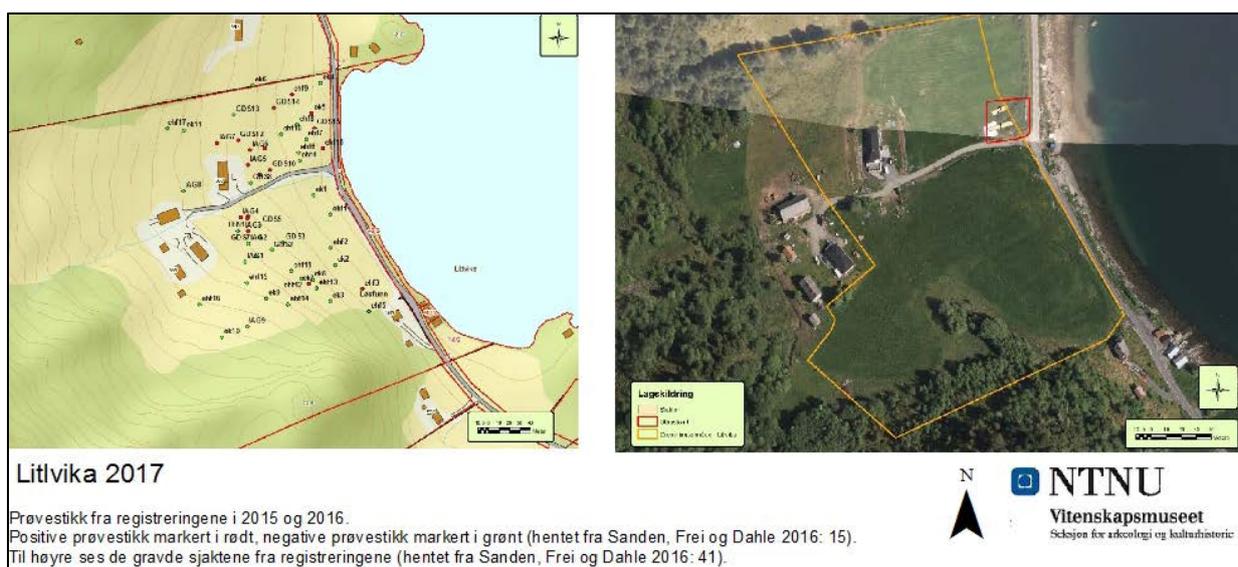
Lillevika er først nevnt i skriftlige kilder i en leidangsskatteliste i 1590. Leidangen ble sist kalt ut i 1429, men fortsatte som en ren skatt helt fram til 1800-tallet. Gården blir skilt ut i to deler på 1500-tallet i Øvre og Nedre Lillevik, og fra begynnelsen av 1600-tallet har vi navnene på brukerne ved begge gårdene. Utgravingen vår foregikk utelukkende ved Øvre Lillevik som er den sørlige gården.

Av nyere tids kulturminner er det flere SEFRAK-registrerte bygg på eiendommen, altså bygg som er eldre enn 1850-tallet:

- Skysstasjon (skysstasjon, rutebilstasjon m.v.), tidfestet til 1800-tallet. SEFRAK ID: 1557 3 42. Bygningsnummer: 181372486 Bygningstype: 113 – Våningshus.
- Skott (hus for forråd av brensel og utstyr), tidfestet til 1800-tallet. SEFRAK ID: 1557 3 44. Bygningsnummer: 181372451 Bygningstype: 181 - Garasjeuthus anneks til bustad.
- Stabbur (hus for forråd av kjøtt fisk, tresket korn, mel, lin, klær m.v.), tidfestet til 1800-tallet. SEFRAK ID: 1557 3 44. Bygningsnummer: 181372451 Bygningstype: 181 - Garasjeuthus anneks til bolig.

Registreringene på Litlvika ble gjennomført av Møre og Romsdal fylkeskommune i perioden 2015-2016 i henhold til KML §9. Registreringene bestod av visuell overflatebefaring, prøvestikking og maskinell sjaktning. Det ble totalt funnet 4 automatisk fredete kulturminner fordelt på 4 lokaliteter definert som bosetnings-/aktivitetsområder: Litlvika 1 (askeladden ID 35620), Litlvika 2 (ID 214024), Litlvika 3 (ID 214025) og Litlvika 4 (ID 214023), heretter kalt lokalitet 1, 2, 3 og 4.

Lokalitet 1 var fra før kjent som et funnsted av løsfunn fra steinalderen, og bestod av 4 positive prøvestikk med til sammen 28 funn, datert ut fra strandlinjedatering og typologiske funn til seinmesolitikum, med en aktivitetsfase som kan strekke seg til neolitikum. Lokalitet 2 bestod både av steinalderfunn og et forhistorisk dyrkingslag, hvorav det siste ble datert til merovingertid/vikingtid 770-920 e.Kr (BETA 419200). 5 prøvestikk gav til sammen 27 funn fra steinalderen, datert ut fra strandlinjedatering og typologiske funn til senneolitikum/bronsealder. Lokalitet 4 bestod av et tykt forhistorisk dyrkingslag, datert til 720-895 e.Kr. (BETA 419201), merovingertid/vikingtid.



Figur 5. Prøvestikk og sjakter etter registreringen. Figur av Elisabeth Forrestad Swensen etter Sanden, Frei og Dahle 2016: 41.

2. Undersøkelsens rammer

I dette kapitlet presenteres praktiske opplysninger om gjennomføringen av de arkeologiske undersøkelsene.

2.1 Tid og deltakere

Den arkeologiske undersøkelsen ble gjennomført i perioden 24. april til 16. juni med et feltmannskap som i hovedsak bestod av 5 personer, med Elisabeth Forrestad Swensen som feltleder og Raymond Sauvage som prosjektleder.. Flateavdekking ble gjennomført av maskinførere Sveinung Dønheim og Peder Dønheim med en 16 tonns Cat 312B.



Figur 6. Sveinung Dønheim kjører gravemaskin under flateavdekkingen av Lok. 1, Eystein Østmoe og Astrid B. Lorentzen krafser. Da61925_018. Foto: Elisabeth Forrestad Swensen, NTNU Vitenskapsmuseet

Tabell 1. Personell og dagsverk i felt

Navn	Initialer	Periode	Dagsverk	Stilling
Raymond Sauvage	RS	25.04.17, 16.05.17, 01.06.17	3	Prosjektleder
Kristin Eriksen	KE	16.05.17	1	GIS-leder
Elisabeth Forrestad Swensen	EFS	20.04.17-16.06.17	36	Feltleder
Astrid B. Lorentzen	ABL	24.04.17-16.06.17	35	Feltleder 2
Eystein Østmoe	EØ	24.04.17-16.06.17	36	Feltassistent
Helene Blyverket	HB	24.04.17-16.06.17	31	Feltassistent
Rossano Cherubini	RC	24.04.17-16.06.17	34	Feltassistent
Mikkel (utplassering)		01.06.17	1	Feltassistent
SUM			177	



Figur 7. Gruppebilde siste dag i felt. Fra venstre: Helene Blyverket, Elisabeth Forrestad Swensen, Eystein Østmoe, Rossano Cherubini og Astrid B. Lorentzen. Da61926_100. Foto: Helene Blyverket, NTNU Vitenskapsmuseet.

2.2 Problemstillinger

Ifølge prosjektplanen utarbeidet av prosjektleder Raymond Sauvage var det ønskelig å utdype følgende problemstillinger:

- Bosetting i yngre steinalder
 - Datering av bosettingen og utvikling over tid, med fokus på C14-dateringer og gjenstandskronologi.
 - Mobil eller fast bosetting, med utgangspunkt i artefaktstudier og strukturer. Hvordan endres denne over tid?
 - Hvilke boligstrukturer har vært i bruk, og hvordan har de utviklet seg over tid?

- Bosetting i yngre jernalder
 - Datering av aktiviteten og varighet
 - Hvilke aktiviteter har ført til at laget avsettes

Ved å forsøke å svare på disse problemstillingene ville utgravingen gi en mulighet til å studere området over et lengre tidsspenn, og dermed kunne se på hvordan utviklingen har foregått. I tillegg ville utgravingen kunne bidra med kunnskap til Bergsøyas historie, sammen med de to forutgående utgravingene som har vært gjort på Hamna 1 i 1989 og Ytter-Hamna i 2012 (undersøkelser gjort i forbindelse med Krifastforbindelsen). Tettheten blant steinalderboplasser i indre fjordstrøk er lavere enn i ytre fjordstrøk, og utgravingen på Litvika har derfor kunnet bidra med kunnskap om slike boplasser. Når det gjelder yngre jernalder har vi generelt lite informasjon om slik bosetning på Nordmøre, og utgravingen skulle også kunne bidra på dette området.

2.3 Metode

Det ble benyttet gravemaskin for å fjerne torv og nyere tids matjord i de aktuelle områdene. Samtidig gikk feltmannskap etter maskinen og krafset over området for å få en god oversikt over endringer i jordsmonn der funnførende lag og strukturer ble synlige. Løsfunn ble plukket opp underveis og lagt i poser der de ble funnet. Siden det var svært få løsfunn, og mange av dem ble funnet i usikre kontekster, ble disse senere samlet inn som løsfunn tilhørende de respektive lokaliteter. Løsfunn i god kontekst ble enten målt inn med TopCon CPOS eller relatert til mekanisk lag 1 og den kvadranten de ble funnet i.

Etter fullført avdekking ble det gravd prøveruter på 50x50cm, i 5cm dybde. Graving i 5cm mekanisk/stratigrafisk lag ble valgt da det i prosjektplanen var estimert med at lokalitetene kun hadde 10cm med funnførende lag, og de første 5cm ville gi en god indikasjon på funntettheten på feltet. En slik mekanisk/stratigrafisk graving innebar at man skulle grave 5cm eller stoppe når man kom til et lag som skilte seg markant ut. Dette skulle så graves og såldes separat. Det viste seg at det ikke var veldig mye stratigrafiske skiller i 0-10cm hvor funnene befant seg, så det ble i hovedsak gravd mekanisk. Graving av prøveruter åpenbarte funnspreidningsmønsteret av littiske artefakter, og gav gode indikasjoner på hvor videre graving skulle foregå.

De prioriterte områdene ble gravd med konvensjonell rutegraving som er standard for steinalderutgravinger. Rutene ble gravd i henhold til et rutenett satt ut med digitalt innmålingsutstyr (TopCon CPOS). Rutenettet var basert på x og y koordinater, hvor x økte mot nord og y mot øst. Hver rutekoordinat inneholdt en 1x1m rute, som igjen ble delt i fire kvadranter på 50x50cm som ble gravd hver for seg; sørvest, nordvest, sørøst og nordøst. Hver kvadrant hadde sitt unike ID-nummer som funnene ble relatert til. Både koordinatsystemet og ID-nummere var definert på forhånd innenfor lokalitetens grenser, slik at feltpersonale enkelt kunne forholde seg til disse via digitalt innmålingsutstyr og dokumentasjon på lpad.

Alle masser ble vannsåldet i såld med 4mm maskevidde i en såldestasjon øst for feltet, med vann i hageslanger fra bolighuset. Et såld med 2mm maskevidde var tilgjengelig hvis noen områder skulle skille seg ut med mye funn eller mange små funn, men denne ble ikke brukt under utgravingen. Denne fremgangsmåten var lik på både lokalitet 1 og 2, men noen aspekter skilte seg fra hverandre i forhold til hva som dukket opp underveis.



Figur 8. Helene Blyverket sålder grusmasser fra Lok. 1. Da61925_020. Foto: Astrid B. Lorentzen, NTNU Vitenskapsmuseet

2.3.1 Metode på Lokalitet 1

Avdekkingen av feltet ble noe begrenset av en telefonkabel som lå øst på feltet, som strakte seg fra sør til nord. Denne, fortalte grunneier Sveinung Dønheim, lå bare 10-20cm ned i matjorda. Den 26. april kom Arne Ytterhaug fra Istad Nett AS med kabelpåvisning og fikk markert hvor telefonkabelen gikk, slik at denne kunne unngås. Lokaliteten var også delvis forstyrret av steinsatte dreneringsgrøfter. Etter avdekkingen ble feltet rensert med krafser og graveskjeer.

Prøverutene ble gravd systematisk hver 2-4 meter, og en profil ble rensert opp på den vestre siden av lokaliteten for senere prøveuttaking. Det ble til sammen gravd fire mekaniske lag (ca. 20cm) på lokaliteten, hvor mek. 1 utgjorde det største arealet og mek. 2 ble gravd der hvor det i mek.1 var funnet flest funn eller sett tydelige kulturlag. Mekaniske lag 3 og 4 viste seg i all hovedsak til å være svært begrenset i en fordykning på feltet, hvor mek. 4 endte på 2,25m².

2.3.1 Metode på Lokalitet 2

Telefonkabelen delte Lok. 2 inn i to deler, en vestre og en østre del. I og med at registreringene av Møre og Romsdal fylke hadde påvist både steinalder og jernalder på lokaliteten ble det bestemt å grave en sjakt tvers igjennom feltet fra vest til øst for å få et godt innblikk i hva lagene og grunnen bestod av. Sjakten ble «delt» i to av telefonkabelen, en øvre/vestre sjakt og en nedre/østre, og sjakten delte også feltet i to. Til slutt endte lokalitet 2 opp i tre deler, en sørvestre del (Lok. 2a), en nordvestre del (Lok. 2b) og en sørøstre del (Lok. 2c). Koordinatsystemet for disse var likevel den samme, men funn som ble samlet inn ble skilt inn i 2a, 2b og 2c for å lette oversikten i felt. De nordre profilene i sjaktene ble rensert og dokumentert.



Figur 9. Lokalitet 2 og dets inndelinger. Vannfareet kan ses som et mørkt drag på høyre side av Lok. 2a og 2c. Sjakta sees på høyre side av vannfareet, og telefonkabelen som deler den i to. Da61937_001. Dronefoto av Raymond Sauvage, NTNU Vitenskapsmuseet

Lokalitet 2 skilte seg ut fra lokalitet 1 ved sitt svært omfattende eldre dyrkingslag som dekket store deler av lokaliteten, og som ikke fikk noen avgrensning hverken i øst eller nord, da det fortsatte utenfor planområdet. Dette dyrkingslaget så ut til å ha forstyrret tidligere tids spor, og svært få steinalderfunn ble funnet. Dybden og omfanget av dyrkingslaget gjorde avdekkingsarbeidet med maskin noe mer omfattende enn planlagt. Dyrkingslaget måtte graves gradvis for ikke å glipp av eventuelle strukturer, og dybden varierte også fra rundt 5cm til 1m før man traff undergrunn. På Lok. 2b ble dyrkingslaget gravd gradvis, dokumentert med bilder og søkt med metall søker for hver 15-20cm nedover. Slik kunne eventuelle endringer og strukturer dokumenteres fortløpende og effektivt. Den nordre profilen ble her rensert, dokumentert, og det ble tatt naturvitenskapelige prøver herfra.

Under avdekkingen dukket det også opp et gammelt vannfar fra toppen av lokaliteten i vest og fortsatte ut av planområdet i øst. Grunneier kunne fortelle at lenger opp ovenfor gården ved en steinete tregrense i tilnærmet rett linje fra «vårt» vannfar kom det ofte vann etter store regnskyll. Et prøvestikk med gravemaskinens grabb viste at det ikke var noe under vannfareet annet enn større steiner (blokker) og grunnvann. Hullet ble dekket igjen med jordmasser.



Figur 10. Eystein Østmoe renser profil på Lok. 2 i strålende værforhold. Da_61926_017. Foto: Helene Blyverket, NTNU Vitenskapsmuseet

Koordinatsystemet ble satt ut og fungerte på samme måte som på lokalitet 1. Lokalitet 2 var enda mer forstyrret av steinsatte dreneringsgrøfter, moderne grøfter, sig av jordmasser og eldre dyrkingslag enn Lok. 1, og prøverutene ble dermed satt noe mer spredt der de ikke gravde seg ned i forstyrrede elementer. Deler av feltet ble rensert med graveskje for å tydeliggjøre strukturene etter en helgs kraftige regnskyll. Det ble funnet to mulige kokegropser og deler av feltet inneholdt noen få littiske funn. Det ble også observert noen merkelige striper som kunne ligne plogspor, men som fortsatte under dyrkingslaget. Alle mulige strukturer ble fotografert, tegnet, snittet og såldet. Strukturene ble formgravd for å beholde mest mulig av eventuelle funnførende lag rundt, og for å få et «negativt» bilde av strukturene.

Det ble også gravd en 1m x 1m prøverute øst på Lok. 2b (se figur 9) i dyrkingslaget. Dette ble gjort for å gå nøye igjennom lagets beskaffenhet, og massene ble såldet for å kunne finne evt. gjenstander. Det ble gravd 10 mekaniske lag på 10cm hver, og to stratigrafiske lag ble skilt fra hverandre (Strat.1 fra 0-20cm, strat. 2 fra 20-100cm). Det ble ikke funnet annet enn diverse flint, hvor mange var vannrullet.

2.4 Dokumentasjon

Det ble brukt en TopCon CPOS til innmåling og for å sette ut rutenettet på lokalitetene. Innmålingene ble i hovedsak gjort av feltleder Elisabeth Forrestad Swensen, men resten av feltpersonale gjorde også de grunnleggende innmålingsprosedyrene og kunne gjøre egne innmålinger når det trengtes. Innmålingene ble i ettertid behandlet i Intrasis.

Den daglige dokumentasjon av graveenheter (i ruteskjema) og strukturer (i kontekstskjema) ble utført med Filemaker Go på Apple iPad, og all dokumentasjon ble i etterarbeidet importert til Intrasis. Alle feltarkeologene hadde hver sin iPad, og stod selv for all dokumentering av gravde ruter og strukturer. I tillegg ble alle kvadranter funn kontinuerlig ført inn på et rutenett-kart, slik at det kunne gjøres fortløpende vurderinger av hvor de mest funnrrike områdene var, og hvordan man skulle gå videre fram. Funn ble lagt i funnposer, påskrevet X og Y koordinat, lokalitet, kvadrant, intrasis-ID, lag, navn og dato. Strukturer ble fotografert i plan og profil, tegnet i plan og profil, snittet og såldet, og det ble tatt ut naturvitenskapelige prøver som kullprøver og makrofossilprøver. I noen tilfeller ble det også tatt ut pollenprøver og mikromorfologiprøver. Tegningene ble rentegnet i Adobe Illustrator, og originaltegningene ble arkivert i henhold til Vitenskapsmuseets instruksjoner.

En fotoliste på Ipad ble brukt for å føre liste over alle foto som ble tatt i felt. Bildene ble tatt med enten et Nikon speilreflekskamera eller et kompaktkamera av typen Olympus digital camera, i formatene JPEG og NEF. De prioriterte bildene ble under etterarbeidet konvertert til tif-filer og lagt inn i Musit's fotodatabase, hvor de ble arkivert under Da-nummer.

Fotogrammetri ble brukt aktivt i felt, som en erstatning for plantegninger og noen profilttegninger. Med fotogrammetri tar man overlappende bilder av store områder med et kamera på en fotostang eller håndholdt. Bildene kjøres gjennom modelleringsprogrammet Agisoft PhotoScan Professional, som setter bildene sammen til 3D-modeller og ortofoto. Denne metoden er svært nyttig, og gjør det mulig å se gode oversiktsbilder allerede i felt, og å vurdere både strukturer og lag fra et fugleperspektiv. Fotogrammetriene ble også lagt inn i fotodatabasen.

Tabell 2 Oversikt over de ulike fotogrammetriene som ble tatt.

Da_nummer	Bilder
Da_61925	Lok. 1 feltfoto
Da_61926	Lok. 2 feltfoto
Da61927	Lok. 1 dronebilder
Da61928	Lok. 1 vestlig del etter gravd mek. 1
Da61929	Lok. 1 røys 142
Da61930	Lok. 1 etter avdekking
Da61931	Lok. 1 etter gravd mek. 3
Da61932	Lok. 1 etter gravd mek. 4
Da61933	Lok. 1 etter gravd mek. 1
Da61934	Lok. 1 etter gravd mek. 2
Da61935	Lok. 1 profil røys 142
Da61936	Lok. 1 vestre profil
Da61937	Lok. 2 dronebilder
Da61938	Lok. 2a etter avdekking
Da61939	Lok. 2a etter gravd mek. 1 i renne
Da61940	Lok. 2a etter graving ned til kullflekk ID 1046
Da61941	Lok. 2a profil gjennom kullflekk ID 1046
Da61942	Lok. 2a rensede striper
Da61943	Lok 2b hjørneprofiler etter systematisk graving med maskin
Da61944	Lok. 2b nordre profil etter systematisk graving med maskin
Da61945	Lok. 2b profil røys ID 332
Da61946	Lok. 2b røys ID 332
Da61947	Lok. 2b nordre profil nedre sjakt
Da61948	Lok. 2c etter avdekking
Da61949	Lok. 2c etter gravd mek. 1 og 2 i renne

Det ble også flydd drone over utgravningsområdet den 16. mai. Prosjektleder Raymond Sauvage var dronepilot, og tok foto av lokalitetene og tilhørende område.

Den digitale dokumentasjonen krever backup, og dette ble gjort på daglig og/eller ukentlig basis av fotolister, ruteskjema, kontekstskjema, foto og innmålingsdata. Dette ble lagret både på en bærbar felt-PC og en ekstern harddisk eller minnepenn.

2.5 Formidling

Det ble organisert én omvisning på Litlvikas lokaliteter i løpet av utgravningsperioden i felt. Denne ble arrangert etter forespørsel fra grunneiers kone, Solfrid Dønheim, som var kontaktlærer for 3. klasse på Straumsnes skole i Tingvoll. Klassen hadde akkurat lært om steinalderen på skolen, og både alder og forkunnskaper gav grunnlag for at de kunne ha godt kunnskapsutbytte av en omvisning. Klassen med 11 elever kom på besøk den 12. juni og fikk ca. en times omvisning med fokus på jernalders jordbruk, steinalders bosetning og erverv og arkeologien som yrke. De fikk også se våre flotteste funn og prøve seg på sålding. Tilbakemeldingene var gode, og 3.klasse viste seg å være en god aldersgruppe å ha omvisning for.

I og med at lokalitetene befant seg på privat eiendom og var noe avsidesliggende, hadde vi få besøkende. De nærmeste naboene og deres sønn kom innom et par ganger, og gårdens folk kom for en prat innimellom. Alle som ville fikk en omvisning med info om hva vi drev med og hva vi fant, ført an av enten feltleder eller tilgjengelig feltpersonale.

Som en del av NTNU Vitenskapsmuseets formidlingsopplegg rundt arkeologiske utgravninger ble det publisert flere blogginnlegg på norark.no, som er en felles blogg for universitetsmuseene. Det ble også publisert et bilde direkte på Vitenskapsmuseets Facebook-side.

3. Gjennomføringen av utgravingsprosjektet

Feltarbeidet ble utført i løpet av 36 dager, fra 24. april til og med 16. juni 2017. Mandag 24. april gikk med til å pakke utstyr i biler, handle feltklær og transportere feltpersonale og utstyr til Kristiansund. Selve undersøkelsen ble gjort på 34 dager, fra 23.april. -15. juni. Været var generelt svært godt, med få regndager, en del opphold, sol og noe vind. Dreneringen på jordene var generelt svært dårlig (derav dreneringstiltaket), men når matjorden var borte og sanden og grusen i undergrunnen kom for dagen, ble det i hovedsak to ganske tørre lokaliteter. De gamle steinsatte dreneringsgrøftene gjorde også sin del, og var en av grunnene til at de ikke ble gravd bort under avdekkingen.

3.1 Beskrivelse av utgravde lokaliteter

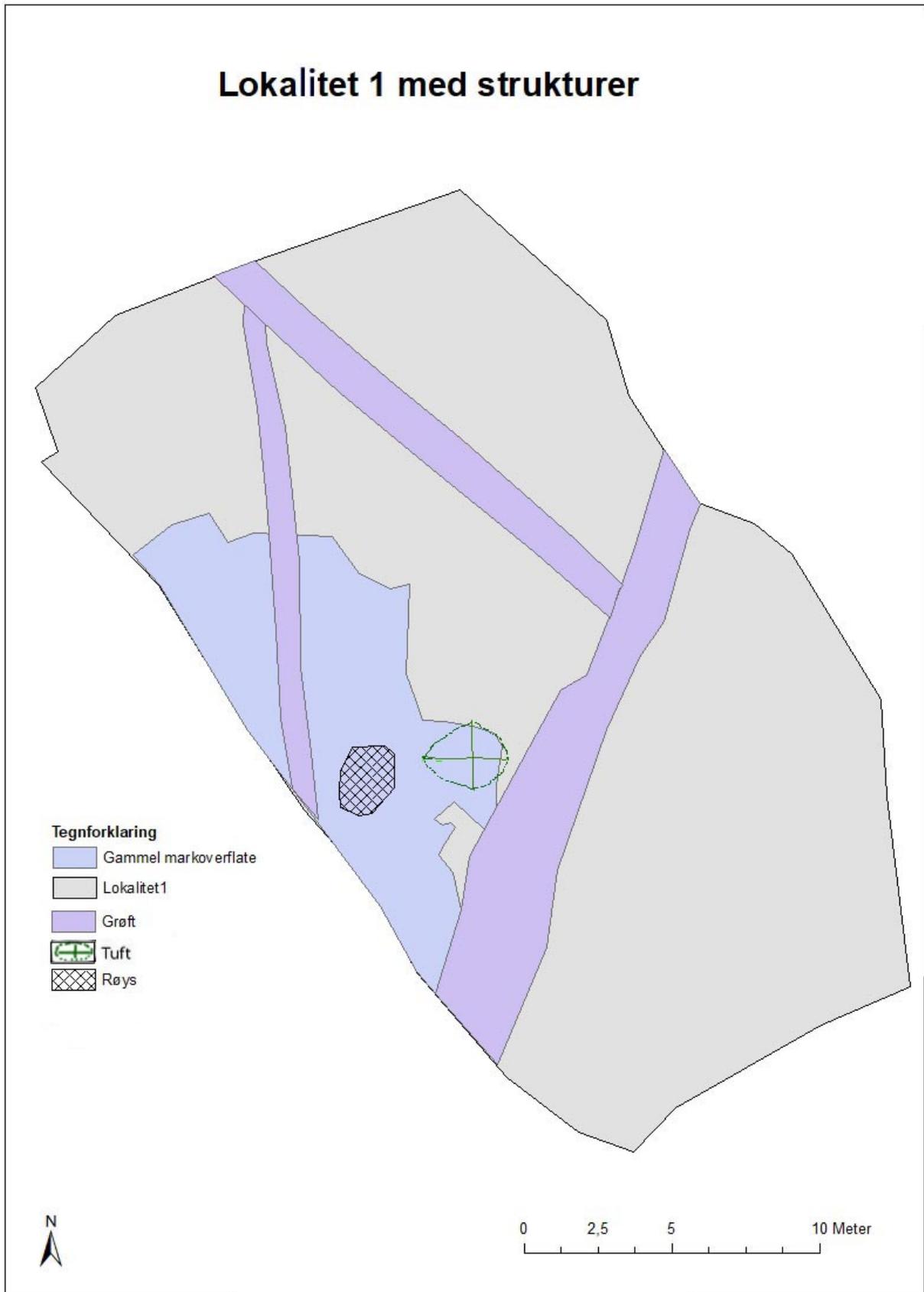
3.1.1 Lokalitet 1, askeladden ID 35620

Avdekt areal: 542,671m²
Håndgravd kubikk/areal: 119m²
Antall strukturer: 1
Antall funn: 2610



Figur 11. Lokalitet 1 før avdekking, noe av feltets omriss kan ses ved oransje spraymarkering. Tatt på en regnværsdag. Da61925_014. Foto: Eystein Østmoe, NTNU Vitenskapsmuseet

Lokalitet 1 med strukturer



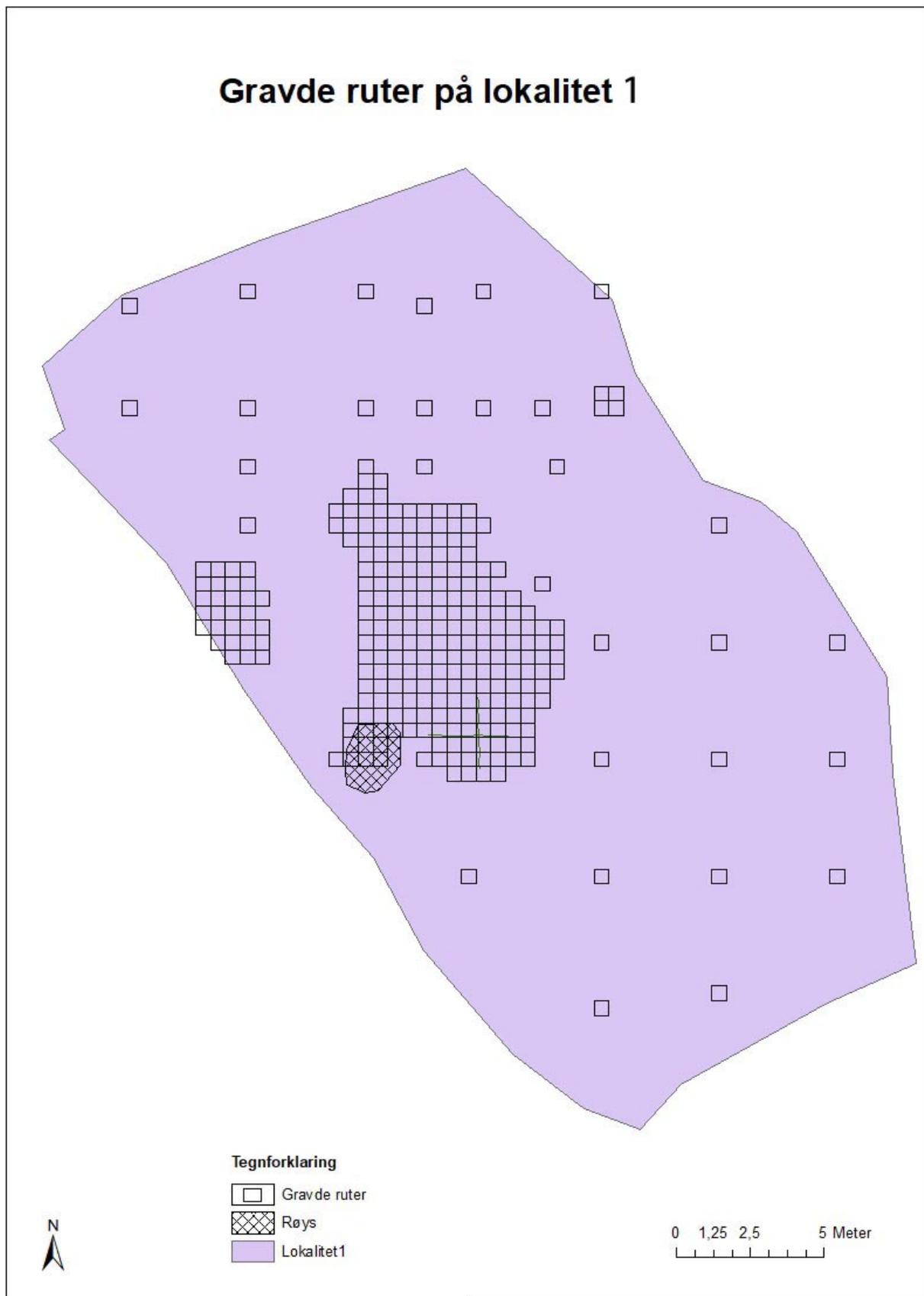
Figur 12. Lokalitet 1 med innmålte strukturer og moderne forstyrrelser. Figur av Eystein Østmoe, NTNU Vitenskapsmuseet

Utgravningsområdet målte til sammen 626m² på et jorde som de siste årene har blitt brukt som beitemark. Matjorda var svært fuktig og gjørmete, noe som tydeliggjorde behovet for en mer omfattende drenering. Feltet ble «naturlig» avgrenset av gårdsveien i nord og telefonkabelen i øst. Avdekkingen startet i nord og fortsatte mot sør, ovenfra og ned (fra vest mot øst) i feltets hellende retning. Flateavdekkingen tok til sammen ca. 2,5 dager på denne lokaliteten, og det ble avdekket et areal på 542,671m². Det ble målt inn en mulig forhistorisk rydningsrøys og flere moderne grøfter. De moderne grøftene fikk være i fred, da de gikk dypt og ledet mye vann. Jamfør funn og notater fra registreringen ble det avdekket ned til grusholdige lag og noen mulige forhistoriske dyrkingslag.

Matjordlaget varierte fra 15-30cm tykkelse, og vest på feltet ble det funnet rester etter et mulig forhistorisk dyrkingslag med en rydningsrøys i (ID 142). Rydningsrøysen ble fotografert og dokumentert med kullprøve, makrofossilprøve og pollenprøver før den ble delvis fjernet. Laget ble målt inn i plan og dokumentert videre i profil før det ble fjernet for å komme ned til funnførende steinalderlag. Jamfør registreringen og visuelle vurderinger befant det funnførende laget seg i hovedsakelig et svært grusholdig lag med til dels gode selvdrenerende egenskaper.

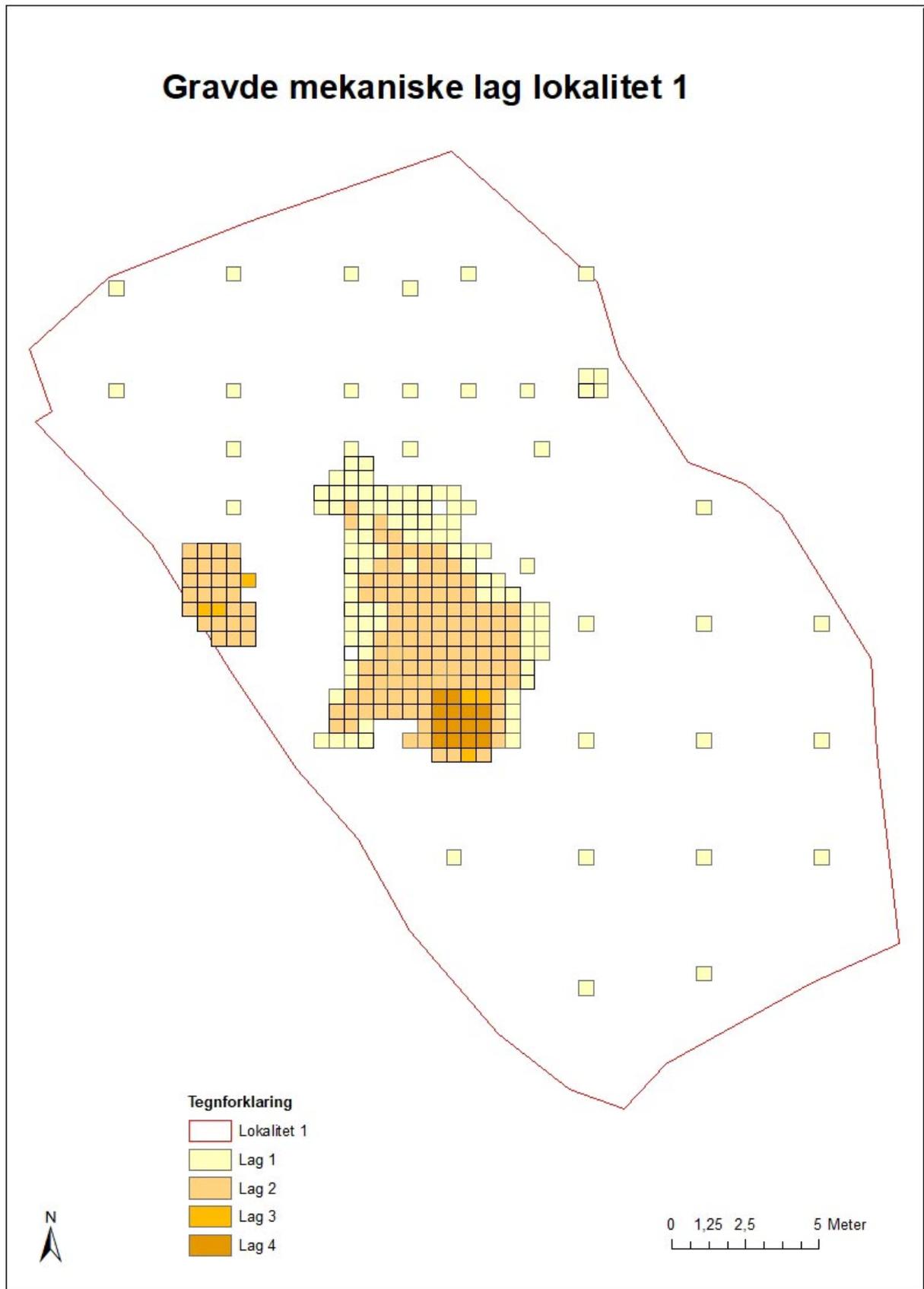
Graving av prøveruter viste raskt av store deler av lokaliteten inneholdt svært få funn, men også at et område skilte seg ut. Det var lite som minnet om kulturlag i det øverste laget, mekanisk lag 1, men i mekanisk lag 2 ble dette mer synlig, og et avgrenset område skilte seg ut som interessant. Det ble bestemt å grave flere mekaniske lag i de områdene som inneholdt mye funn og/eller kulturlag, og endte til slutt opp med et mekanisk lag 4 som gikk over et område på ca. 2,25m². Dette området så nå ut til å være enten en nedgravd grop eller en naturlig grop i terrenget med kulturlag. Vest for «hovedområdet» gikk det en grøft nord-sør, men vest for denne ble det også observert kulturlag i et område på ca. 3*2 meter som ble gravd i to mekaniske lag. Området gikk under profilen og områdeavgrensingen i vest, og ble ikke avgrenset. Hvert mekanisk lag ble dokumentert med makrofossilprøver, kullprøver der det var mulig, og fotogrammetri.

Gravde ruter på lokalitet 1



Figur 13. Gravde ruter på lokalitet 1. Figur av Eystein Østmoe, NTNU Vitenskapsmuseet

Gravde mekaniske lag lokalitet 1



Figur 14. Gravde mekaniske lag lokalitet 1. Figur av Eystein Østmoe, NTNU Vitenskapsmuseet

Tabell 3. Kullprøver kulturlag

Mekanisk lag	Prøvenr.	Lab. id	Datert materiale	Datert BP	Kalibrert alder 1 sigma	Kalibrert alder 2 sigma
1	477	TRa-12135	Trekull	7021 +20/-20	68.2%probability 5977BC(33.9%)5948BC 5920BC(34.3%)5891BC	95.4%probability 5984BC(91.6%)5873BC 5861BC (3.8%) 5847BC
1	882	TRa-12138	Trekull	5565 +14/-14	68.2%probability 4446BC(30.8%)4420BC 4400BC(37.4%)4362BC	95.4%probability 4449BC(95.4%) 4357BC
2	1136	TRa-12144	Trekull	6758 +17/-17	68.2%probability 5671BC(68.2%)5635BC	95.4%probability 5709BC (95.4%) 5632BC
4	1160	TRa-12146	Trekull	6812 +17/-17	68.2%probability 5721BC(34.5%)5701BC 5696BC(33.7%)5674BC	95.4%probability 5730BC (95.4%) 5664BC

En profil på ca. 1m lengde ble rensert i den vestre delen av feltet. Denne ble fotografert og tatt prøver av, og viste tydelig alle de forskjellige prosessene som hadde påvirket feltet, fra moderne til forhistorisk dyrking og steinalderbosetting.

Struktur 142, rydningsrøys

Foto: Da61935_002 - Da61935_009

Vitenskapelige prøver: Kull: T27565:1166, Makro: T27565:1188

Tabell 4. Kullprøve, rydningsrøys 142

Strukturnr./-type	Prøvenr.	Lab. id	Datert materiale	Datert BP	Kalibrert alder 1 sigma	Kalibrert alder 2 sigma
142, rydningsrøys	730	TRa-12137	Trekull	2501 +13/-13	68.2% probability 764BC(10.1%)749BC 684BC(10.9%)668BC 641BC(36.5%)588BC 579BC(10.7%)561BC	95.4%probability 770BC(17.6%)736BC 689BC(15.4%)663BC 648BC(62.3%)547BC



Figur 15. Røys 142 i plan etter rensing. Da61925_037. Foto: Eystein Østmoe, NTNU Vitenskapsmuseet

Struktur 142 ble observert etter avdekking av feltet med en del steiner stikkende opp, og ble antatt å være en rydningsrøys. Strukturen lå i et rødbrunt lag som ble tolket som gammel markoverflate. Den ble målt inn og gravd og rensset fram i hele dens utstrekning, og siden ble det tatt fotogrammetri av den. Deretter ble den snittet, og det ble rensset fram en profil som gikk ned til det funnførende gruslaget. Deretter ble profilen dokumentert og tatt prøver av.



Figur 16. Profil av røys 142. Da61925_007. Foto: Eystein Østmoe, NTNU Vitenskapsmuseet

Siden ble steinene fjernet, og den underliggende grusen gravd i kvadranter. Røysen lå ca. 20 cm. over det grusholdige steinalderlaget, og det ble derfor antatt at røysen var av en langt senere dato.

Tolkning:

Tolkningen av røysen som en rydningsrøys ble også værende etter at den var utgravd. Laget som røysen ligger på er datert til yngre bronsealder. Rydningsrøysen kan være yngre enn dette, men ikke eldre. Makroanalysen fra dette laget konkluderte også med at dette var et svært humusaktig lag med skarpkantede trekull-partikler som tilsier at laget har ligget beskyttet lenge. Det ble vurdert om dette laget var et gammelt dyrkningslag, men det ble ikke funnet noe frø fra korn, og de få, skarpe kullpartiklene tyder ikke på at det har vært et dyrkningslag.

Mulig tuft

Foto: Fotogrammetri Da61931 - Da61934

Vitenskapelige prøver: Kullprøver T27565:1164, 1172-1173. Makrofossilprøver: T27565:1198, 1203

Tabell 5. Kullprøver mulig tuft

Mekanisk lag	Prøvenr.	Lab. id	Datert materiale	Datert BP	Kalibrert alder 1 sigma	Kalibrert alder 2 sigma
1	477	TRa-12135	Trekull	7021 +20/-20	68.2%probability 5977BC(33.9%)5948BC 5920BC(34.3%)5891BC	95.4%probability 5984BC(91.6%)5873BC 5861BC (3.8%) 5847BC
2	1136	TRa-12144	Trekull	6758 +17/-17	68.2%probability 5671BC(68.2%)5635BC	95.4%probability 5709BC (95.4%) 5632BC
4	1160	TRa-12146	Trekull	6812 +17/-17	68.2%probability 5721BC(34.5%)5701BC 5696BC(33.7%)5674BC	95.4%probability 5730BC (95.4%) 5664BC



Figur 17. Mulig tuft etter gravd mekanisk lag 2. De store bitene av en mulig slipesten T27565:1181-1185 sees til høyre i det omrissede området. Sett mot nord. Da61934_001. Foto: Astrid Lorentzen, NTNU Vitenskapsmuseet

Ved graving av mekaniske lag ble det observert et område som skilte seg ut sør på feltet, etter graving av mekanisk lag 2. Det ble også åpnet opp litt flere ruter sør for dette området for å få en mulig avgrensning. Lenger sør og øst kom det forstyrrelser fra en bekk som var lagt i ei veite. Observasjonen av at dette kunne være en mulig tuft kom på de siste gravedagene, så det ble avgjort at siden ingen strukturer kunne observeres i den mulige tufta, så måtte vi prøve å tømme den i mekaniske lag nedover. Dette ble fullført under siste gravedag etter en intens graveøkt.

Tolkning:

Området som ble tolket som mulig tuft var på noe over 2*2 m., og dermed ikke mer enn 4-5m². Antallet litiske funn som ble funnet i den antatte tuften var nokså lavt, og bare marginalt større enn «utsiden» av tuften. Det som kan tale for at det faktisk er en tuft er at den har et homogent fyll, med en nesten lik datering over flere lag til senmesolitikum. Dette styrkes også av begge makroprøve-resultatene herfra, hvor analysen viser at det er mye skarpkantede trekull i prøvene, «påfallende skarpe» ifølge Moltsen (2017) som tilsier at det har blitt hurtig forseglet. I en tuft vil akkumulering av avfall føre til en slik forsegling om man ikke «rydder» vekk avfallet. Makrofossilanalysen påviste også skjørbrent stein i tuften som viser til umiddelbar nærhet av et bål. Av gjenstandene som ble funnet i den antatte tufta var 5 fragmenter av en stor slipestein som lå mot bunnen i lag 3 og 4. At fragmentene ikke ligger mer spredt enn over 1 meter, og lagene over er datert til samtidig eller ikke lenge etter, tilsier at slipesteinen neppe har flyttet seg langt etter den gikk ut av bruk. Dette styrker indikasjonen av en tuft. Det ble dog ikke observert verken stolpehull, ildsteder, veggvoller eller vegg-grøfter. Selv om dette ikke nødvendigvis alltid er til stede ved tufter fra mesolitikum, er det langt vanskeligere å komme med en sikker tolkning når slike kjennetegn er fraværende fra en mulig tuft.

Profil vest

Foto: Fotogrammetri Da61936

Vitenskapelige prøver: Kullprøver T27565:1174 Makrofossilprøver T27565:1200-1202

Tabell 6 Kullprøve fra kullag

Strukturnr./-type	Prøvenr.	Lab. id	Datert materiale	Datert BP	Kalibrert alder 1 sigma	Kalibrert alder 2 sigma
Profil vest/Lag 5 kull-linse.	1143	TRa-12145	Trekull	2501 +13/-13	68.2% probability 2131BC(46.7%)2085BC 2057BC(21.5%)2035BC	95.4% probability 2141BC(95.4%)2023BC



Figur 18. Profil vest med lagskiller tolket i felt. Da61936_001. Foto: Eystein Østmoe, NTNU Vitenskapsmuseet

Denne profilen ble gravd og renset fram i kanten på det utgravde området mot vest, og siden tatt fotogrammetri av. Det ble tatt makro og kullprøver for å prøve å få en kronologi på lagoppbygningen. Vi hadde også gravd kvadranter inntil profilen med en lengde på 3 meter med funnmengde fra 0-15 i hver kvadrant både i mekanisk lag 1 og 2. Vi visste dermed at vi ikke ville få avgrenset lokaliteten mot vest, men at noe av det samme kulturlaget fantes i profilen, og fortsatte inn i profilkanten mot vest.

Tolkning:

De to øverste lagene er antageligvis fra moderne dyrkning, og forhistorisk dyrkning. Lag 3 ble ikke tatt prøve av, men er muligens noe dyrkningslag og noe gammel markoverflate. Lag 4 har mer sand i seg, og er antageligvis et blandingslag fra materialet kommet nedover med vann (f. eks. vårflo) eller jordsig. Makroprøvene viste at det hadde noe slitt trekull i seg og *Cenococcum* (sopp). Lag 5 har et ganske klart kullag, og ble datert til 2141 – 2023 f. Kr. som vil si senneolitikum. I lag 6 fantes det spor etter brenning av strå, en avbrenning av vegetasjonen, noe trekull, noen hasselnøttskallfragmenter og en sten fra hegg. Lag 7 viste bare noen enkelte slitte og noen skarpkantete kullfragmenter. Kullaget i lag 5 kan tolkes som en avsviing av vegetasjonen for å få åpnet opp for beiteområder. Lag 6 og 7 tyder på lag fra senmesolitikum/tidlig neolitikum, og kan være aktivitetsspor fra en mulig bosetting.

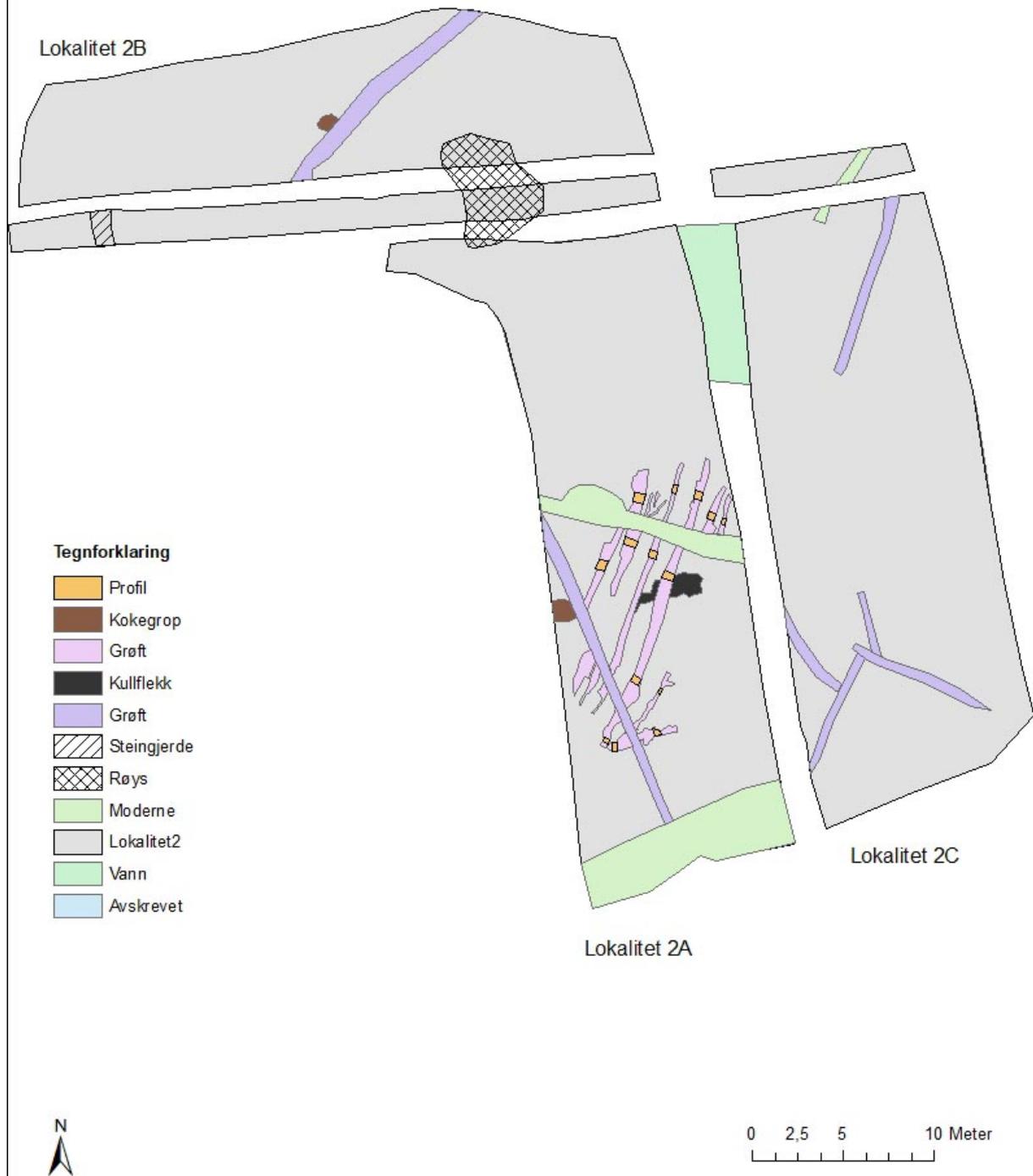
3.1.2 Lokalitet 2, askeladden ID 214024

Avdekt areal: 1264,54m²
Håndgravd kubikk/areal: 49,75m²
Antall strukturer: 3
Antall funn: 384



Figur 19. Lokalitet 2 før avdekking. Tatt mot sør. Da61926_011. Foto: Eystein Østmoe, NTNU Vitenskapsmuseet

Lokalitet 2 med strukturer



Figur 20. Lokalitet 2 med innmålte strukturer, topografi og moderne forstyrrelser. Figur av Eystein Østmoe, NTNU Vitenskapsmuseet

Utgravningsområdet målte til sammen 1317m² på et jorde som de siste årene har blitt brukt til beitemark. Feltet ble avgrenset av gårdsveien i sør og bolighusets hage i sør og vest. Avdekkingen foregikk i flere omganger, hvor sjaktene ble gravd først, fra vest mot øst. Disse ble fotografert og tegnet. Deretter ble Lok. 2b avdekket fra vest mot øst i feltets hellende retning, deretter Lok. 2a fra sør mot nord, ovenfra og ned (fra vest mot øst). Felt 2c ble gravd til slutt fra nord mot sør, i feltets hellende retning. Det var spesielt avdekkingen av denne lokaliteten som tok tid, da det forhistoriske dyrkingslaget var på sitt mest omfattende her. Flateavdekking tok til sammen ca. 7 dager, og avdekket område utgjorde til sammen 1264,54m². Utfordringene på dette feltet var moderne og naturlige forstyrrelser, samt den varierende dybden på lag som skulle fjernes. Det ble målt inn 2 kokegroper, en rydningsrøys, en del moderne grøfter og noen mulige forhistoriske anleggsspor. På Lok. 2 ble det forhistoriske dyrkingslaget fjernet da dette ble dokumentert i profil, og det ble gravd direkte ned til antatt funnførende grus- og sandlag. De nordre delene på lokalitetene 2a og 2c var svært forstyrret av et stort eldre vannfar, og inneholdt derfor ingen andre spor etter mennesker enn en moderne steinsatt dreneringsgrøft som gikk på tvers av faret fra nord til sør på Lok. 2c.

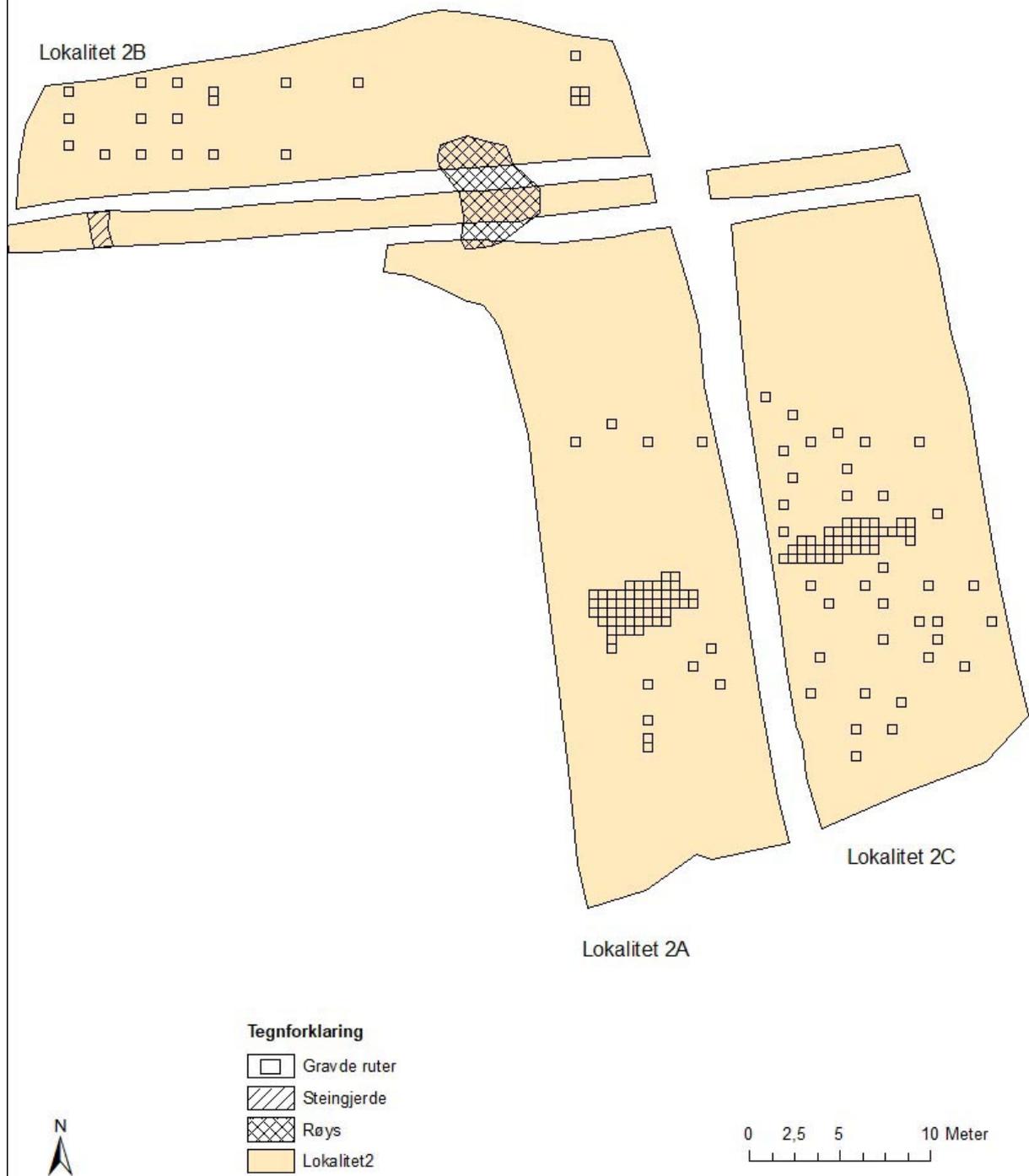
Matjordslaget var av svært varierende tykkelse på feltet, fra rundt 10cm tykkelse i vest, til rundt 50-60cm tykkelse i midten av feltet og i øst. Jordsig, langvarig dyrking og forstyrrelser fra bygging av det moderne huset direkte mot vest ser ut til å ha dannet en åkerrein på denne delen av lokaliteten, og også det forhistoriske dyrkingslaget var svært tykt her, opp til 1m tykkelse.

Lok. 2b

Etter at matjordslaget og det eldre dyrkingslaget var fjernet kom et svært grusholdig lag til syne på store deler av feltet. På lok 2b kom den rødbrune grusen rett under et tynt matjordslag og var et godt selvdrenerende lag i et hellende terreng. Det tynne matjordslaget gjorde at denne delen av feltet var noe forstyrret av moderne pløying og moderne anleggsspor som staurhull. Øst på feltet hvor dyrkningslagene var dypere ble det gravd en metersrute i 9 mekaniske lag ned til steril for å få oversikt over funnmengden nedover i lagene. Funnene var spredte med jevn mengde fra 0-6 i alle kvadranter i alle lag nedover. Graving av prøveruter her viste også at funnmaterialet befant seg på en skala fra sparsomt til ikke-eksisterende, og feltet ble avskrevet som interessant for videre undersøkelser. En kokegrop (ID 322) ble funnet i midten av feltet, og den ble tegnet, fotografert, snittet og det ble tatt ut kullprøve og makrofossilprøve. Det ble også funnet en mulig eldre rydningsrøys i øvre sjakt, ID 332. Denne ble dokumentert på samme måte, men også med fotogrammetri.

Jordsig hadde også forstyrret midtre deler av lokaliteten, og i de østre, nedre, delene ble åkerreinen svært tydelig. Dette gjorde det mulig å undersøke dyrkingslaget mer nøye, og det ble her gravd med maskin i mekaniske lag på 15-20cm. For hvert lag ble feltet krafset, dokumentert med bilder, og søkt over med metalldetektor for å se om funn, strukturer eller variasjoner kunne bli funnet i det tykke laget. Forandringer i plan viste seg å være svært vanskelig å påvise, men den nordre profilen viste noen variasjoner som kunne indikere forskjellige aktiviteter.

Gravde ruter på lokalitet 2



Figur 21. Gravde ruter på lokalitet 2. Figur av Eystein Østmoe, NTNU Vitenskapsmuseet

Gravde mekaniske lag lokalitet 2



Figur 22. Gravde mekaniske lag lokalitet 2. Figur av Eystein Østmoe, NTNU Vitenskapsmuseet

Struktur 322, kokegrop

Foto: Da_61926_023.tif - Da_61926_025.tif

Vitenskapelige prøver: Kull: T27565: 1165, Makroprøve: T27565: 1187

Tabell 7. Kullprøve kokegrop 322

Strukturnr./-type	Prøvenr.	Lab. id	Datert materiale	Datert BP	Kalibrert alder 1 sigma	Kalibrert alder 2 sigma
322, kokegrop	544	TRa-12136	Trekull	1055 +14/-14	68.2% probability 986AD (68.2%) 1015AD	95.4%probability 973AD (95.4%) 1020AD



Figur 23. Struktur 322 i plan. Da61926_022. Foto: Elisabeth Forrestad Swensen, NTNU Vitenskapsmuseet

Strukturen fremsto i plan og profil som en kokegrop, noe skadet mot øst av en moderne grøft som skjærer den noe. Den besto ikke av så mye skjørbrant stein (2-3 L), men hadde en tydelig kullrand i bunn. Halvparten ble soldet, men uten noe funn.



Figur 24. Struktur 322 i profil. Da61926_024. Foto: Elisabeth Forrestad Swensen, NTNU Vitenskapsmuseet

Tolkning:

Dateringen av kokegropen ga resultater som indikerer yngre jernalder, og vikingtid. Makroprøven sa at det var mye trekull og noe skjørbrønt stein, med mest skarpkantede men også mer slitte. Det kan bety at den har stått åpen etter bruk, eller at den er gjenbrukt flere ganger. Prøven ga ingen indikasjoner hva som kan ha vært tilberedt i kokegropen.

Profil Nord.

Foto: Da_61926_001.tif - Da_61926_007.tif

Vitenskapelige prøver: Kull: T27565: 1168 - T27565: 1171, Makroprøve: T27565: 1194 - T27565: 1197

Tabell 8. Kullprøver profil nord

Lag i dyrkingslag	Prøvenr.	Lab. id	Datert materiale	Datert BP	Kalibrert alder 1 sigma	Kalibrert alder 2 sigma
Lag 2	1081	TRa-12139	Trekull	3072 +14/-14	68.2% probability 1391B(18.7%)1371BC 1360BC(23.3%)1336BC 1323BC(26.2%)1298BC	95.4% probability 1401BC(95.4%)1284BC
Lag 3 topp	1082	TRa-12140	Trekull	1819 +11/-11	68.2% probability 143AD (11.4%) 155AD 168AD (28.1%) 195AD 209AD (28.7%) 234AD	95.4% probability 137AD (95.4%) 237AD
Lag 3 bunn	1083	TRa-12141	Trekull	1302 +11/-11	68.2% probability 671AD (47.3%) 690AD 750AD (20.9%) 761AD	95.4%probability 665AD (67.5%) 715AD 743AD (27.9%) 765AD
Lag 4	1084	TRa-12142	Trekull	1243 +11/-11	68.2% probability 717AD (55.9%) 743AD 767AD (12.3%) 773AD	95.4% probability 687AD (76.2%) 751AD 760AD (17.7%) 778AD 793AD (0.9%) 801AD 846AD (0.7%) 852AD



Figur 25. Nordre profil med dype dyrkningslag. Da61947_001. Foto: Elisabeth Forrestad Swensen, NTNU Vitenskapsmuseet

Helt nord i feltet ble det rensset fram en profil og tatt ut en del vitenskapelige prøver fra. Håpet var at den ville gi noen gode svar på kronologien over ulike dyrkningsfaser i Litlvika. Det ble tatt 4 kullprøver, 4 makrofossilprøver og 3 mikromorfologi prøver. C14-dateringene her ga dessverre en omvendt stratigrafi, så den øverste prøven var eldst, og yngre og yngre jo lenger ned de var tatt. De to nederste prøvene hadde en nokså lik datering til merovingertid-vikingtid. Makrofossilprøvene ga heller ingen særlige resultater, utover at det ble slått fast at prøvene var tatt fra dyrkningslag.

Tolkning:

Begge lokalitetene våre lå i en helning, og naturlig jordsig og erosjon kan ha spilt en stor rolle for at den naturlige lagrekkefølgen har blitt forstyrret. Det er dessuten andre faktorer som spiller inn her som at prøvene er tatt ca. 10 meter fra et gammelt bekkefar, og ikke minst at profilen ligger 25 meter fra et nyere hus. Prøvene i profilen har dermed liten utsagnskraft om fortidige aktiviteter. De to nederste prøvene har begge en datering til slutten av merovingertid til begynnelsen av vikingtid, og kan være en indikasjon på en mer aktiv bruk av området på den tiden. Mikromorfologiprøvene som ble tatt ble ikke sent til analyse etter dateringsresultatene ble kjent.

Struktur 332, rydningsrøys

Foto: Da_61926_008.tif - Da_61926_010.tif, Da_61926_041 - Da_61926_042, Da61946
Vitenskapelige prøver: Makrofossilprøver: T27565:1189 – T27565:1190, Pollen: Prøve id 740



Figur 26. Røys 332 i plan. Da61946_001. Foto: Astrid Lorentzen, NTNU Vitenskapsmuseet

Røysen ble funnet når øst-vestgående sjakt id 231 ble gravd, og tolket som en rydningsrøys. Den ble snittet og det ble tatt ut makrofossilprøver og pollenprøve.

Tolkning:

Steinene lå spredt og uregelmessig. De lå under og i den nederste delen av dyrkningslaget. Makroprøve ID 840 fra det nederste laget ble av Moltesen (2016) tolket som et brannlag for rydding av området. I makroprøven i laget over ble det funnet mer kull, en liten byggkjeerne, en liten glassert leirebit og en liten knokkel. Røysen er antageligvis en rydningsrøys, men har ingen datering fordi det ikke ble sent inn noen kullprøver fra denne.

Lok. 2a og 2c

Lok. 2a og 2c var svært like (kanskje fordi adskillelsen var unaturlig ved telefonkabelen, og at de lå parallelt med hverandre) og behandles under ett. Sør på lokaliteten var åkerreinen mindre fremtredende, og feltet var også mer forstyrret av moderne inngripener her. Helt sør ble det funnet et større område nært veien med plast og søppel, og dette området ble unngått som forstyrrede lag. Dette strakk seg over begge lokalitetene. Søndre deler av var også mer preget av moderne grøfting, som kan ha med å gjøre at før et bekkeløp ble lagt i rør og drenert, var dette dens naturlige

løp langs veien. I nord var også disse lokalitetene forstyrret av et annet vannfar, samt at det i midten av Lok. 2a gikk en svært omfattende og kraftig steinsatt dreneringsgrøft.

Det var dermed svært få områder igjen på Lok. 2a og 2c som ikke var forstyrret i en eller annen grad. Prøveruter satt ut i grusen og sandlaget viste til svært få eller ingen littiske funn. Midt i feltet dog, gikk en slags renne fra toppen av Lok. 2a i vest og fortsatte nedover i hellingen til østre deler av Lok. 2c. Dette ble først vurdert som enda et vannfar, med brungrå, siltholdige masser. Det ble observert flere små samlinger av kull i denne rennen på Lok. 2a, og det ble derfor bestemt å grave prøveruter her også, samt i den antatte fortsettelsen på Lok. 2c. På Lok. 2a viste det seg at denne «rennen» inneholdt et kullag som virket å være in-situ og uforstyrret, samt et funnspekter av noen littiske funn, brente bein og brente hasselnøttskall. (figur 27) Kullaget var fraværende i østre og nedre deler, men det ble også der funnet en del littiske funn, brente bein og brente hasselnøttskall.



Figur 27. Lokalitet 2a. De merkelige stripene går på langs av feltet. Da61938_001. Fotogrammetri av Rossano Cherubini og Helene Blyverket, NTNU Vitenskapsmuseet

Helt øverst, vest på Lok. 2a, i noe som muligens fremdeles var denne «rennen» ble det målt inn en kokegrop (ID 599). Ved snitting av denne ble det funnet svært mye skjørbrent stein, mye littisk materiale, deriblandt en slipt øks i porfyr. Det ble også funnet en god del kull, brente bein og brente hasselnøttskall i gropen. Strukturen ble snittet, fotografert og tegnet, og det ble tatt ut kullprøve og makrofossilprøve.

På langs av Lok. 2a ble det også observert en del «striper» i undergrunnen som ble målt inn midlertidig som grøfter, da det var noe vanskelig å forstå hva det var. De bestod av flere parallelle linjer som strakk seg fra sørvest til nordøst, og i østlig profil strakk de seg under det mulige forhistoriske dyrkingslaget. I snittet og formgravd tilstand hadde de en tykkelse på mellom 7 og 15 cm, og kunne til dels ligne mer moderne plogspor. Det ble brukt metallsøker over feltet, men ingen

funn dukket opp. «Grøftene» ble fotografert og snittet, og det ble tatt ut makrofossilprøver av alle snitt.

Struktur 599, kokegrop/avfallsgrop

Foto: Da_61926_095.tif - Da_61926_099.tif

Vitenskapelige prøver: Kullprøve T27565: 1180, Makrofossilprøve T27565: 1193

Tabell 9. Kullprøve kokegrop 599

Strukturnr./-type	Prøve nr.	Lab. id	Datert materiale	Datert BP	Kalibrert alder 1 sigma	Kalibrert alder 2 sigma
599, kokegrop	1044	TRa-12151	Hasselnøtt-skall	4968 ± 16/-16	68.2% probability 3762BC(53.5%)3725BC 3715BC(14.7%)3706BC	95.4% probability 3780BC(95.4%) 3696BC X2- Test:df=2T=5.8(5% 6.0)



Figur 28. Kokegrop 599 i profil. Da61926_095. Foto: Elisabeth Forrestad Swensen, NTNU Vitenskapsmuseet

Struktur 599 ble snittet og soldet, og det ble gjort 92 littiske funn herfra i form av flint, bergart, skifter, kvarts og bergkrystall. Den ble ikke avdekt i sin fulle utstrekning da profilen i vest gikk over den. Den var også noe skadet av grøft id: 606. Innholdet besto av brunsvart, sandholdig grus med mye skjørbrønt stein, brønt hasselnøtt-skall, trekull og noe brønt bein. Den ble i felt tolket som en kokegrop, eventuelt en avfallsgrop fra sannsynligvis yngre steinalder.

Tolkning:

Makroprøven viste at den besto av mye slitt trekull som tilsier at den har vært åpen etter siste brenning. Den besto også av mye brent hasselnøttskall. Dateringsprøvene fra strukturen var av hasselnøttskall, og det ble datert tre ulike skall. En gjennomsnitt av disse ble da utarbeidet og resultatet av disse er at hasselnøttskallene er ifra 3780 – 3696 f. Kr, med 95,4 % sannsynlighet. Denne dateringen passer også med den slipte øksen i porfyr som antageligvis er en Vespestadøks, og dateres til TN. Ingen av funnene i gropen motsier en slik datering. Det er mye mulig dette bør tolkes som en avfallsgrop fra et aktivitetsområde direkte vest for gropen, der det nåværende huset står.

Struktur 1046, kullag

Foto: Da_61926_093.tif - Da_61926_094.tif Fotogrammetri: Da61940 og Da61941
Vitenskapelige prøver: Kullprøve: T27565:1172, Makrofossilprøve id1064 og 1135.
Tegning: 6-13.

Tabell 10 Kullprøve kullag 1046

Strukturnr./-type	Prøvenr.	Lab. id	Datert materiale	Datert BP	Kalibrert alder 1 sigma	Kalibrert alder 2 sigma
1046, Kullag	1134/ T27565:1172	TRa- 12143	Trekull	3752 +15/-15	68.2% probability 2198BC(52.0%) 2164BC 2152BC(16.2%) 2141BC	95.4% probability 2266BC(0.7%) 2261BC 2206BC(89.5%) 2132BC 2083BC(5.2%) 2059BC



Figur 29. Kullag i profil sett mot sørvest. Da61941_001. Foto: Helene Blyverket, NTNU Vitenskapsmuseet

Kullaget ble funnet etter at det hadde vært gravd i mekaniske lag på et mer omrotet gruslag på toppen. Laget ble rensert fram og snittet. Rennet lå nedenfor struktur 599 og gikk i vest mot øst ned en skrånende bakke, og hadde et klart kullag som varierte i størrelse fra 1-10 cm i dybde. Det ga inntrykk av å ha vært brent treverk in situ og kullet besto av store biter. Rennet så ut til å være i et søkk i terrenget, og det kan være at det er derfor kullaget er bevart. Massene oppå så ut som omrotede masser som vannet har tatt med seg nedover.

Tolkning

Kullprøven fra kullaget ble datert til senneolittikum og ble vedartbestemt til å være fra vier og poppelslekten. Det ble ikke observert noe littiske funn her, men mest kull og skjørbrønt stein. Et hasselnøttskall som ble funnet i soldet ved graving i ruter i nivået over ble datert til 4347-4057 f. Kr., og kommer sannsynligvis fra høyere opp i terrenget, mulig fra struktur 599. Kullaget kan være rester etter intensjonell brenning av området for å få vekk trær og vegetasjon, men det kan også være en naturlig renne med naturlige brannrester, og diverse stein og andre ting som er blitt samlet der. Hvis en går ut fra at kullaget har brent der det ble funnet, er sannsynligvis de aller fleste funnene funnet i rutegraving over dette kommet ned hit med vannavrenning.

Grøftene 626, 642, 661, 684, 744, 758, 774, 801, 823, 841, 855, 867, 892, 907, 919, 956, 966, 985 og 997.

Foto: Da_61926_043.tif - Da_61926_092.tif Fotogrammetri: Da61942
Prøver: Makrofossilprøver T27565:1191-1192, 1209.



Figur 30. Grøfter på lok 2a. Tatt mot øst. Da61942_001. Foto: Roassano Cherubini, NTNU Vitenskapsmuseet



Figur 31. Mulige hjulspor. Forlenget med et tenkt veifar. Figur av Eystein Østmoe, NTNU Vitenskapsmuseet

Etter avdekking ble disse nordnordøstlige – sørsørvestlige stripene funnet og målt inn som grøfter. De ble kuttet av den moderne grøften id:606 nede til høyre (fig.30) som går norvest – sørøst, og veita id357 til venstre som går vestnordvest – østsørøst. De så imidlertid til ut til å kutte det steinete rødbrune området til høyre hvor struktur 1046 (kullaget) ble funnet. På felt 2a kunne grøftene følges i 17 meters lengde på det meste og ca. 5 meter på de bredeste. Grøftene ble snittet og det ble tatt makroprøver fra de.

Tolkning

Det ble sendt inn tre makrofossilanalyser fra disse grøftene, og de viser en del trekull, noe hasselnøttskall og spor etter at minst en av grøftene har stått åpen med vann i seg en stund. De er sannsynligvis yngre enn kullflekken under det rødbrune området som dateres til SN, og eldre enn de moderne strukturene (veite 357 og grøft 606). De kan være gamle spor etter plog, men det er ikke noen lignende spor på de andre feltene. En annen mulighet er at de kan være spor etter et veifar. Den gamle brukeren sa at det en gang skulle ha gått et veifar rundt der de ble funnet. Det sees ikke på flyfoto fra 1960, men et jordskiftekart fra Jelkrem fra 1861 (Leivdal, 2009, s. 614) viser at veien en gang sannsynligvis gikk lenger vest enn den nåværende veien. I steingjerdet mellom øvre og nedre Lillevik er det også tegn etter en åpning som er blitt lukket for lenge siden. Hvis man legger en linje fra den åpningen og mot disse grøftene så passer vinkelen på grøftenes retning. Hvis det er en vei så er det i så fall snakk om en gammel kjerrevei der den til tider har blitt så bløt at kjerresporene har gått ned i undergrunnen. Lengst sør så buer også sporene mot vest, noe som kan tyde på at de går opp mot gårdstunet.



Figur 32. Profil av grøft 684. Da61926_056. Foto: Helene Blyverket, NTNU Vitenskapsmuseet

4. Funnmateriale

Katalogiseringen ble gjort i NTNU Vitenskapsmuseets database for katalogisering av steinalderfunn, MUSIT, og katalogisert i henhold til nomenklaturen som er utarbeidet over forskjellige gjenstandstyper. Materialet ble katalogisert på gjenstand, materialtype, form/størrelse, antall og plassering.

Tabell 11. Antall varmepåvirket, vannrullet og med cortex Lokalitet 1

Lokalitet 1	Antall	%
Vannrullet	485	18,6
Cortex	355	13,6
Varmepåvirket	124	4,8

Tabell 12. Antall varmepåvirket, vannrullet og med cortex Lokalitet 2

Lokalitet 2	Antall	%
Vannrullet	55	14,32
Cortex	82	21,35
Varmepåvirket	63	16,41

Vannrulling

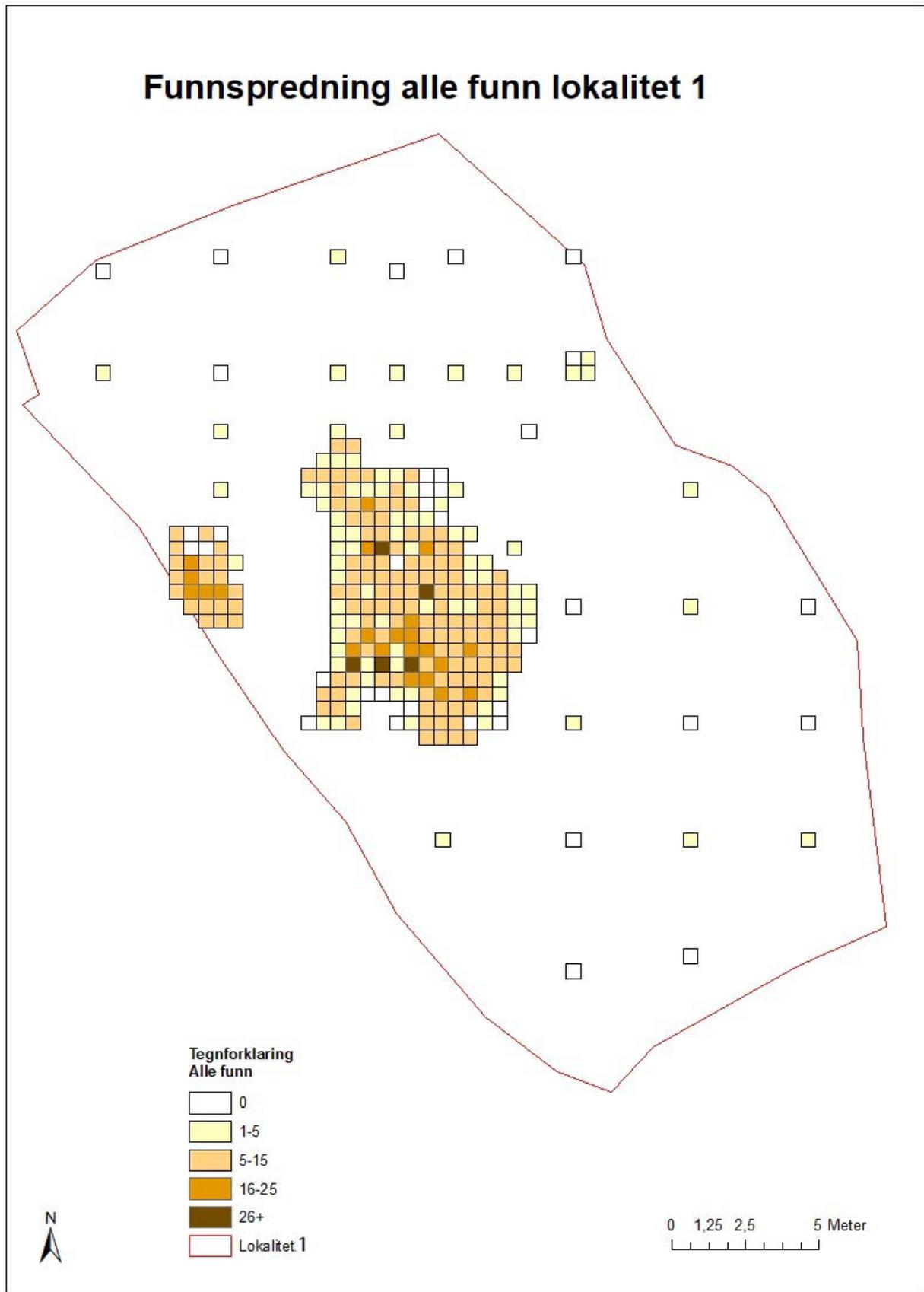
Den prosentvise andelen av vannrullet flint er på lokalitet 1 ganske høy. På Ormen Lange prosjektet har man henholdsvis 5,6% og 8,4% vannrullet flint på lokalitet 50 og 68 fra senmesolittisk tid. På den senmesolittiske lokaliteten Meisingset gravd i 2016, var prosentandelen nede i 1,7% av materialet. (Alle i Møre og Romsdal). Den høye andelen av vannrullet materiale på lokalitetene må sees i forhold til at lokalitetene ligger på flater med med helning mot vest der rennende vann har gått gjennom lokalitetene. Dette har sannsynligvis vært sterkt framtrædende helt siden flatene dukket opp av vannet. Særlig ser man det med veita med bekken som går på tvers over felt 1, og de tydelige spor etter en bekk lengst nord i felt 2a og c.

Varmepåvirkning

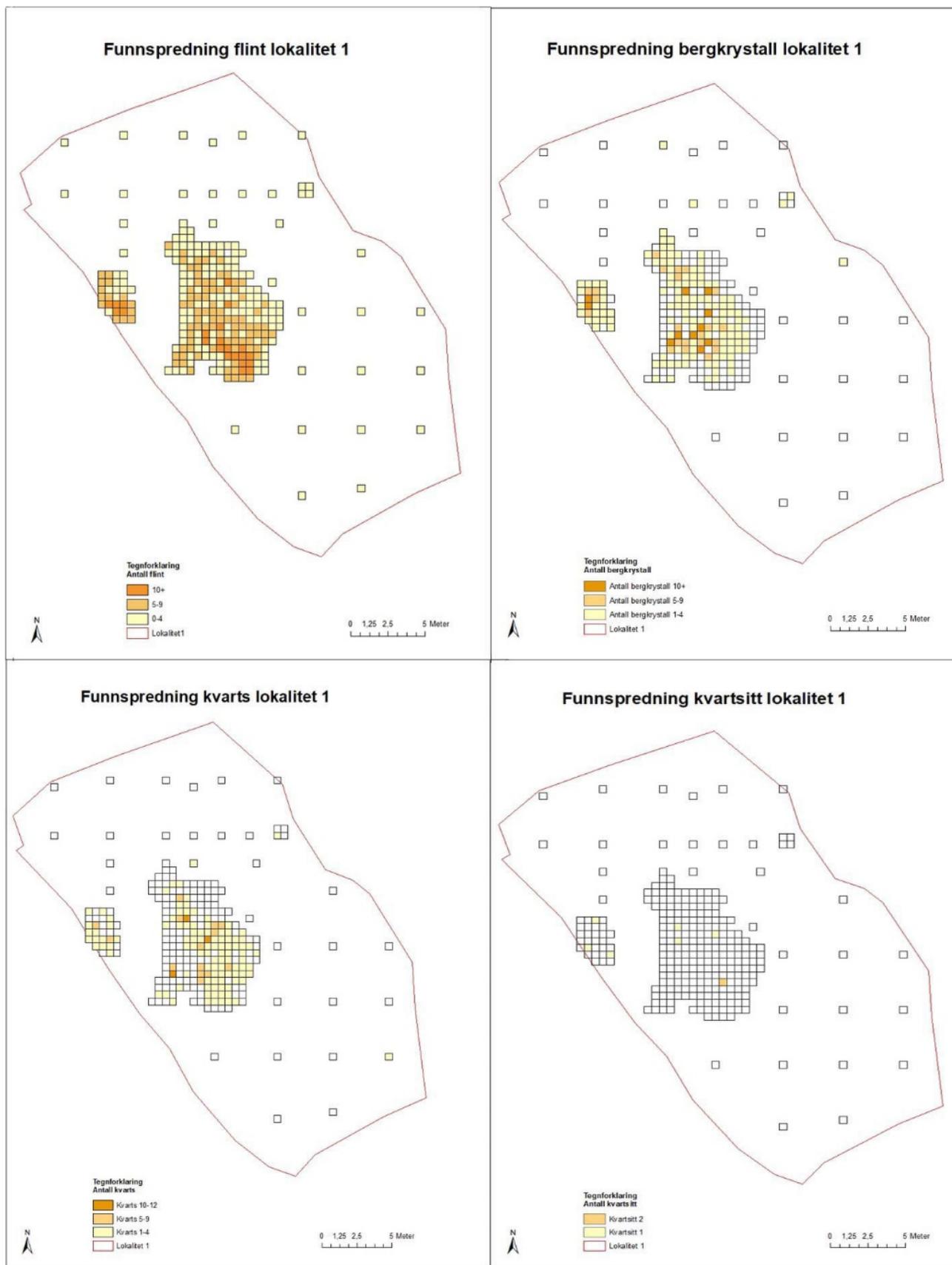
Prosentandelen av varmepåvirket materiale er på lokalitet 1 (4,8%), og er noe mindre enn hva som er vanlig på slike lokaliteter. På Meisingset er andelen 18,6, og på Ormen Lange lok 50 og 68 er den henholdsvis 10,8% og 9,3%. Dette kan i like stor grad skyldes ulik tolkning i hva som er varmepåvirket som i at det faktisk er en stor forskjell i materialet. På lokalitet 2 er prosentandelen på 16,41 noe som også kan skyldes at mye av materialet ble funnet i kokegropa 599, og like nedenfor denne.

4.1 Lokalitet 1

Graving av prøveruter viste at det var generelt ganske få littiske funn på lokaliteten, men det var også et område som skilte seg ut. Under registreringen var det gjort funn av en slipt skiferspiss med rombisk tverrsnitt, men den ble funnet i matjordlaget, og dermed ute av kontekst. Funnene på lokaliteten bestod i hovedsak av flint, men også en del kvarts. Det ble ikke funnet noen moderne funn i gruslaget med steinalderfunn.



Figur 33 Funnspredning kvadranter alle funn lokalitet 1. Figur av Eystein Østmoe, NTNU Vitenskapsmuseet



Figur 34 Råstoffordeling lokalitet 1. Figur av Eystein Østmoe, NTNU Vitenskapsmuseet

Tabell 13. Råstofftyper på lokalitet 1

Råstoff	Antall funn	%
Flint	1764	67,59
Bergart	1	0,04
Kvarts	644	24,67
Bergkrystall	179	6,86
Skifer	1	0,04
Kvartsitt	16	0,61
Sandstein	5	0,19
SUM	2610	100

Tabell 14. Funntyper på lokalitet 1.

Typer	Variant	Antall
Avslag	Makro	12
	Medio	1751
	Medioavslag med bruksspor	25
	Mikro	575
Flekker	Makro	8
	Medio	17
	Mikro	59
Diagnostisk avslag	cortexflekke	3
	flekkelignende avslag	22
Kjerne	konisk kjerne	3
	kjøleformet kjerne	1
	håndtakskjerne	4
	bipolar kjerne	36
	ubestemt kjerne	13
	ubestemt kjerne med en plattform	17
	ubestemt kjerne med flere plattformer	2
forarbeide til kjerne	1	
Kjernefragment	bipolart kjernefragment	16
	plattformkjernefragment	3
	ubestemt kjernefragment	6
Prepareringsavslag	skiveformet plattformavslag	1
	flekkefront	1
Kniv	platekniv	1
	annen flekkekniv	1
	annen avslagskniv	1
Pilspiss	ubestemt tangespiss med kantretusj	1
Borspiss	borspiss på flekke	1
Skraiper	skiveskraiper	2
	endeskraiper på avslag	3
	flekkeskraiper	2
	ubestemt skraiper	1
Retusjert avslag	medioavslag med rett retusj	4
	medioavslag med annen retusj	2
	medioavslag med hjørneretusj	1
Retusjert flekke	makroflekke med annen retusj	1
	retusjert medioflekke	1

Typer	Variant	Antall
	medioflekke med annen retusj	2
	mikroflekke med annen retusj	2
Stikkel	kantstikkel på retusj	1
Slipeplate	Slipeplate	6
Blokk	Blokk	1
Sum		2610

Gjenstandsmaterialet bestod av blant annet slipeplater (funnet i kulturlaget), skrapere, flekker kjerner, en pilespiss og noen kniver. Majoriteten av materialet besto som vanlig ved steinaldergravinger av avslag som utgjorde 90,54% av alt materialet.

Flekkematerialet

Tabell 15. Flekker på lokalitet 1.

Flekker	Makro	8
	Medio	17
	Mikro	59
Diagnostisk avslag	cortexflekke	3
	flekkelignende avslag	22
Retusjert flekke	makroflekke med annen retusj	1
	retusjert medioflekke	1
	medioflekke med annen retusj	2
	mikroflekke med annen retusj	2



Figur 35 Ulike mikroflekker. Da61950_009. Foto: Åge Hojem, NTNU Vitenskapsmuseet

Flekkematerialet domineres av mikroflekker som utgjør 2,26% av alt materialet på lokalitet 1. Dette stemmer godt overens med andelen mikroflekker på andre seinmesolittiske lokaliteter som man kan sammenligne med som lok 50 og 68 på Ormen Lange som hadde henholdsvis 2,12% og 1,7%. Samtlige mikroflekker unntatt en var i flint, og den siste var i bergkrystall.

Av makroflekker finnes det kun 8. Dette er allikevel nokså høyt i forhold til antall mikroflekker (1 - 7). På lokalitet 50 og 68 på Ormen Lange var forholdstallet henholdsvis 1–20, og 1-24. På Meisingset var tallet også 1–7. Av de 8 makroflekkene var 1 av kvartsitt og 7 av flint. Av disse 7 var 6 tydelig vannrullet. Av 17 medioflekker er 9 vannrullet og av 59 mikroflekker er 14 vannrullet. Det er en mulighet at noe av det vannrullede materialet kommer fra en lokalitet høyere opp, og har blitt fraktet nedover av vann. Selve gården til Øvre Lillevik ligger 30 meter rett over lokalitet 1, og ligger på høydekote mellom 30 og 40 meter. Det er mulig gården ble bygd på en stor flate, og at det tidligere har vært en bosetting der som etter høyden over havet å bedømme må ha vært i TM/MM, eller at det også kan komme fra flater enda høyere opp.



Figur 36 Makroflekkkefragmenter. Da61950_008.
Foto: Åge Hojem, NTNU Vitenskapsmuseet

Kjernematerialet

Tabell 16. Kjerner på lokalitet 1.

Kjerne	konisk kjerne	3
	kjølformet kjerne	1
	håndtakskjerne	4
	bipolar kjerne	36
	ubestemt kjerne	13
	ubestemt kjerne med en plattform	17
	ubestemt kjerne med flere plattformer	2
	forarbeide til kjerne	1
Kjernefragment	bipolart kjernefragment	16
	plattformkjernefragment	3
	ubestemt kjernefragment	6

Det ble funnet til sammen 76 kjerner på lokalitet 1. Av disse var 47,36% bipolare kjerner. Bipolare kjerner forekommer under hele steinalderen, men med en økt bruk i senmesolittikum. Antall bipolare kjerner tilsvarer 1,37% av alle funn. Dette er noe mindre enn lokalitet 50 og 68 fra Ormen Lange med henholdsvis 1,86% og 2,06%, og litt mer enn på Meisingset med sine 1,24%. Lengden på de bipolare kjernene spenner fra 1,3 – 3,5 cm, og er små, noe som stemmer med erfaringene fra Ormen Lange, og er et uttrykk for en maksimal utnyttelse av flint som råstoff (Bjerck et. al. 2008:580). De andre identifiserte kjernene som konisk kjerne, håndtakskjerne, kjølformet kjerne og de ubestemte plattformkjernene har en mer generell datering til mesolittikum.

Tabell 17. Råstoff brukt i kjerner.

Råstoff	Antall Kjerner	Antall Kjernefragment
Flint	37	19
Bergkrystall	19	5
Kvarts	19	1



Figur 37 Kjerner. Da61950_006. Foto: Åge Hojem, NTNU Vitenskapsmuseet

Kjernematerialet domineres av flint, men med relativt store innslag av bergkrystall og kvarts. Hvis kjerner og kjernefragment legges sammen, vil kvartskjerner og fragment utgjøre 20% av alle kjerner og fragment på lokaliteten. Bergkrystall vil utgjøre 25%. Den høye andelen kvartskjerner gjenspeiler at andelen kvarts totalt på lokaliteten er ganske høy.

Kniver og spisser

Det ble funnet en spiss på lokaliteten. Dette var en ubestemt tangespiss med kantretusj av bergkrystall laget av en mulig medioflekke. Denne dateres generelt til steinalder. Det ble funnet tre forskjellige typer kniver, der platekniven dateres til senmesolittikum, mens de to andre har generell datering til steinalder.

Slipeplater

Det ble funnet 6 slipeplater. 5 av de ble funnet i en omkrets av 1 meter i mekanisk lag 3 og 4 i den mulige tuften. Tre av de kunne settes sammen, og to andre passet sammen. Selv om de ligner hverandre og sannsynlig tilhører en plate var det vanskelig å sette de sammen til en hel plate. Platen virket å være brukt som slipeplate på den ene breidsiden. Den siste ble funnet ca. to meter nordvest for de andre. Slipeplater dateres fra mellommesolittikum til og med neolittikum, med hovedvekt på senmesolittikum.



Figur 38 Ubestemt tangespiss i bergkrystall. Da61950_020. Foto: Åge Hojem, NTNU Vitenskapsmuseet



Figur 39 Kniver. Fra venstre: Avslagskniv, flekkekniv og platekniv. Da61950_010. Foto: Åge Hojem, NTNU Vitenskapsmuseet

Det ble også funnet 8 skrapere, men ingen av de med mer spesiell datering enn til steinalder/bronsealder. En litt mer spesiell ting er at det ble funnet en kantstikkel laget på brudd av bergkrystall. Denne ble identifisert av professor Birgitte Skar. Disse finnes i hele mesolittikum, men med vekt på tidligmesolittikum.

Et samlet bilde av materialet på lokalitet 1, viser at funnene fra det funnførende gruslaget i hovedsak kan dateres til senmesolittikum basert på de littiske funn. Mye vannrullet flint, deriblandt de store flekkene kan ha en tidligere datering med en ikke kjent bosetting lengre opp ovenfor lokalitet 1, men de kan også tilhøre

aktivitetsområdet der de ble funnet. Det er ingenting som ble funnet som svekker en datering til senmesolittikum. Ved registreringen av lokaliteten ble det funnet en del av en skiferspiss med rombisk tverrsnitt. Denne ble funnet i et prøvestikk noen meter nord for kulturlaget, i «øvre del av første bøttelag under torv og matjord» (Sanden, Frey & Dahle, 2016, s. 48), og representerer nok ikke noen aktivitet i aktivitetsområde på lokalitet 1, men har nok snarere kommet dit med plog eller blitt skutt bort.



Figur 40 Slipeplate i 5 deler funnet i mulig tuft. Da61950_002. Foto: Åge Hojem, NTNU Vitenskapsmuseet

4.2 Lokalitet 2

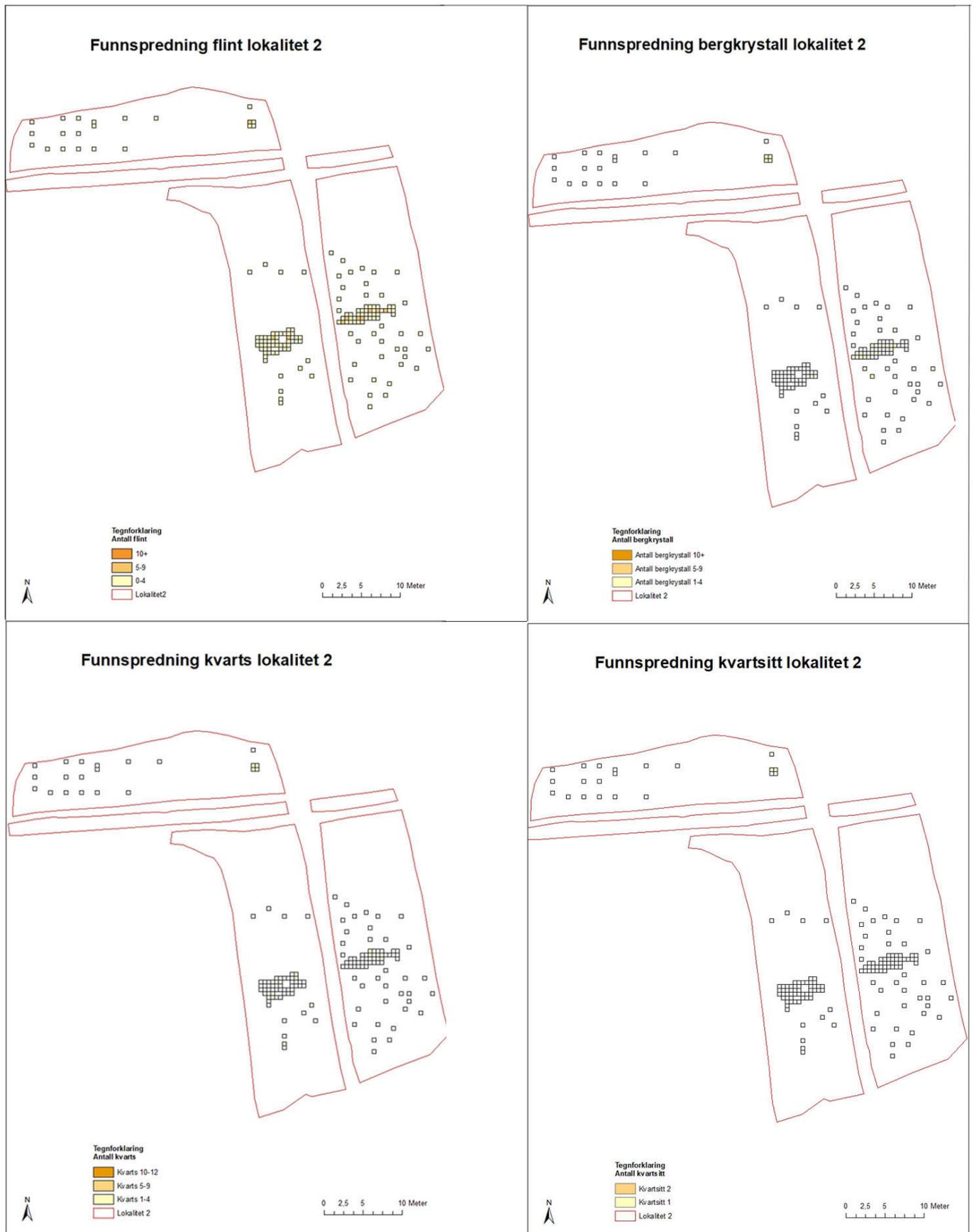
Lokalitet 2 hadde generelt svært få funn, der hovedmengden kom fra «rennen» som strakk seg fra vest til øst på Lok. 2a og 2c, samt kokegrop ID 599.

Funnmaterialet bestod i hovedsak av flint, men det var også innslag av kvarts, bergkrystall, kvartsitt, skifer, porfyr og bergart. Gjenstandsmaterialet bestod blant annet av en slipt øks i porfyr, et slipt distal- og medialfragment av en skiferspiss, tre borspisser og et fragment av en bakstehelle. Denne siste var det yngste funnet. Over 300 av funnene ble katalogisert som avslag, av totalt 384 funn. Kjernene bestod i hovedsak av bipolare kjerner og fragmenter av plattformkjerner.

Funnspredning alle funn lokalitet 2



Figur 41 Funnspredning kvadranter alle funn. Lokalitet 2 Figur av Eystein Østmoe, NTNU Vitenskapsmuseet



Figur 42 Råstoffordeling lokalitet 2. Figur av Eystein Østmoe, NTNU Vitenskapsmuseet

Tabell 18. Råstofftyper på lokalitet 2.

Råstoff	Antall funn	%
Flint	302	78,65
Bergart	32	8,33
Kvarts	24	6,25
Bergkrystall	12	3,13
Skifer	10	2,6
Kvartsitt	3	0,78
Porfyr	1	0,26
SUM	384	100

Tabell 19. Funntyper på lokalitet 2.

Typen	Variant	Antall
Avslag	Medio	204
	Medioavslag med bruksspor	18
	Mikroavslag	97
	Fragment med bruksspor	1
Flekke	Makroflekke	1
	Medioflekke	1
	Mikroflekke	5
Diagnostisk avslag	Flekkelignende avslag	8
	Skrapereggoppsskerping	1
Kjerne	Bipolar kjerne	5
	Ubestemt kjerne	3
	ubestemt kjerne med en plattform	3
	ubestemt kjerne med flere plattformer	2
Kjernefragment	bipolart kjernefragment	4
	plattformkjernefragment	6
	overløpen flekke	1
	ubestemt kjernefragment	4
Prepareringsavslag	flekkefront	1
Øks	vespestadøks	1
Meisel	Meisel	1
Pilspiss	flateretusjert spiss	1
	slipt pilspiss med rombisk bladsnitt	1
Borspiss	borspiss på avslag	1
	borspiss på flekke	1
	borspiss på kjerne/kjernefragment	1
Retusjert avslag	medioavslag med rett retusj	2
	medioavslag med annen retusj	4
	fragment med annen retusj	1
Retusjert flekke	medioflekke med annen retusj	3
Fragment	slipt fragment	1
Ukjent	Ukjent	1
Sum		384

Da hoveddelen av funnene på lokalitet 2 kom fra ca. 13-17 m. over havet, og lokalitet 1 fra 20-25 m. over havet, var det ventet at det kunne være visse forskjeller i funnmaterialet. Under registreringen fant man ingen daterbare littiske funn her, men antok en datering til senneolittikum/bronsealder utifra høyde over havet, men en så heller ikke bort ifra at funnene kunne komme fra høyere opp.

Flekkematerialet og kjernematerialet er ganske sparsommelig, men viser en viss dominans av mikroflekker og bipolare kjerner som kan indikere senmesolittisk tid, uten at noen av de andre funnene av kjerner eller flekker motsier det.

Pilspisser



Figur 43 Pilspisser fra venstre: slipt skifer, uferdig flaterretusjert flint og ubestemt tangespiss i bergkrySTALL. Da61950_012. Foto: Åge Hojem, NTNU Vitenskapsmuseet

En av gjenstandene som ble funnet ved opprensing etter avdekking var en slipt pilspiss i grågrønn skifer. Den hadde rombisk bladsnitt og parallelle egglinjer. Disse spissene dateres oftest til MN på Møre (Ramstad. M. 1999: 89), og er tidsdiagnostiske. Den hadde ingen strukturer i nærheten, og lå heller ikke i noe funnførende lag.

En annen spiss som ble funnet som løsfunn var et emne til en flaterretusjert spiss med rette sidekanter, og kan mulig vært tiltenkt som en triangulær flaterretusjert spiss. Den ser ut til å ha et lite brudd i spissen, og kan ha vært årsak til at den ble forkastet. Dateringen på slike flaterretusjerte spisser er SN-BA.

meisler

Det ble funnet et fragment av en mulig meisel av skifer slipt på tre sider til en ubrukt egg. Fragmentet har kommet til etter et slag fra siden, mulig for å få frem en ny egg da denne var skadet på siden. Gjenstander av slipt skifer kommer i bruk rundt starten av neolittikum, men uten at den kan dateres noe nærmere enn det.

I kokegropen 599 ble det funnet en slipt øks i porfyr. Antageligvis en vespestadøks. Både skadet og hugget i etterkant av sliping. Eggen er oppskjerpet med hugging. Oversiden er slipt, og det er også noen spor igjen etter slipte sider. Undersiden er sterkt skadet, men har noen deler igjen

Økser og



Figur 44 Fragment av en slipt egg fra en meisel. Da61050_004. Foto: Åge Hojem, NTNU Vitenskapsmuseet

som er slipt. Rundovalt tverrsnitt, og en tilnærmet rektangulær form. Nakken er nesten like bred som eggen. Denne typen økser dateres til TN.



Figur 45 Vespestadøks funnet i kokegropen 599. Da61950_001. Foto: Åge Hojem, NTNU Vitenskapsmuseet

Det ble også funnet et fragment av en bakstehelle på lokalitet 2. Baksteheller har oftest datering fra middelalder, men går helt tilbake vikingtid også (Øye, I. 2002: 389). Baksteheller forbindes for det meste med baking av flatbrød, delvis fordi havre og bygg var de viktigste kornsortene på den tiden, sammen med rug som ble importert utover i middelalderen. Baksteheller er vanligvis 0,5-2,5cm tykke, runde på ca. 30-50cm i diameter, som regel av skifrig talk- og klorittholdig bergart, grønskifer. De er vanligvis preget av et mønster av grunne furer på kryss og tvers på begge sider



Figur 46 Bakstehelle. Da61050_015. Foto: Åge Hojem, NTNU Vitenskapsmuseet

4.3 Prøver og dateringer

Det ble tatt ut totalt 66 prøver på Litlvika. Av disse ble 19 makro og 17 kullprøver/hasselnøttskallprøver sendt inn. Prøvene ble tatt fra forskjellige kontekster, og det ble i ettertid vurdert om konteksten og nyttigheten av prøven var verdt innsending. Makrofossilprøvene ble sendt inn hele og uflottert til analyse hos Miljøarkæologi ved Annine Moltsen i København. Kullprøvene ble sendt til datering hos Nasjonallaboratoriene for datering på NTNU.

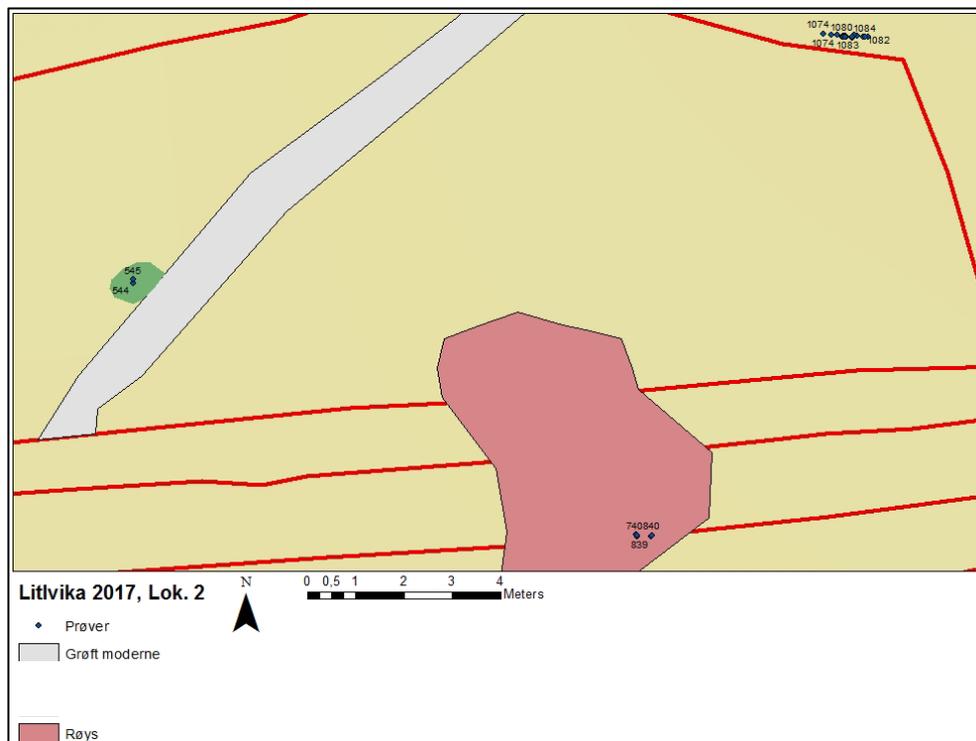
Tabell 20. Prøver sendt inn til analyse.

Innsendte prøver	Lokalitet 1	Lokalitet 2
Kullprøver	7	10
Makrofossilprøver	8	11

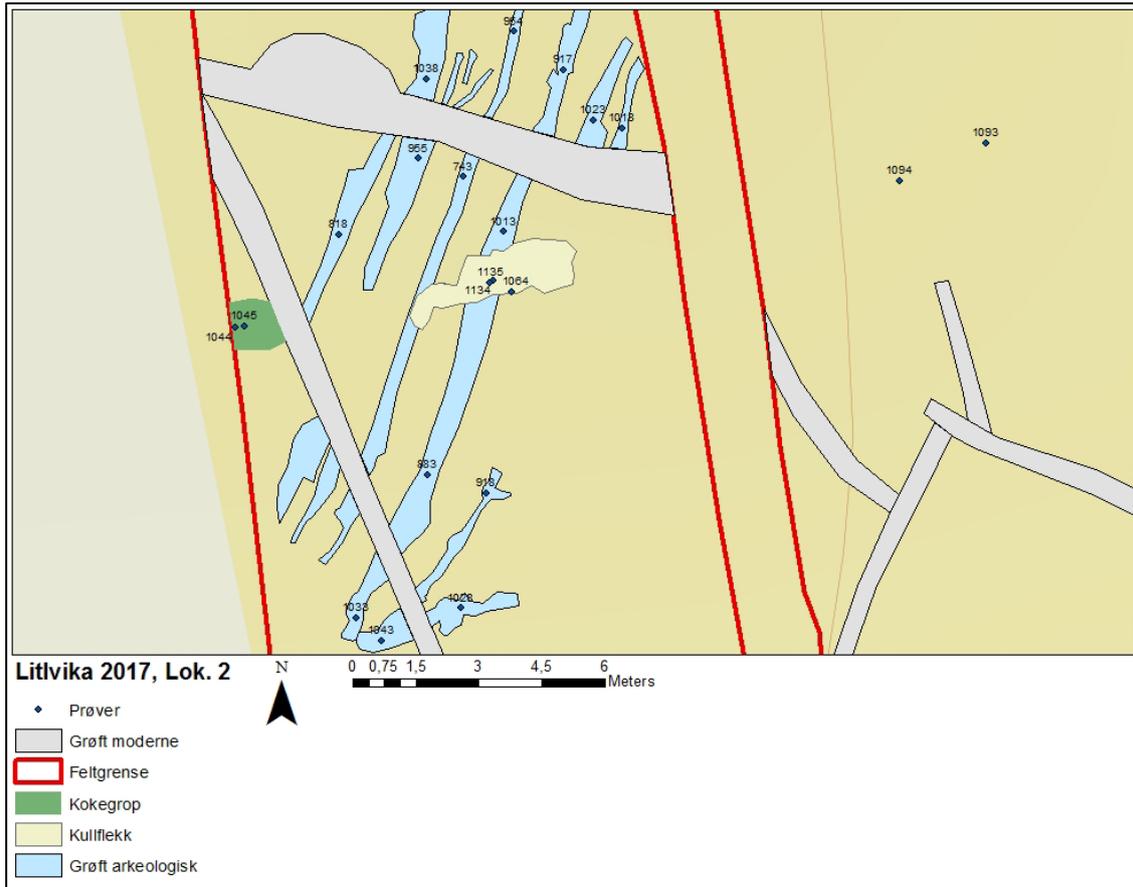
4.3.1 Dateringer



Figur 47 Prøver tatt på Lok. 1, fra ulike profiler, lag og strukturer. Kart av Elisabeth Forrestad Swensen, NTNU Vitenskapsmuseet



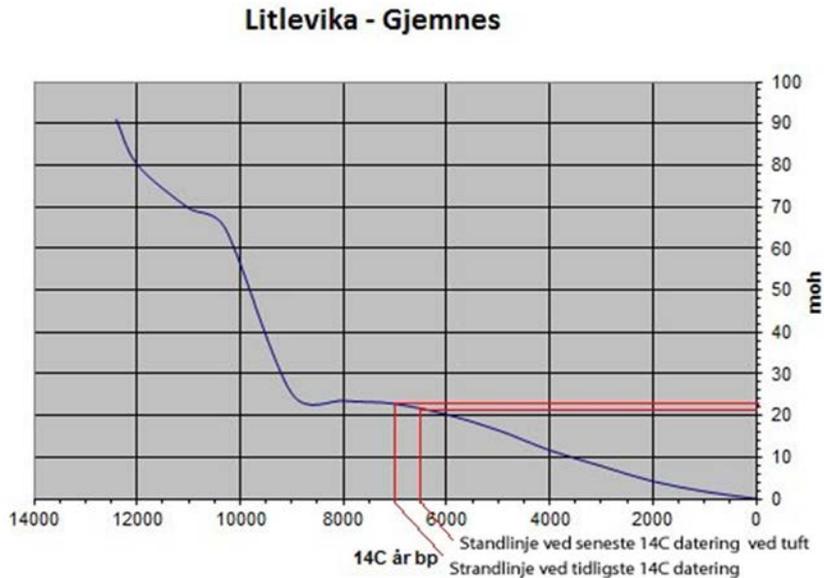
Figur 48. Prøver tatt på Lok. 2b, fra ulike profiler og strukturer. Kart av Elisabeth Forrestad Swensen, NTNU Vitenskapsmuseet



Figur 49 Figur 33. Prøver tatt fra Lok. 2a og 2c, fra ulike strukturer og lag. Kart av Elisabeth Forrestad Swensen, NTNU Vitenskapsmuseet

Strandlinjedatering

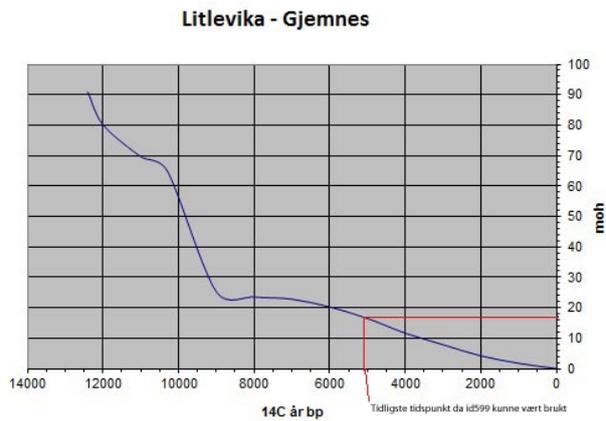
Strandlinjedatering er en metode for å definere en steinalderboplass sin alder utfra en maksimumdatering. Strandlinjekurven for Litlvika viser at bosetting på 20-25 moh. ikke kan ha vært bosatt før i seinmesolitikum, da det på tidligere tidspunkt ville vært oversvømt av havet. På 12-15 moh. kan det ikke ha vært bosetting før seinneolitikum/bronsealderen på samme grunnlag. Sammen med typologiske tolkninger av materialet og dateringene fra C14 metoden ser dette ut til å stemme overens.



Figur 50. Strandlinjekurve ved tuft. Figur av Eystein Østmoe, NTNU Vitenskapsmuseet

Lokalitet 1 ville hatt en strandlinjekurve på ca. 22 meter da eldste datering av kulturlaget er datert (ca. 5980 – 5850 f. Kr.). Den mulige tuften ligger også på ca. 22 m.o.h. Den yngste datering ved tuften dateres til 5700 – 5632 f. Kr., da strandlinjen ville vært ca. 20-21 m.o.h. Det at kulturlaget akkurat her ikke har noen yngre dateringer, tyder på at de var svært avhengige av å være nær stranden. Selv om den på 300 år ikke sank mer enn 1 meter, kan det tyde på at dette var nok til at man fant seg et annet sted å være. Det virker urimelig å tro at de bodde helt nede i strandkanten, og en regner vanligvis med ca. 2 meter fra strandlinjen til bosted/aktivitetsområdet. Den eldste datering er gjort på furu (Pinus) som kan ha en høy egenalder, og gi en eldre datering enn da den faktisk ble brent. De to andre dateringene herfra er nærmest identiske med en differanse på 30 år, og kan dermed støtte opp under et enda kortere aktivitetsperiode med strandlinjen maks 2 meter, men muligens noe mindre unna.

Lokalitet 2a ligger på en høyde fra 15 – 18 m.o.h. Kokegropen/avfallsgropen (Id599) helt vest i feltet er datert til 4100-3700 f. Kr. med 4 ulike dateringer. Denne ligger på 17 m.o.h. 17 meter over havet gir en datering til 14C år 5100 BP som er tidlig TN (5230 – 4700 BP = 4000 – 3300 f. Kr.). Det virker da klart at denne kokegropen/avfallsgropen har ligget like ved vannkanten da den var i bruk.

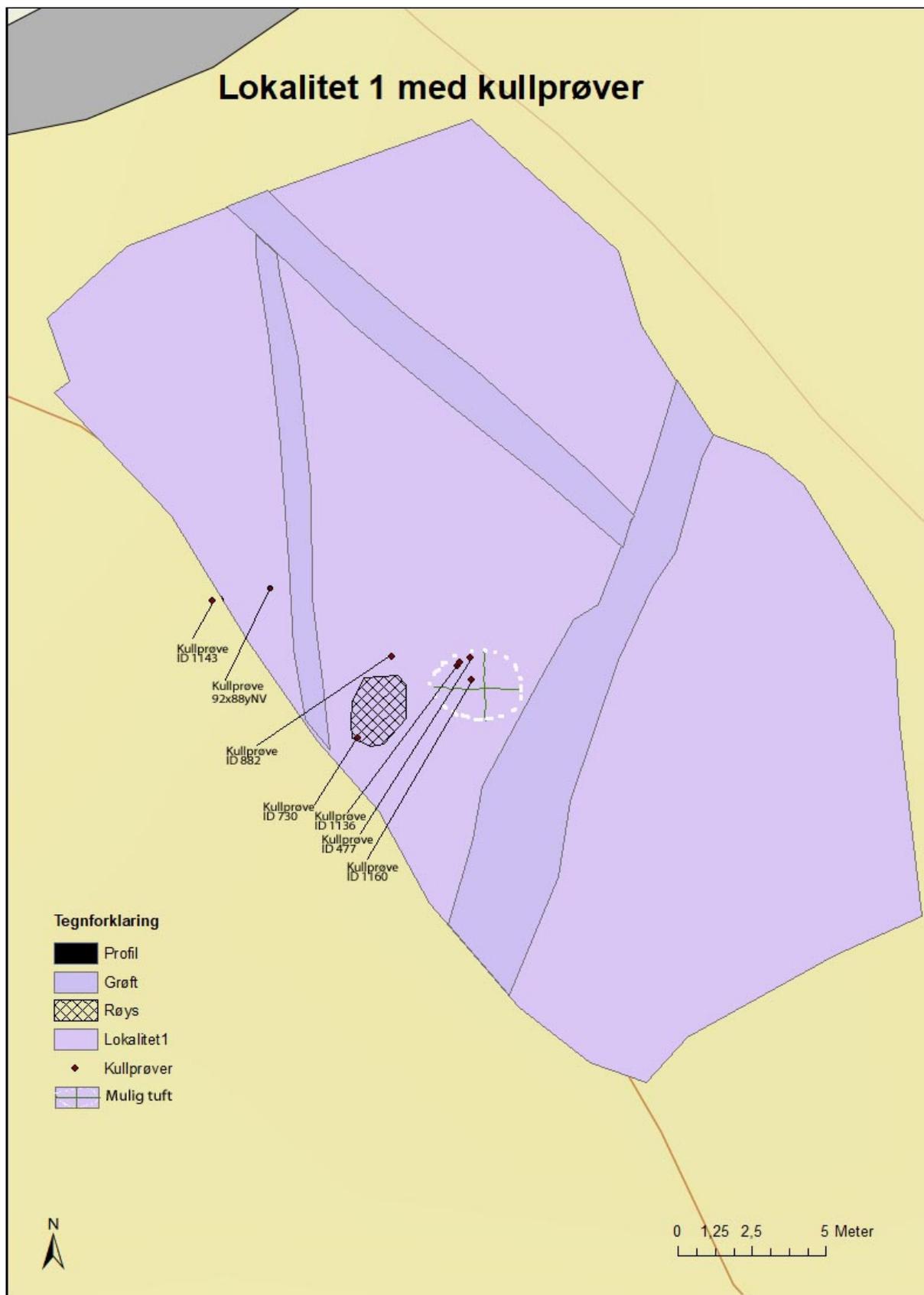


Figur 51. Strandlinjekurve ved kokegrop/avfallsgrop 599. Figur av Eystein Østmoe, NTNU Vitenskapsmuseet

Ellers er det ingen strukturer eller aktiviteter som strandlinjedateringen kan hjelpe med på lokalitetene.

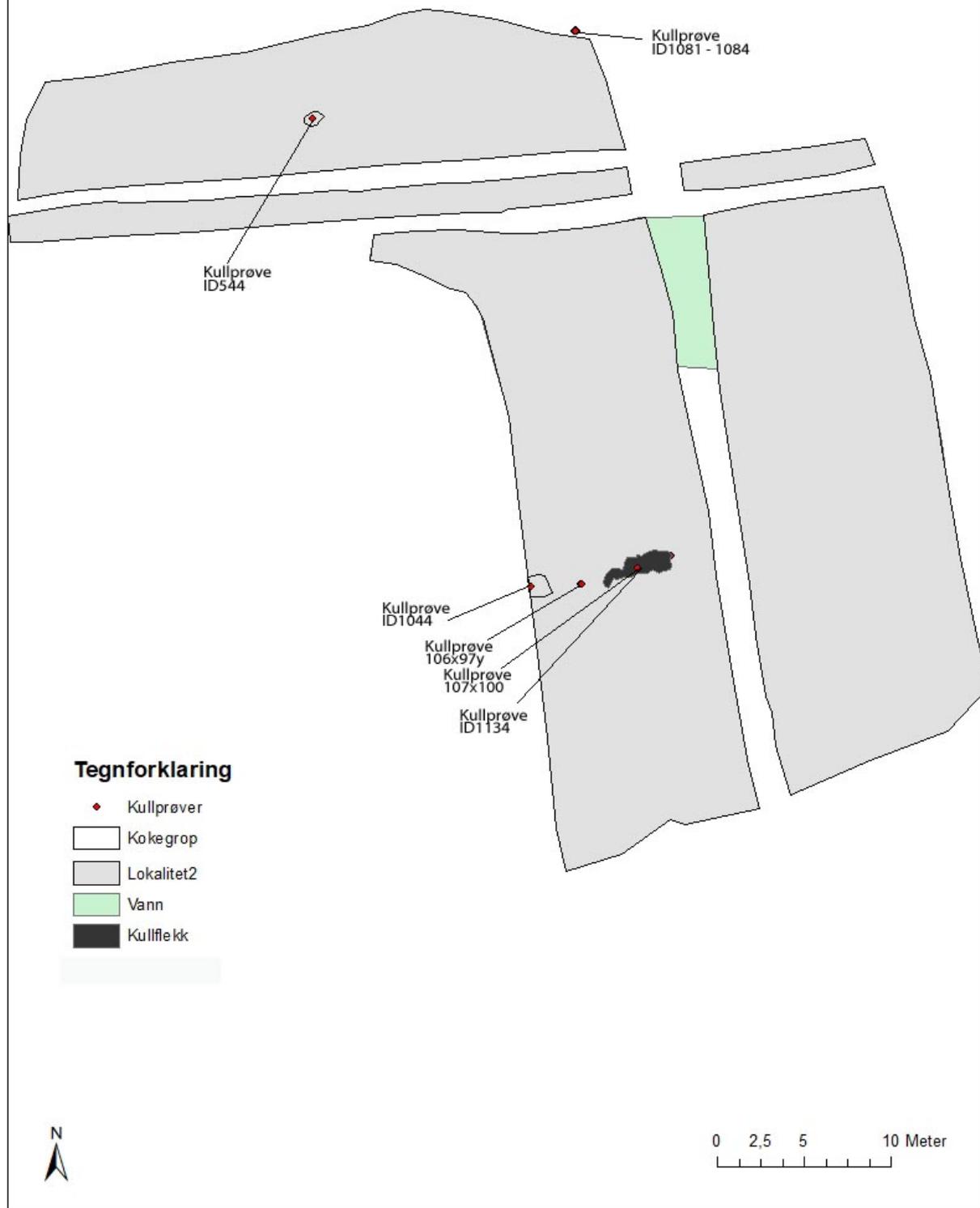
C14 dateringer

Det ble sendt inn totalt 17 prøver til C14 datering. Disse bestod av både kullprøver og hasselnøttskall funnet i gode kontekster. Prøvene var tatt fra steinalders kulturlag, dyrkingslag, kokegrop og rydningsrøyser.

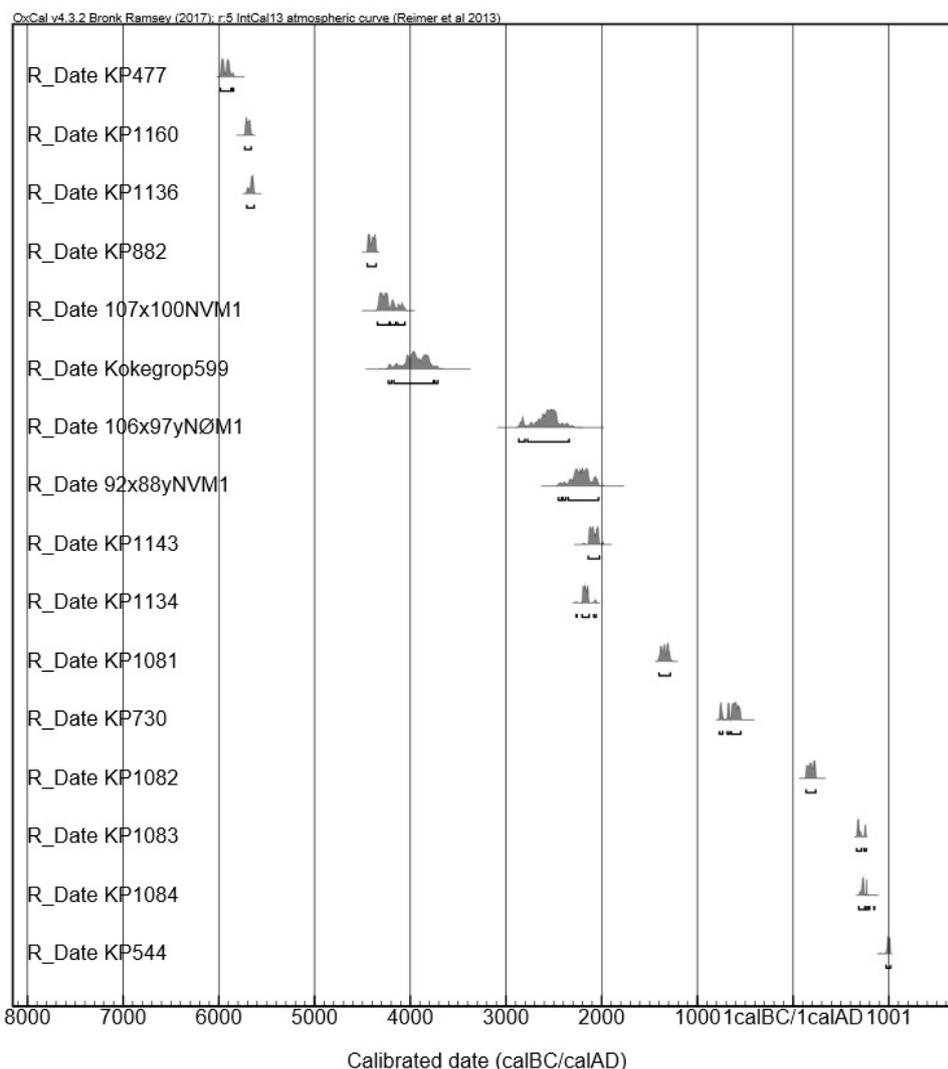


Figur 52. Lokalitet 1 med kullprøver. Figur av Eystein Østmoe, NTNU Vitenskapsmuseet

Lokalitet 2 med kullprøver



Figur 53. Lokalitet 2 med kullprøver. Figur av Eystein Østmoe, NTNU Vitenskapsmuseet



Figur 54. OxCal-plot. Dateringer kronologisk samlet. Figur av Eystein Østmoe etter Bronk Ramsey 2009 (OxCal 4.2, IntCal13)

Resultater:

Prøveresultatene ble katalogisert hos NTNU Vitenskapsmuseet og fikk numrene T27565:1164 – 1180. En mer utfyllende tabell over dateringene finnes i vedlegg 4. En del av resultatene er allerede blitt nevnt ved gjennomgang av strukturene.

Dateringene spredte seg fra senmesolittisk tid til vikingtid. Samlet sett på begge lokaliteter samlet dateringene seg hovedsakelig om fire større aktivitetsperioder:

Periode 1: Senmesolittikum

Periode 2: Overgang senmesolittikum – neolittikum

Periode 3: Mellomneolittikum – senneolittikum

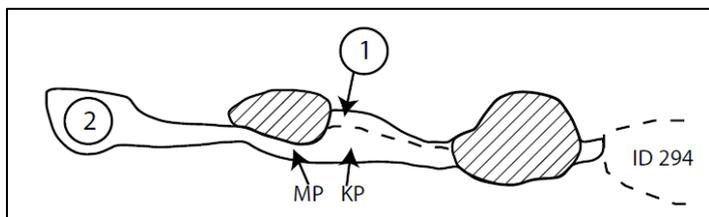
Periode 4: Merovingertid – vikingtid

Noen dateringer er for seg selv, og kan muligens forklares:

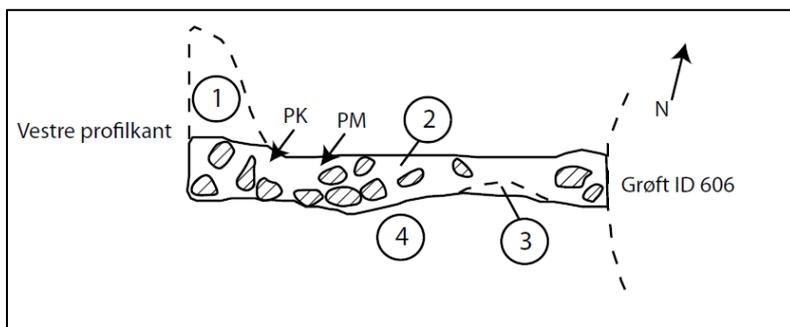
KP1081 og KP1082 er de to øverste dateringene i profil nord på felt 2B, og viste eldre dateringer enn KP1083 og KP1084 som var tatt lenger ned (bilde av profilen figur 55). Dette viser at lagene er forstyrret, enten av jordsig eller annet. KP1081 og KP1082 kan være resultater av menneskelig aktivitet, men de er ute av kontekst og kan dermed ikke si noe om den menneskelige aktiviteten i området. KP730 er prøven tatt av laget direkte under røys 142, og gir en bakre grense for når røysen kan ha blitt lagd, men daterer ikke røysen.



Figur 55. Nordre profil på Lok. 2b, prøveuttaking i dyrkingslag. De største hullene viser til uttak av makroprøver, de nest største kullprøver, og de små hullene til venstre i bildet viser hvor pollenprøvene ble tatt ut. Da61926_007. Foto: Elisabeth Forrestad Swensen, NTNU Vitenskapsmuseet



Figur 56. Kokegrop 322, med kullprøve (KP) 544, og makroprøve (MP) 545 (se vedlegg «Rentegninger» for mer detaljer). Figur av Elisabeth Forrestad Swensen, NTNU Vitenskapsmuseet



Figur 57. Kokegrop 599 med kullprøve (PK) 1044, og makroprøve (PM) 1045 (se vedlegg "Rentegninger" for mer detaljer). Figur av Elisabeth Forrestad Swensen, NTNU Vitenskapsmuseet

4.3.2 Makrofossilprøver

Det ble til sammen tatt ut 35 makrofossilprøver, og av disse ble 19 stykker sendt inn til analyse. Prøvene ble analysert av Annine Moltsen ved Miljøarkæologi i København. Prøvene som ble utvalgt til analyse kom fra blant annet kokegrop, rydningsrøyser, dyrkingslag og kulturlag.

Tabell 21. Innsendte makroprøver.

Prøvenr./ T.nr.	Lokalitet	Strukturnr.	Volum liter før og etter preparering	Innhold	Generelt	Ubrente frø
478/ T27565:1186	1	(Kulturlag) 91x 97y NØ, lag 3000, mek. 1	1300/20		xxx + kviste, r	Hasselnød, Hassel (<i>Corylus avellana</i>) 1f
545/ T27565:1187	2B	Kokegrop 322	900/400	Ildskørnede sten (x)	xxx s+let r	
731/ T27565:1188	1	Røys 142, lag 1 øverst	2000/40	Cenococcum x	x s	
743/ T27565:1189	2A	Snitt 722, grøft 642	2110/15		xxx r	
839/ T27565:1190	2B	Røys 332, øvre dyrkingslag	1360/15	Hvidbrændt knogle 1f Forglasset ler 1	xxx r	Byg, (<i>Hordeum vulgare</i>) 1
840/ T27565:1191	2B	Røys 332, svart nedre dyrkingslag	1550/25		xxx r	
1018/ T27565:1192	2A	Snitt 1014, grøft 823	1680/5	Strå (x) Dafnie 1	xxx s+ enkelte let r	Hedelyng 1 f kvist Hasselnød, Hassel 1f (<i>Corylus avellana</i>)
1023/ T27565:1193	2A	Snitt 1019, grøft 801	1500/20		xxx r+s	
1045/ T27565:1194	2A	Kokegrop 599	1100/20		xxx r	Hasselnød, Hassel 18f (<i>Corylus avellana</i>)
1077/ T27565:1195	2B	(Dyrkingslag) Nordre profil, lag 2	1520/30		xxx r	Hasselnød, Hassel 1f (<i>Corylus avellana</i>)
1078/ T27565:1196	2B	(Dyrkingslag) Nordre profil, lag 3 topp	1450/25		xxx r	
1079/ T27565:1197	2B	(Dyrkingslag) Nordre profil, lag 3 bunn	1490/10		xxx r	Hasselnød, Hassel 1f (<i>Corylus avellana</i>) Korn sp. 1f
1080/ T27565:1198	2B	(Dyrkingslag) Nordre profil, lag 4	1700/17		xx r	Cf. Lav Ranunkel, Krypsoleie, (<i>Ranunculus cf. repens</i>) 1 Sambladet Vejbred, Smalkjempe, (<i>Plantago lanceolata</i>) 1
1137/ T27565:1199	1	(Kulturlag) 89x 95y NV, mek. 2	1070/50	Ildskørnet sten	xxx s	Hasselnød, Hassel (<i>Corylus avellana</i>) 1f

Prøvenr./ T.nr.	Lokalitet	Strukturnr.	Volum liter før og etter preparering	Innhold	Generelt	Ubrente frø
1138/ T27565:1200	1	(Kulturlag) 92x 86y SØ, mek. 1	1250/5	Rødbrunt brændt ler (x)	xxx + kviste r	
1144/ T27565:1201	1	(Kulturlag) Profil vest, lag 6 (3000)	900/8		xx + strå r	Hasselnød, Hassel (<i>Corylus avellana</i>) 9f, Hæg, Hegg (<i>Prunus padus</i>) 1f
1145/ T27565:1202	1	(Steinalder uten kulturlag) Profil vest, lag 7 (4000)	1180/1		x s+r	
1147/ T27565:1203	1	(Dyrkingslag?) Profil vest, lag 4	850/12	Cenococcum x	xx r	
1161/ T27565:1204	1	(Kulturlag) 89x 95y NV, mek.4	1030/70		xxx r + enkelte s	

(Fra rapporten): I tabellerne er indholdet af komponenter der er estimeret angivet med x-xxx, hvor xxx=alt i prøven og (x) =kun enkelte. S=skarpkantede, r=afrundede. Cf. Angiver at den mest ligner den angivne art. Sp.=en art inden for slægt eller familie.

En del av resultatene er omtalt under gjennomgangen av strukturene. Det ble i prøvene funnet mye spor etter hassel og hasselnøttskall. Særlig i den neolittiske kokegropen (ID599) og kulturlagene fra mesolittikum finnes dette, men også i kontekster fra senere tid.

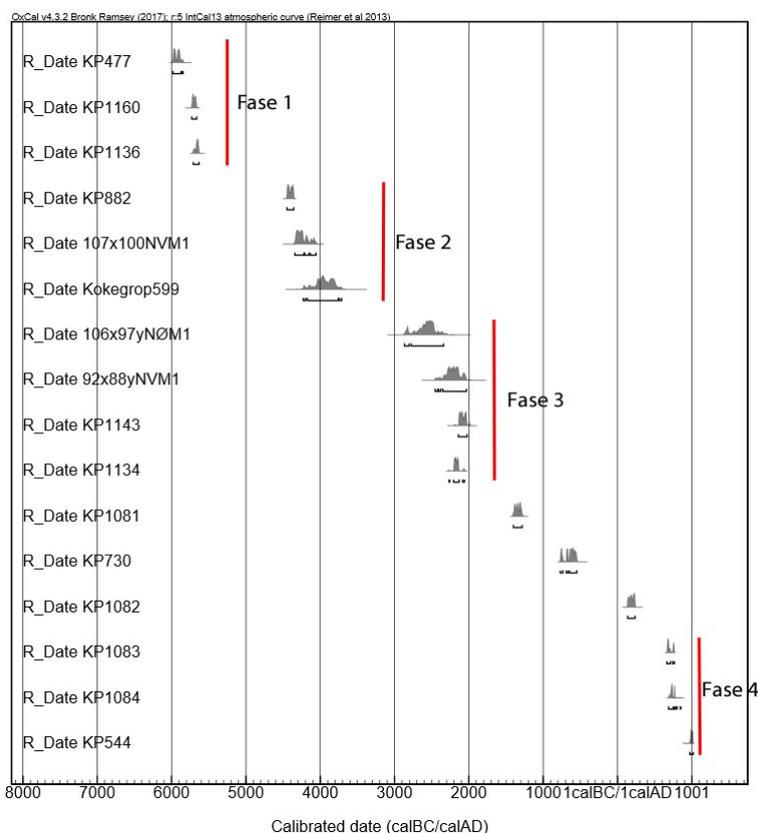
Mikromorfprøvene og pollenprøvene ble ikke sent inn til videre undersøkelse.

Mikromorfologiprøvene ble tatt fra profilen som viste en omvendt stratigrafi, og ble vurdert for usikre til å gi noen gode resultater. Den største pollen-søylen ble tatt fra samme profil, og ble likeledes vurdert til for usikker.

5. Resultater

Litlvika ligger i en lun vik på Bergsøya, skjermet for hardt vær og vind. Lokalitetene ligger vestvendt, og det har også vært lune beskyttede boplasser her også i forhistorien. Undersøkelsene gav et bilde av en mangeartet bosetning fra senmesolitikum og fram til i dag. På lokalitet 1 har det vært steinalderbosetting, og på lokalitet 2 kan bosettingen følges fra tidligneolitikum og fram til i dag. Mange moderne grøfter, omrotede lag og naturlige forstyrrelser som vannfar gav en noe fragmentert helhet, og begrenset undersøkelsen i noen grad. Allikevel bidro de også til en større forståelse av bosettingsprosessene, hvor vannfarene kan ha hatt noe å si for jordbruket med hensyn for tilgangen til ferskvann, og grøftene viser til senere tids bruk av området.

5.1. Datering og bosetting over tid.



Figur 58. Kronologisk oversikt over kullrøvedateringer inndelt i faser. Figur av Eystein Østmoe etter Bronk Ramsey 2009 (OxCal 4.2, IntCal13)

Hvis man ser lokalitetene under ett, så kan man ut ifra gjenstandsanalyse og prøveresultater begynne å trekke ut perioder da det har vært aktivitet på de undersøkte lokalitetene. Sporene etter disse aktivitetene er sparsommelige, og kan bare gi visse pekepinn på hva som har foregått her. At det har foregått aktivitet i en periode i Litlvika, utelukker ikke at det har foregått aktivitet i andre perioder som vi ikke har spor etter. De kan ha foregått andre steder, eller sporene kan av ulike årsaker være borte.

Fase 1.

- Senmesolittisk bosetting i en kort periode. (5730 – 5630 f .kr.) Lokalitet 1.

Det funnførende gruslaget som ble beskrevet i registreringsrapporten ble funnet etter avdekking, og deler av det ble tolket som kulturlag med mye kull og fettete materiale. Dette kulturlaget ble avgrenset naturlig i sør og vest av en bekk/veite som kom, og forsvant også mot nord. Mot vest gikk det en grøft, og selv om funnmengden så ut til å avta startet den opp igjen på vestsiden av grøften. Dette fortsatte videre inn i profilen og ut av lokalitetsgrensen, og ble dermed ikke avgrenset. Området med kulturlag var ca. 6*5 m. på østsiden av grøften og 3*2 m. på vestsiden. Funnmaterialet her peker i all hovedsak på senmesolittikum med mye lite og fragmentert materiale, der mikroflekker og bipolare kjerner er dominerende. Platekniven herfra er typisk sm, og slipeplatene har også størst utbredelse i sm.

C14-dateringene støtter tolkningen av materialet som senmesolittisk, og har en svært samlet datering på prøvene herfra (bortsett fra KP882 som er fra fase 2). Standlinjekurven viser at aktivitetsområdet her må ha vært strandlinjebundet, og ligget ikke langt fra strankanten.

Fase 2.

- Overgang senmesolittisk – tidligneolittisk aktivitet. (4500 – 3700 f. Kr.)

Det er tre C14-dateringer som går innenfor denne fasen. Den eldste er på lokalitet 1, og er av kulturlaget i mekanisk lag 1 fra et hasselnøttskall datert ca. 4450-4360 f. Kr. Dette kan i så fall være kulturlag fra en noe senere aktivitet på lokalitet 1, eller være kommet til via vann, jordsig eller annen måte.

De to andre dateringene er fra lokalitet 2a, der kokegropen/avfallsgropen innholdt mye hasselnøttskall, og tre prøver ga en samlet datering på 4230 – 3780 f. Kr. (To av de lå på rundt 3700 f. Kr, mens den siste var mer sprikende). Den siste prøven ble tatt tre meter øst for kokegropen/avfallsgropen og er fra mekanisk lag 1, og er datert til ca. 4350-4050 f. Kr. Dette var også datert av hasselnøttskall. Det virker nokså rimelig at denne siste prøven er kommet fra kokegropen eller fra et aktivitetsområde knyttet til denne høyere opp (hvor det moderne huset nå står), og er blitt ført ned dit av sannsynligvis vann. Det er en viss helning fra vest mot øst, så vanngjennomstrømmingen har nok til tider vært stor.



Figur 59 Renne med de to dateringene. Da61938_001. Kart av Eystein Østmoe, NTNU Vitenskapsmuseet

I kokegropen/avfallsgropen fantes den slipte vespestadøksen i porfyr. Typen dateres til TN, og bekrefter tolkningen av dette som en tidligneneolittisk grop. Det ble funnet 91 littiske funn i gropen, derav noe bergart og 4 skifer. Introduksjonen av skifer som råstoffmaterialet kommer til Møre og Romsdal i TN, så ingenting av det littiske materialet motsier at dette er en TN kokegrop/avfallsgrop. I TN ville kokegropen/avfallsgropen vært nær strandkanten.

Fase 3.

- Mellom og senneolittikum (2800-2000 f. Kr)

Det er en datering til mellomneolittikum, og det er et hasselnøttskall tatt fra mekanisk lag 1 på lok 2a, datert med en ganske vid datering til 2800-2300 f. Kr. Denne kommer også fra «rennen» og ligger 2 meter øst for kokegrop/avfallsgropen ID599. Den rombiske skiferspissen (figur 43) er også fra MN, og ble funnet ved opprensing sør på felt 2a.

En C14-datering fra senneolittikum, er et hasselnøttskall fra mekanisk lag 1 fra lokalitet 1 som har en datering til 2351-2033 f. Kr. Dette er fra kulturlaget fra andre siden av grøften av «hovedfeltet», nær profilveggen mot vest som ikke ble avgrenset. Det er ikke umulig at dette er et kulturlag fra SN, men materialet funnet her har ingen tidstypiske MN/SN artefakter. Derfor kan dette være et hasselnøttskal som har kommet ned fra lag over, og forstyrret laget senere. Et stykke unna, men på samme lokalitet ble skiferspissen med rombisk tverrsnitt datert til MN funnet ved registreringen, så noe aktivitet er det her i MN også.

De resterende to dateringene fra SN er fra henholdsvis 2140-2023 f. Kr, og 2206-2059 f. Kr. Den ene er fra lokalitet 1 som daterer et kullag i profilen over det mesolittiske gruslaget. Det andre er fra bunnen av rennen på lokalitet 2a, der et større kullag så ut til å ligge in situ i ca. 4*1 meters lengde, og hadde en dybde på 1-10 cm. Makroprøven direkte under kullaget på lokalitet 1 inneholdt trekull, noen brente hasselnøttskall og brent strå som tydet på en avsviing av området (Moltsen, 2017, s. 8).

Det er en mulighet at disse to kullagene representerer en avsviing av vegetasjon for å åpne opp området for beiting. En slik avsviing av områder er ikke uvanlig i SN, og Asle Bruen Olsen skriver at på Vestlandet er de tidligste jordbrukskontekster datert til MNB og SN, og består av 1-5 cm sterkt kullholdige sjikt og større (5-20 cm) humusholdige åkersedimenter (s. 136, 2013). På Ormen Lange prosjektet observerte man også at rydding av områder og en overgang til jordbruk på tidligere mesolittiske boplasser i MNb, og SN (Bjerck et.al 2005).

Av gjenstandsfunnene er det den uferdige flateretusjerte pilspissen fra lokalitet 2a som mest passer inn i senneolittikum. Dette var et løsfunn funnet ved avdekking, og funnet der «rennen» gikk. I SN ville strandlinjen vært på ca. 10 meter (2000 f. kr.), og ligge 35 meter unna dette funnet. En skafthulløks er også blitt funnet i Lillevika før (T16593), og disse dateres av Ramstad (1999) til SN etter hans gjennomgang av alle de neolittiske øksetypene på Møre.

Fase 4.

- Merovingertid – vikingtid (665-1020 e. kr.)

Fra registreringen ble det datert to kullprøver fra dyrkningslag sør på felt 2, der begge daterte seg til merovingertid – vikingtid (720-895 e. Kr. og 770-965 e. Kr.). I profil nord på felt 2b, ble også de to nederste prøvene av dyrkningslaget datert til 665 – 765 e. Kr, og 687 – 852 e. Kr. Selv om prøvene tatt over disse viste eldre resultater, kan de nederste prøvene være fra en mer sikrere kontekst. De ser i hvert fall ut til å passe godt inn med hva som ble funnet på registreringen. Kokegropen på felt 2b ble også datert til vikingtid (973 – 1024 e. Kr.).

Av gjenstandsmaterialet som ble tatt inn, er det først og fremst bakstehella som kan sees på som en gjenstand fra denne fasen. Denne har en datering til vikingtid-middelalder. Den ble funnet i mekanisk lag 1, også i «renna» på lokalitet 2a. "

Fra før var det også funnet en oval, enkel skålspenne fra vikingtid ca. 250 meter nord for våre lokaliteter.

Bosetting og erverv

Resultatene kan tolkes dithen, at det i mesolittikum og inn i tidligneo-littikum har vært viktig at bosettingen/aktivitetsområdet har vært nær sjøen. Den tydelig strandnære mulige tuften med kulturlag har vært mest aktiv i en liten del av senmesolittikum, og har ikke hatt en slik aktivitet etter at standlinjen flyttet seg nedover i løpet av hundreårene. Kokegropen/avfallsgropen vest på felt 2a må også ha vært helt nede ved sjøen, og det kan tenkes at det har vært en boplass direkte mot vest der det moderne huset nå står. En slik strandnær bosetting må sees i forhold til at ervervet og kommunikasjonen har vært sterkt knyttet til sjøen.

Gjenstandsmaterialet med pilspissene og mikroflekkene, og strandnærheten peker mot at dette har vært en fangst og fiskebosetting i senmesolittikum og tidlig/mellomneolittikum.

I senneolittikum er det mer et åpent spørsmål hvor man hatt tilhold, og hvordan dette har artet seg. Avsviing av vegetasjon, skafthulløksa og den påbegynte flateretusjerte pilspissen kan knyttes til at det er en jordbruksbosetting her i SN. Fra Hamna på andre siden av øya ble det funnet store kulturlag med mye husdyrbein som viser at husdyrholdet har kommet til øya i denne perioden (Søborg 1989). Og det er sannsynlig at det først og fremst husdyrhold, kanskje med kombinasjon med fiske som er leveveien her i SN.

Det som ser nokså sikkert ut, er at det fra merovingertid/vikingtid kommer en fast gårdsbosetting her. Både store dyrkningslag over større område, kokegrop, gjenstander og gravrøys hvor antageligvis noen fra gården har blitt gravlagt, peker mot en fast gårdsbosetting her. Det er først i denne perioden vi ser tydelig spor etter korndyrking. Bare et korn er funnet i makroprøvene, og det var fra et byggkorn i et av dyrkningslagene fra en av rydningsrøysene (ID322). Bakstehella som ble funnet var jo til å lage flatbrød fra bygg og havre, så det kan jo peke på at bygg var en viktig del av kosten (selv om et korn gjør ingen åker). Rydningsrøysene er ikke datert, men med en bakre alder på den ene til 770-547 f. kr., er sannsynligheten stor for at de er fra jernalderen.

Bolig og opphold.

Vi vet at det utover i steinalderen er en økt tendens til bofasthet med større og mer permanente strukturer. Det finnes allikevel store forskjeller i størrelse, varighet og hvordan en struktur er oppbygd. Kulturlaget som ble observert er et typisk vestnorsk kyst-fenomen, og blir ofte tolket som basestasjon for en jeger/fiskergruppe for et bredt spektrum av aktivitet (Fretheim 2017, s. 79). Hvis vi skal se gropen som ble observert på lokalitet 1 som en boligstruktur, vil dette ha vært en lettere struktur for sannsynligvis maks en familie, hvis man skal dømme etter størrelse og type struktur. Det kan ha vært brukt som en sesongboplass, men trenger ikke ha vært i aktivt bruk for mer enn noen generasjoner.

At det har vært aktivitet her også i TN synes klart. Om dette har vært helårsbosetting, og i hvilke strukturer de så har bodd i er utifra materialet vanskelig å si noe om. Kokegropen/avfallsgropen kan si noe om at de har begynt å rydde området i og rundt en boligstruktur (hvis dette er en kokegrop brukt som avfallsgrop, eller bare som en avfallsgrop).

I SN så er det mulig husdyrbruk har kommet inn, og dermed også kanskje en endret boligpraksis. De toskipede husene er vanligvis sterkt knyttet til jordbruksbefolkningen, og disse blir vanlige på Vestlandet i SN (Olsen 2013, s. 132). Det ble ikke observert noen stolpehull av noe slag på noen av lokalitetene, så det har sannsynligvis ikke stått noen hus med stolper akkurat der våre lokaliteter er, men muligens i nærheten.

I løpet av sen merovingertid og vikingtid var det en stor befolkningsøkning, og det fant sted en ekspansjon på steder som ble ryddet og bebodd. «Beiteområder og skogvokste strekninger ble mange steder fast bosatt, ryddet og dyrket for første gang» (Øye 2002:216). Et slikt sted kan ha vært Litlevika. Det er også sannsynlig at gården kan ha ligget der den ligger i dag, hvis dette har vært en god flate å bygge på. Kontinuitet i plasseringen av gårdshusene er noe som kommer inn i løpet av jernalderen.

5.2 Samlet vurdering

Litlvika viser spor etter menneskelige aktiviteter i et tidsspenn på 8000 år. De tydeligste aktivitetene er de aller eldste fra senmesolittikum, og dyrkningslagene fra vikingtid. I andre perioder har sporene en mer fragmentarisk karakter. Antageligvis har Litlvika vært en velegnet plass for å slå seg ned i god ly for vind og sjø allerede tidlig i steinalder, da landstigningen gjorde Litlvika til en egnet vik å slå seg ned på. Det finnes flater sør for gården opp til 50 meter som ville vært velegnet for en tidligmesolittisk gruppe å slå leir på. Det er ikke umulig at en del av det vannrullede materialet på lokalitet 1 stammer herfra, da flatene ligger ganske direkte over denne.

I et overordnet perspektiv så fletter sporene i Litlvika seg inn ganske godt inn i det vi allerede vet om forhistorien på Bergsøya og i Møre og Romsdal. De holder seg nært strandkanten i senmesolittikum og produserer et kulturlag som er ganske typisk for en del boplasser i senmesolittikum, som det også var på Jelkrem (Søborg 1989). Vi har spor etter aktivitet i hele neolittikum, men en endring i erverv kan først anes i senneolittikum med brannlag, og flateretusjert spiss og skafthulløks som spor etter en endring til en bondebefolkning med husdyrhold. På Ytter-Hamna har man spor etter dyrning av jorda fra overgangen senneolittikum-bronsealder (Lorentzen 2012), og på Hamna spor etter husdyrhold i senneolittikum (Søborg 1989). Det er få spor etter mennesker fra bronsealderen og eldre jernalder på våre lokaliteter, men det utelukker absolutt ikke at det har vært folk her da også. De tydeligste sporene er spor som kommer inn på slutten av merovingertid, og dette kan være de første sporene etter den moderne gården på stedet.

6. Litteraturliste og vedlegg

Litteraturliste

Ballin, T. B. 1996. *Klassifikaasjonssystem for stenartefakter*. Varia 36. Oslo: Universitetets Oldsaksamling.

Bjerck, H. B., Åstveit, L. I., Gundersen, J., Meling, T., Jørgensen, G., & Normann, S. 2008. NTNU Vitenskapsmuseets arkeologiske undersøkelser Ormen Lange Nyhamna. *Tapir Akademisk Forlag, Trondheim*.

Fretheim, S. 2017. *Mesolithic dwellings. An empirical approach to past trends and present interpretations in Norway*. NTNU Vitenskapsmuseet Trondheim.

Helskog, K., Indrelid, S. og Mikkelsen, E. 1976. *Morfologisk klassifisering av slåtte steinartefakter*. Universitetets Oldsaksamlings årbok 1972-1974, s. 9-40.

Henriksen, J. E. 2016. *Kultur møte og identitet på Finnmarkskysten i tidlig historisk tid. Tolkninger basert på arkeologiske analyser av mangeromstufter*. PhD avhandling: UiT, Norges arktiske Universitet.

Leivdal, N. T. 2009. *Gards og ættesoge for Gjemnes*. Bind 8. Sunndalsøra: Gjemnes Kulturstyre.

Lorentzen, A. B. 2012. *Rapport Ytter-Hamna, Gjemnes, Møre og Romsdal, 2012*. NTNU Vitenskapsmuseet Trondheim.

Moltsen, A. S.A. 2017. *Makrofossilanalyser fra Litlvika, Bergsøya, Møre og Romsdal. NOK-rapport nr.18-2017*.

Olsen, A. B. 2013. *Jordbrukskulturens pionertid på Vestlandet. Hus, åker og territorialitet*. Universitetet i Bergen.

Ramstad, M. 1999. *Brytninga mellom nord og sør. En faghistorisk og lokalkronologisk studie over Møre i Yngre Steinialder*. Hovedfagsoppgave. Universitetet i Bergen.

Sanden, G. D., Frei, E. H. og Dahle, K. 2016: *Arkeologisk rapport 2016, Litlvika-Bergsøya. Litlvika, gbnr. 48/2 i Gjemnes kommune*. Møre og Romsdal fylkeskommune.

Sauvage, R. 2016: *Prosjektplan for arkeologisk utgravning. Søknad om dispensasjon fra kulturminneloven §8.1 drenering av landbruksjord på gnr 48/2*. NTNU Vitenskapsmuseet Trondheim.

Søborg, H.C. 1989: *Foreløpig rapport*. Upublisert rapport. Hamna, Bergsøy. NTNU Vitenskapsmuseet, topografisk arkiv.

Øye, I. 2002. *Norges Landbrukshistorie. Bind 1. 1000 f.Kr-1350 e.Kr. Jorda blir levevei*. Oslo: Det Norske Samlaget.

Vedlegg

Vedlegg 1	Tegningliste
Vedlegg 2	Prøveliste
Vedlegg 3	Strukturliste
Vedlegg 4	Dateringer
Vedlegg 5	Rentegninger
Vedlegg 6	Fotolister
Vedlegg 7	Funnliste Lok. 1
Vedlegg 8	Funnliste Lok. 2
Vedlegg 9	Tilvekst

Tegningsliste

Tegningsnummer	Motiv	Dato/navn
1	Nordre profil, øvre/vestre sjakt lok 2b, tegning 1 av 3, 1:20	4/5-17, RC
2	Nordre profil, øvre/vestre sjakt lok 2b, tegning 2 av 3, 1:20	5/5-17, RC/EØ
3	Nordre profil, øvre/vestre sjakt lok 2b, tegning 3 av 3, 1:20	5/5-17, RC/EØ
4	Nordre profil, nedre/østre sjakt lok 2b, 1:20	9/5-17, RC
5	Kokegroper ID 322 og ID 599, plan og profil. 1:20	18/5-17 og 19/5-17, EFS
6	Grøft 626, snitt 718, plan og profil. 1:5	30/5-17, RC
7	Grøft 774, snitt 888, plan og profil. 1:5	30/5-17, RC
8	Grøft 642 med snitt 722, grøft 661 med snitt 819, grøft 684 med snitt 884 plan og profil. 1:5	30/5-17, HB
9	Grøft 758 med snitt 950 og grøft 823 med snitt 1014, plan og profil. 1:5	31/5-17, RC
10	Grøft 744 med snitt 946 og grøft 661 med snitt 1009, plan og profil. 1:5	31/5-17, HB
11	Grøft 801, snitt 1019, plan og profil. 1:5	31/5-17, RC
12	Grøft 997, snitt 1034, plan og profil. 1:5	31/5-17, RC
13	Grøft 919 med snitt 1024, grøft 966 med snitt 1029 og grøft 985 med snitt 1039, plan og profil. 1:5	31/5-17, HB

Innsendte prøver

ID	Type prøve	Kontekst	Lokalitet
478	Makro	(Kulturlag) 91x 97y NØ, lag 3000, mek. 1	1
545	Makro	Kokegrop 322	2b
731	Makro	Røys 142, lag 1 øverst	1
743	Makro	Snitt 722, grøft 642	2a
839	Makro	Røys 332, øvre dyrkingslag	Sjakt 2b
840	Makro	Røys 332, svart nedre dyrkingslag	Sjakt 2b
1018	Makro	Snitt 1014, grøft 823	2a
1023	Makro	Snitt 1019, grøft 801	2a
1045	Makro	Kokegrop 599	2a
1077	Makro	(Dyrkingslag) Nordre profil, lag 2	2b
1078	Makro	(Dyrkingslag) Nordre profil, lag 3 topp	2b
1079	Makro	(Dyrkingslag) Nordre profil, lag 3 bunn	2b
1080	Makro	(Dyrkingslag) Nordre profil, lag 4	2b
1137	Makro	(Kulturlag) 89x 95y NV, mek. 2	1
1138	Makro	(Kulturlag) 92x 86y SØ, mek. 1	1
1144	Makro	(Kulturlag) Profil vest, lag 6 (3000)	1
1145	Makro	(Steinalder uten kulturlag) Profil vest, lag 7 (4000)	1
1147	Makro	(Dyrkingslag?) Profil vest, lag 4	1
1161	Makro	(Kulturlag) 89x 95y NV, mek. 4	1
477	Kull	(Kulturlag) 90x 95y, mek. 1	1
544	Kull	Kokegrop 322	2b
730	Kull	Røys 142, lag 1	1
882	Kull	(Kulturlag) mek. 1	1
1081	Kull	(Dyrkingslag) lag 2	2b
1082	Kull	(Dyrkingslag) lag 3 topp	2b
1083	Kull	(Dyrkingslag) lag 3 bunn	2b

1084	Kull	(Dyrkingslag) lag 4	2b
1134	Kull	Lag 1046 kullfleck, fra profil	2a
1136	Kull	(Kulturlag) 89x 95y, mek. 2	1
1143	Kull	(Dyrkingslag) Profil vest, lag 5	1
1160	Kull	(Kulturlag) mek. 4	1
1044	Kull/ hasselnøtt	Kokegrop ID 599	2a
107x 100y NV, mek. 1	Hasselnøtt	«Renne»/mødding	2a
106x 97 y NØ, mek. 1	Hasselnøtt	«Renne»/mødding	2a
109x 108y NØ, mek. 1	Hasselnøtt	«Renne»/mødding	2c
92x 88y NV, mek. 1	Hasselnøtt	(Kulturlag) mek. 1	1

Strukturliste

ID	Tolkning	Beskrivelse	Lengde i cm	Bredde i cm	Dybde
142	Røys	Sirkulær i plan. Ligger på og i gammel markoverflate/torv. Under torven (lag 1) er det et lag med finere grå sand (lag 2) og under det funnførende kompakt gruslag. Er mer omrotet i sør, mulig på grunn av bekk. Profil: Ca. 175 lang, ca. 38 cm dyp. Tolkning: Rydningsrøys. Ligger bare som et lag stein oppå og i torv. Har endel store stein i vest, mindre i øst. Den rødbrune torven ligger som et belte på samme høyde. Sannsynligvis har man ryddet stein lenger ned og kastet steinen ovenfor der man dyrket. Den funnførende gruslaget med steinartefakter ligger under torvlag (lag 1) og et sandlag (lag 2). Det virker som det har gått ganske lang tid mellom boplass i steinalder og dyrking. Sannsynligvis jernalder engang. Den lå også nokså dypt (40-50? cm) under dagens overflate.	205	180	10
307	Lag	Rest av eldre dyrkingslag.			
322	Kokegrop	Rund til ujevn i flate, 85x75cm. Ca. 2-3 liter skjørbrent/varmepåvirket stein, med et gråbrunt siltholdig sandlag over et svart sandblandet kullag, løse masser. Profil: Rette sider, kuttet av moderne grøft 294 i øst, ujevn bunn på sand, gul sand undergrunn. Dypeste mål 10cm. Tolkning: Bunn av kokegrop, kun kullrand og noe varmepåvirket stein igjen. Formgravd, halvparten såldet (ingen funn), kullprøve og makroprøve tatt ut.	85	75	10
332	Røys	Funnet i øvre sjakt på lok. 2. Spredte steiner liggende i hellende terreng, under og i eldre dyrkingslag. Rund til uformelig i plan, ujevne sider, noenlunde flat bunn. Tolkning: rydningsrøys.			
351	Stein- gjerde	Mulig eldre steingjerde funnet rett under matjorden.			
375	Avskrevet				
479	Lag	Rest av eldre dyrkingslag, Lok. 1.			

599	Kokegrop	Ujevn i flate, da kuttet både av vestre profil og grøft 606. Kan ha vært rund. Brunsvart sandholdig grus med mye skjørbrønt og varmpåvirket stein, samt en del kull og flint, bergart, kvarts og bergkrystall og brent hasselnøttskall og brent bein. Funn: 27 bergart, 55 flint, 3 kvarts, 2 bergkrystall, 4 skifer, 1 slipt øks av porfyr. Profil: Begge sidene er forstyrret av profil og grøft, bunnen er svært ujevn. Tolkning: Mulig kokegrop eller avfallsgrop.	140	105	1
626	Grøft	Dark greyish brown silty sand with small pebbles inclusions and fine gravel. Occasional fleck of charcoal noted. From north to south grøft is narrowing. One fragment of flint found through sieving. Profil: Sides rounded at western end, flattening out at the eastern end. Bottom rounded and rising steeply to flat towards the east. Tolkning: Related ID 718	55	50	9
642	Grøft	Mørk gråbrun siltig sand. Noe stein, litt grus. 1 flintfunn. Noen få kullbiter i såldet. Tolkning: Relatert til ID: 722	40	40	7
661	Grøft	Gråbrun sandig silt. Lite kontrast til undergrunn. Mange kullflekker møt øst. Tolkning: Relatert til ID: 1009	30	70	14
684	Grøft	Veldig smal. Grå sand, litt kullbiter. Litt grus. Tolkning: Relatert til ID: 884	30	15	4
744	Grøft	To forsøkninger i samme grøft. Gråbrun sand. En klump med lys grå sand mot A, men mørkt fyll under. Tolkning: Relatert til ID: 744	40	70	7
758	Grøft	Blackish brown silty sand with gravel elements and occasional small stone. A few charcoal flecks noted. Mostly compact. Overlying a sandy deposit, both fine and coarse sand. Profil: In profile A-B the deposit has an elongated shape with gentle slopes at the eastern end. Similarly profile C-D is a thin elongated deposit with rather shallow slopes on the eastern side. In both profiles the western sides have a slightly steeper slope. Tolkning: Related ID 950	48	24	
774	Grøft	Rectangular. Blackish brown silty sand with elements of grus, some charcoal flecks noted, compact. Profil: Western side steep and sudden drop to a flat bottom. More gentle slope on eastern side. Tolkning: Related ID 888	50	40	
801	Grøft	Blackish brown sandy silt with small quantities of fine gravel. Compact and overlying yellowish sand. Profil: Profile A-B shows a shallow aspect of the fill, gentle slope on western edge while at the eastern end it is interrupted by a group of small stones and has an irregular edge. The bottom is mostly flat in aspect with a slight rounded form in the western half. Profile C-D is a regular and rounded in shape with a slightly steeper side in the west. Same material as profile A-B. Profile 1019. In plan the grøft narrows slightly from north to south, has an irregular wavy western edge and a slightly arching edge at the eastern end. A change of slope is noted in the south western corner where a small ridge dips steeply towards the bottom. From the eastern edge more shallow angled slopes towards the bottom except in the northwestern corner where small group of stones form the bottom of a slightly steeper slope.	35	25	
823	Grøft	Tolkning: Related ID 1014	36	24	
841	Grøft				
855	Grøft				
867	Grøft				
892	Grøft				

907	Grøft				
919	Grøft	Veldig dyp mot vest, veldig grunn mot øst. Gråbrun sand, litt grus. Tolkning: Relatert til ID: 1024	40	40	25
956	Grøft				
966	Grøft	Gråbrun sand. Tolkning: Relatert til ID: 1029			
985	Grøft				
997	Grøft	Blackish brown silty sand with small quantities of fine gravel. Compact. Profil: Profile AB has a flat and shallow aspect. Fill is interrupted in the eastern half, unclear whether easternmost portion is in fact another deposit. Profile CD has a flat and shallow aspect in the western half. Short drop in middle then continues with a shallow angle slope rising towards the east. Bottom of cut is rather irregular with a flat aspect in the western half, while the eastern half is dotted with small depressions and ridges. Tolkning: Related ID 1034	55	36	
1046	Kullfleck	Uformelig. Tydelig kullag med store kullbiter over et siltsandlag iblandet noe kull. Profil: Ingen tydelig form. Varierte fra 1 til 10 cm kull, og <10 cm siltsand under kullaget. Tolkning: Siltsanden har rester etter organisk masse og kan være rest av dyrkingslag. Samlet ser det ut til at lagene fyller opp søkk i terrenget. Gammelt bekkefar? Treverk er brent på stedet og har dannet et kompakt og rent kullag.			

Dateringer samlet

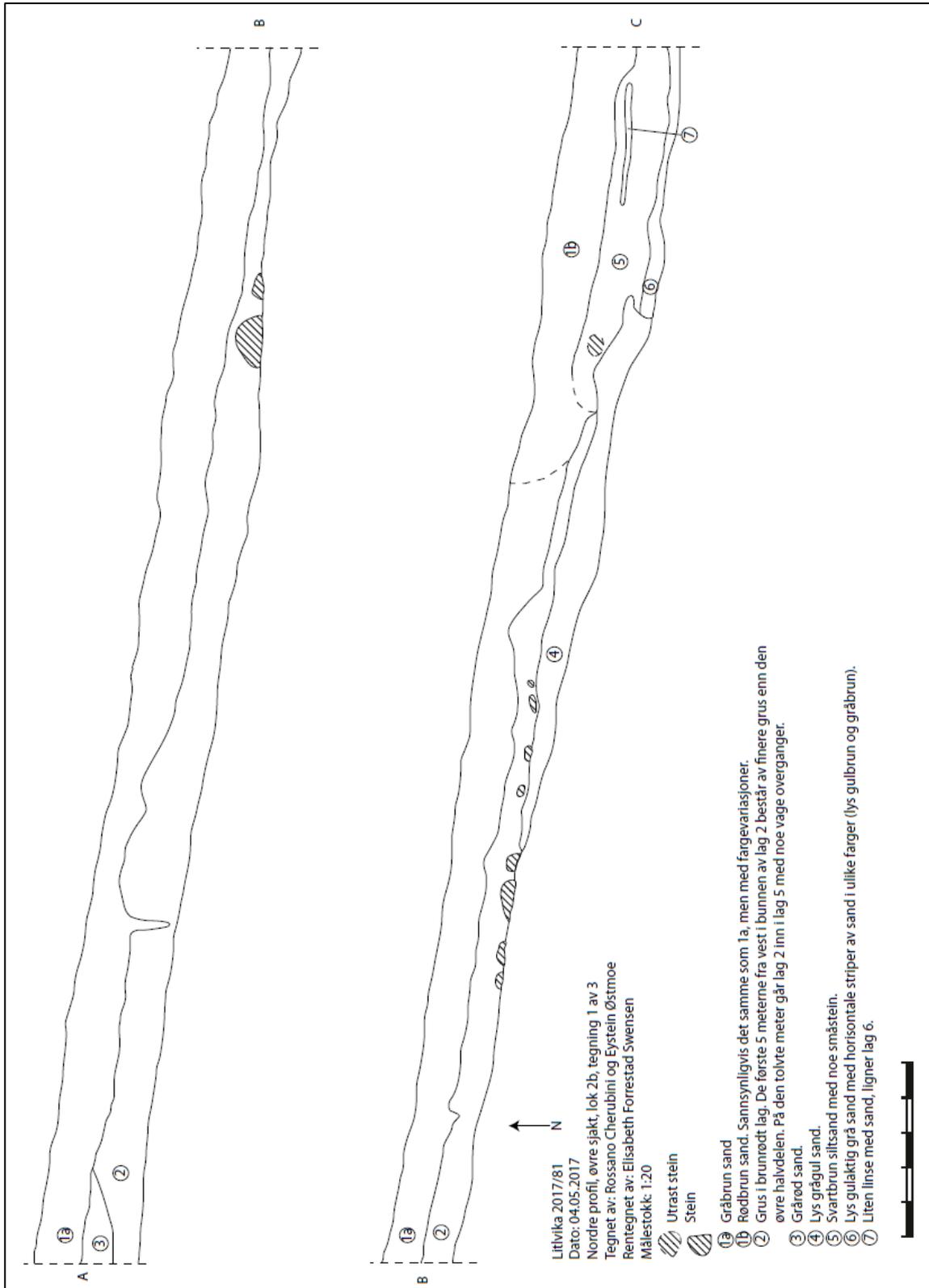
T-nr	Lab.id.	Kontekst	14C alder BP	Kalibrert alder	Materiale/treart	Prøve ID
T27565:1164	TRa-12135	90x 95y, lag 3000, mek. 1	7021 +20/-20	68.2% probability 5977BC (33.9%) 5948BC 5920BC (34.3%) 5891BC 95.4% probability 5984BC (91.6%) 5873BC 5861BC (3.8%) 5847BC	Trekull/Furu	KP 477
T27565:1165	TRa-12136	Kokegrop 322	1055 +14/-14	68.2% probability 986AD (68.2%) 1015AD 95.4% probability 973AD (95.4%) 1020AD	Trekull/Hasselkvist	KP 544
T27565:1166	TRa-12137	Røys 142, lag 1	2501 +13/-13	68.2% probability 764BC (10.1%) 749BC 684BC (10.9%) 668BC 641BC (36.5%) 588BC 579BC (10.7%) 561BC 95.4% probability 770BC (17.6%) 736BC 689BC (15.4%) 663BC 648BC (62.3%) 547BC	Trekull/Hasselnøtt	KP 730
T27565:1167	TRa-12138	Fra ID 3000, mek. 1	5565 +14/-14	68.2% probability 4446BC (30.8%) 4420BC 4400BC (37.4%) 4362BC 95.4% probability 4449BC (95.4%) 4357BC	Trekull/Hassel og Or	KP 882
T27565:1168	TRa-12139	Nordre profil, lag 2	3072 +14/-14	68.2% probability 1391BC (18.7%) 1371BC 1360BC (23.3%) 1336BC	Trekull/Hasselnøtt	KP 1081

T-nr	Lab.id.	Kontekst	14C alder BP	Kalibrert alder	Materiale/treart	Prøve ID
				1323BC (26.2%) 1298BC 95.4% probability 1401BC (95.4%) 1284BC		
T27565:1169	TRa- 12140	Nordre profil, lag 3 topp	1819 +11/-11	68.2% probability 143AD (11.4%) 155AD 168AD (28.1%) 195AD 209AD (28.7%) 234AD 95.4% probability 137AD (95.4%) 237AD	Trekull/Bjørk, lyng.	KP 1082
T27565:1170	TRa- 12141	Nordre profil, lag 3 bunn	1302 +11/-11	68.2% probability 671AD (47.3%) 690AD 750AD (20.9%) 761AD 95.4% probability 665AD (67.5%) 715AD 743AD (27.9%) 765AD	Trekull/Hassel	KP 1083
T27565:1171	TRa- 12142	Nordre profil, lag 4	1243 +11/-11	68.2% probability 717AD (55.9%) 743AD 767AD (12.3%) 773AD 95.4% probability 687AD (76.2%) 751AD 760AD (17.7%) 778AD 793AD (0.9%) 801AD 846AD (0.7%) 852AD	Trekull/Nøtteskall	KP 1084
T27565:1172	TRa- 12143	Lag 1046 (kulflekk), fra profil	3752 +15/-15	68.2% probability 2198BC (52.0%) 2164BC 2152BC (16.2%) 2141BC 95.4% probability 2266BC (0.7%) 2261BC 2206BC (89.5%) 2132BC 2083BC (5.2%) 2059BC	Trekull/Poppel og vier.	KP 1134

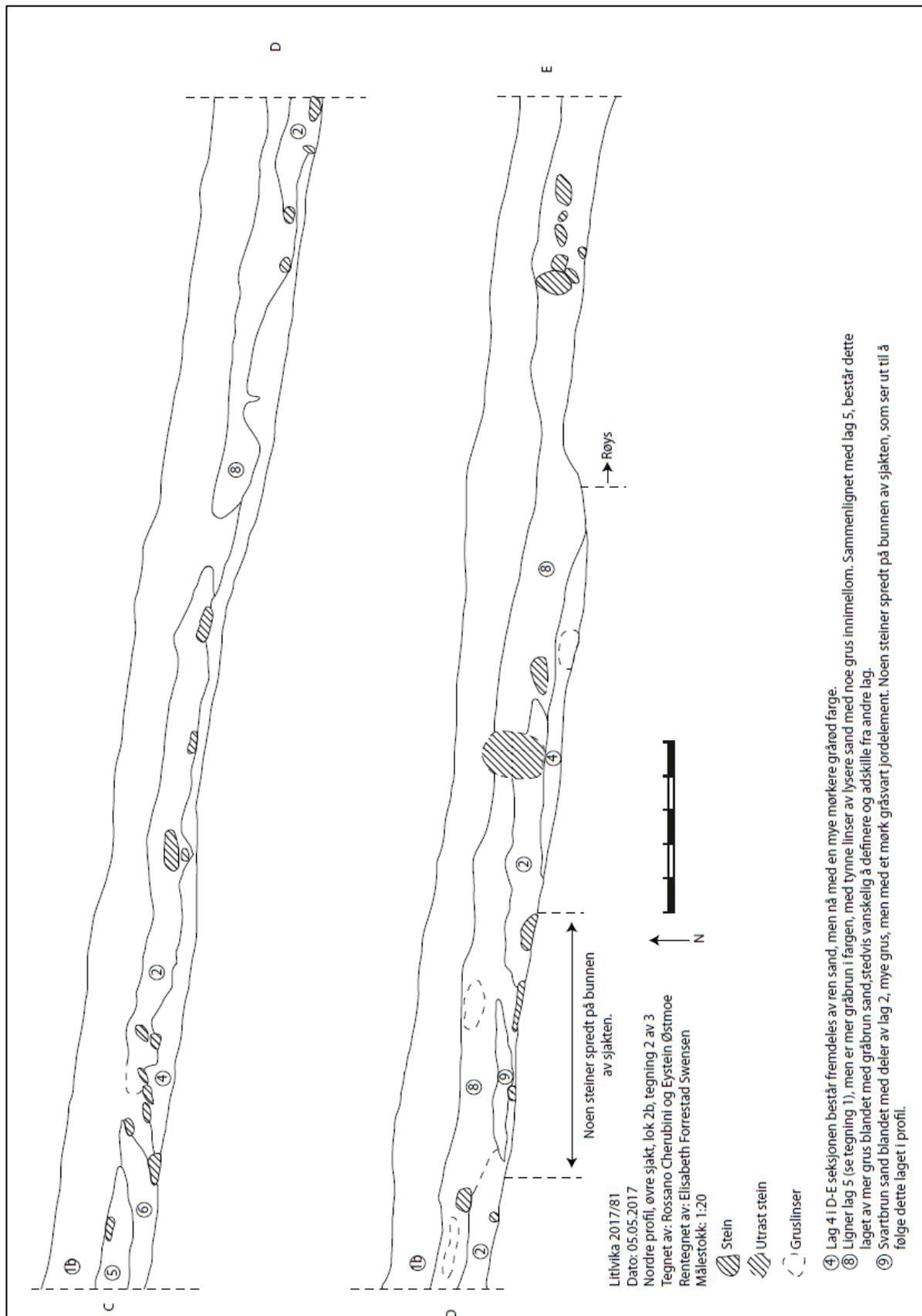
T-nr	Lab.id.	Kontekst	14C alder BP	Kalibrert alder	Materiale/treart	Prøve ID
T27565:1173	TRa-12144	89x 95y, mek. 2	6758 +17/-17	68.2% probability 5671BC (68.2%) 5635BC 95.4% probability 5709BC (95.4%) 5632BC	Trekull/Poppel og vier	KP 1136
T27565:1174	TRa-12145	Profil vest, lag 5	3690 +19/-19	68.2% probability 2131BC (46.7%) 2085BC 2057BC (21.5%) 2035BC 95.4% probability 2141BC (95.4%) 2023BC	Trekull/Or	KP 1143
T27565:1175	TRa-12146	Mek. 4, kulturlag	6812 +17/-17	68.2% probability 5721BC (34.5%) 5701BC 5696BC (33.7%) 5674BC 95.4% probability 5730BC (95.4%) 5664BC	Trekull/Hasselnøtt	KP 1160
T27565:1176	TRa-12147	107x 100y NV, mek. 1	5393 +50/-50	68.2% probability 4333BC (61.1%) 4230BC 4194BC (7.1%) 4176BC 95.4% probability 4343BC (64.8%) 4220BC 4211BC (15.7%) 4151BC 4134BC (14.9%) 4057BC	Hasselnøtt	
T27565:1177	TRa-12148	106x 97y NØ, mek. 1	4021 +72/-72	68.2% probability 2835BC (3.8%) 2817BC 2664BC (3.8%) 2644BC 2639BC (60.6%) 2464BC 95.4% probability 2866BC (8.5%) 2804BC	Hasselnøtt	

T-nr	Lab.id.	Kontekst	14C alder BP	Kalibrert alder	Materiale/treart	Prøve ID
				2776BC (86.9%) 2342BC		
T27565:1178	TRa- 12149	109x 108y NØ, mek. 1	4848 +52/-52	68.2% probability 3699BC (50.4%) 3631BC 3577BC (1.1%) 3575BC 3563BC (16.7%) 3536BC 95.4% probability 3761BC (1.8%) 3741BC 3731BC (0.4%) 3726BC 3715BC (93.1%) 3520BC	Hasselnøtt	
T27565:1179	TRa- 12150	92x 88y NV, mek. 1	3073 +14/-14	68.2% probability 2296BC (63.8%) 2133BC 2080BC (4.4%) 2061BC 95.4% probability 2454BC (2.8%) 2419BC 2407BC (3.0%) 2376BC 2351BC (89.6%) 2033BC	Hasselnøtt	
T27565:1180	TRa- 12151	Kokegrop 599	4968 + 16/-16	68.2% probability 3762BC (53.5%) 3725BC 715BC (14.7%) 3706BC 95.4% probability 3780BC (95.4%) 3696BC	Hasselnøtt	

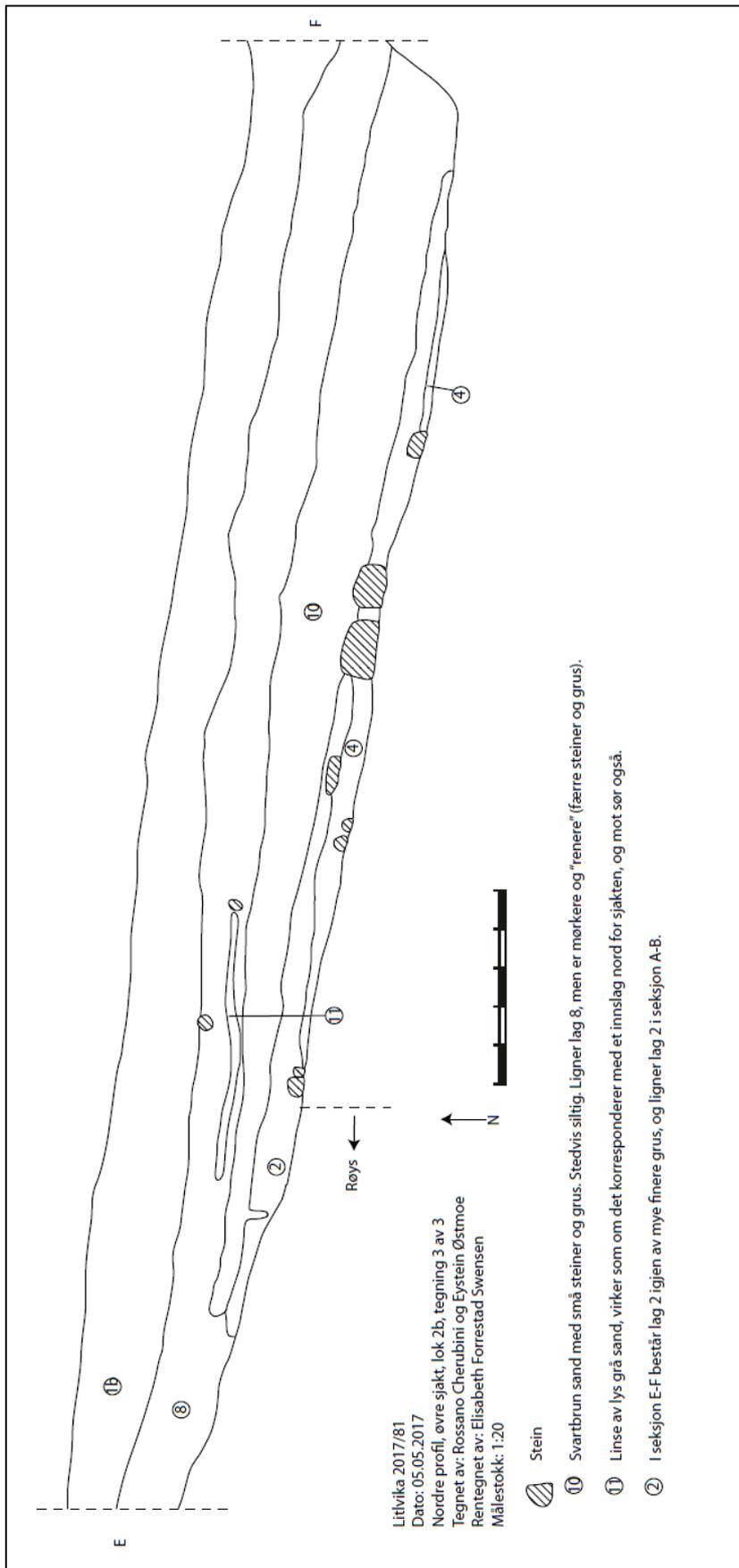
Rentegninger



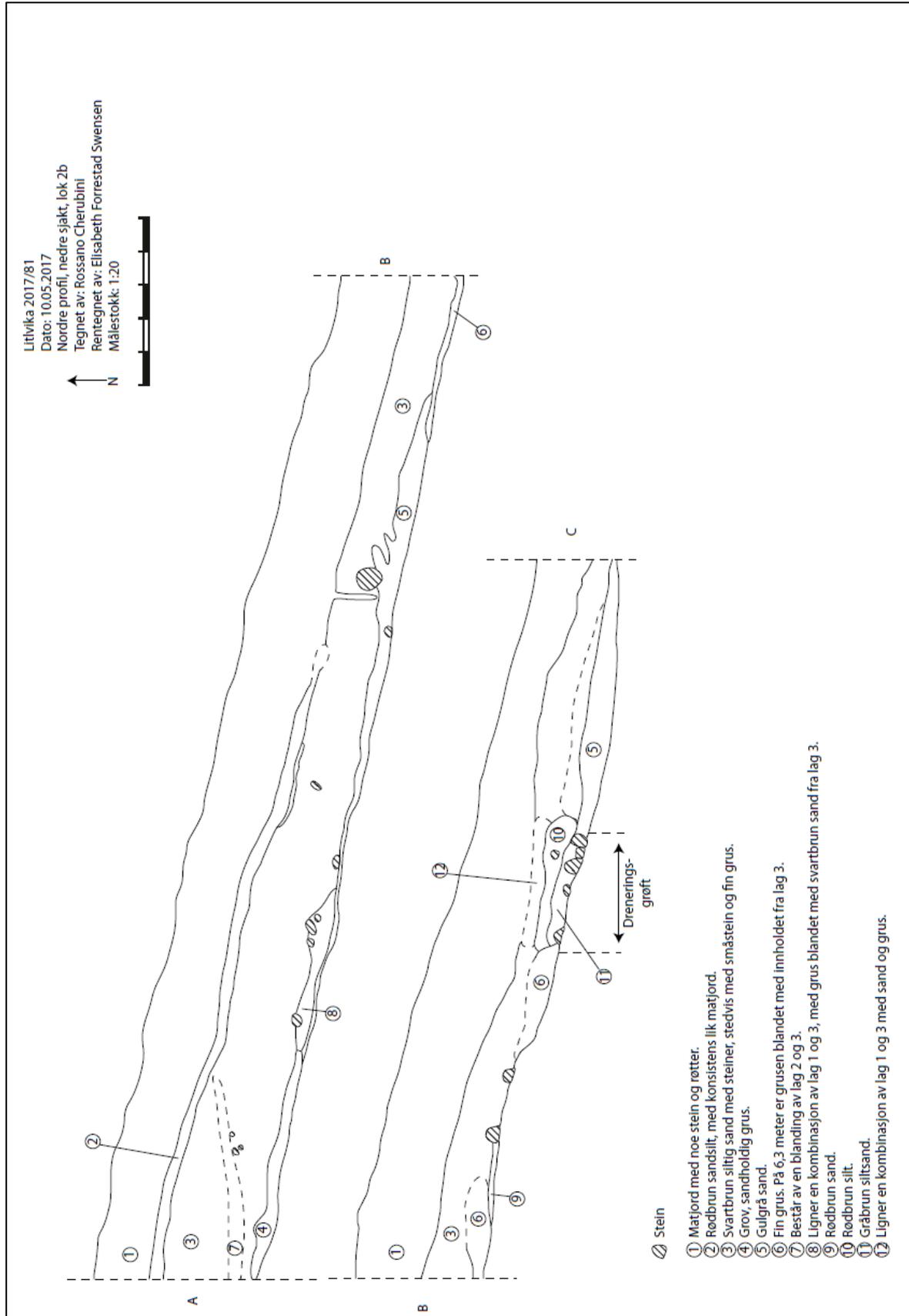
Tegning 1



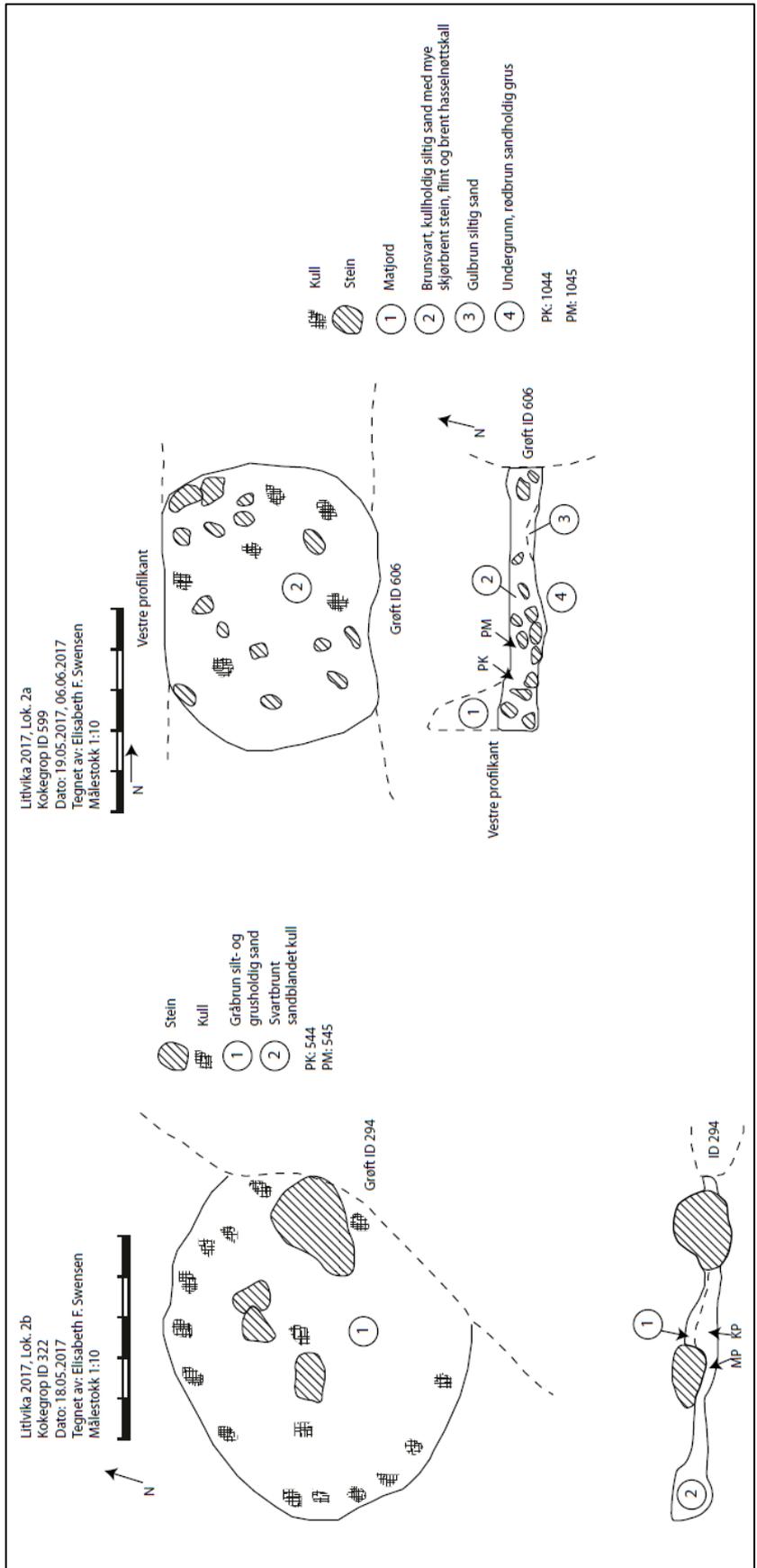
Tegning 2



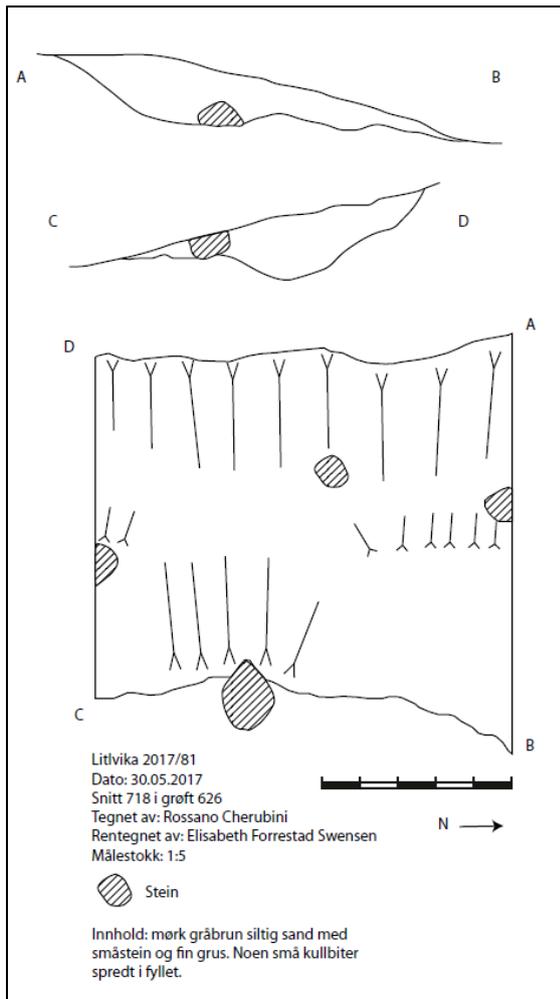
Tegning 3



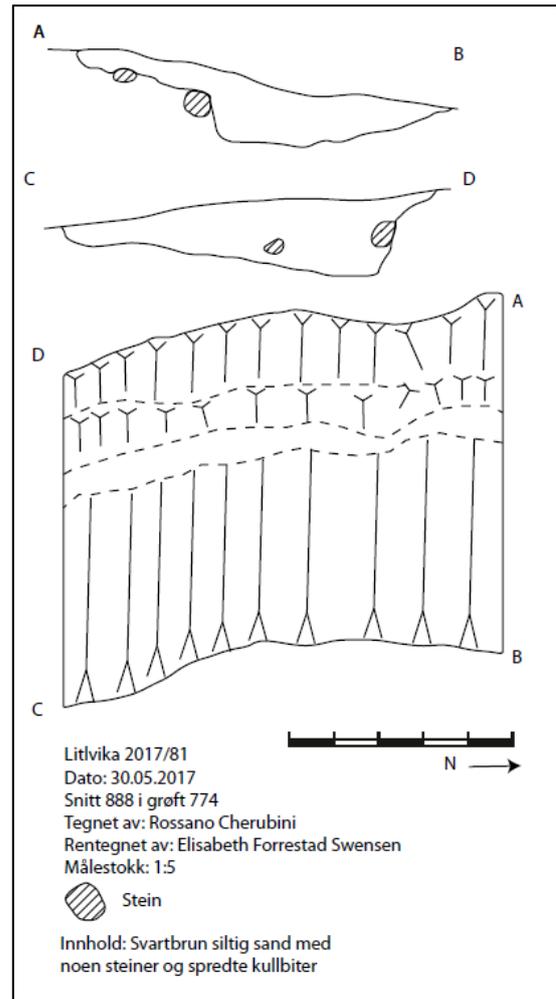
Tegning 4



Tegning 5

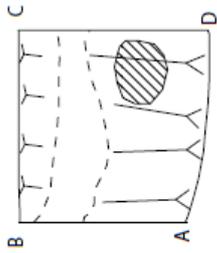
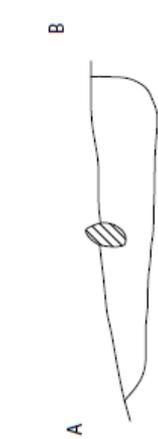


Tegning 6



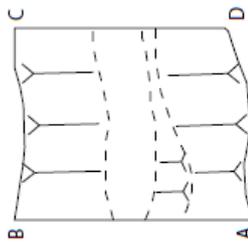
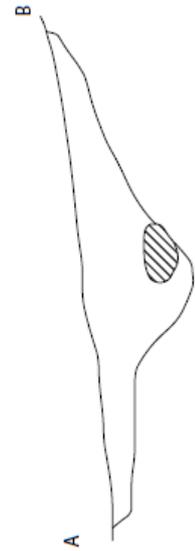
Tegning 7

Litvika 2017/81
 Dato: 30.05.2017
 Tegnet av: Helene Blyverket
 Rentegnet av: Elisabeth Forrestad Swensen



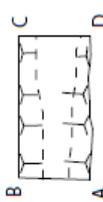
N →

Snitt 722 i grøft 642.
 Innhold: Mørk gråbrun siltig sand med noen få steiner og litt grus. Ett stk. flintfunn.
 Målestokk 1:5 hos profiler, 1:10 i plan.
 Stein



N →

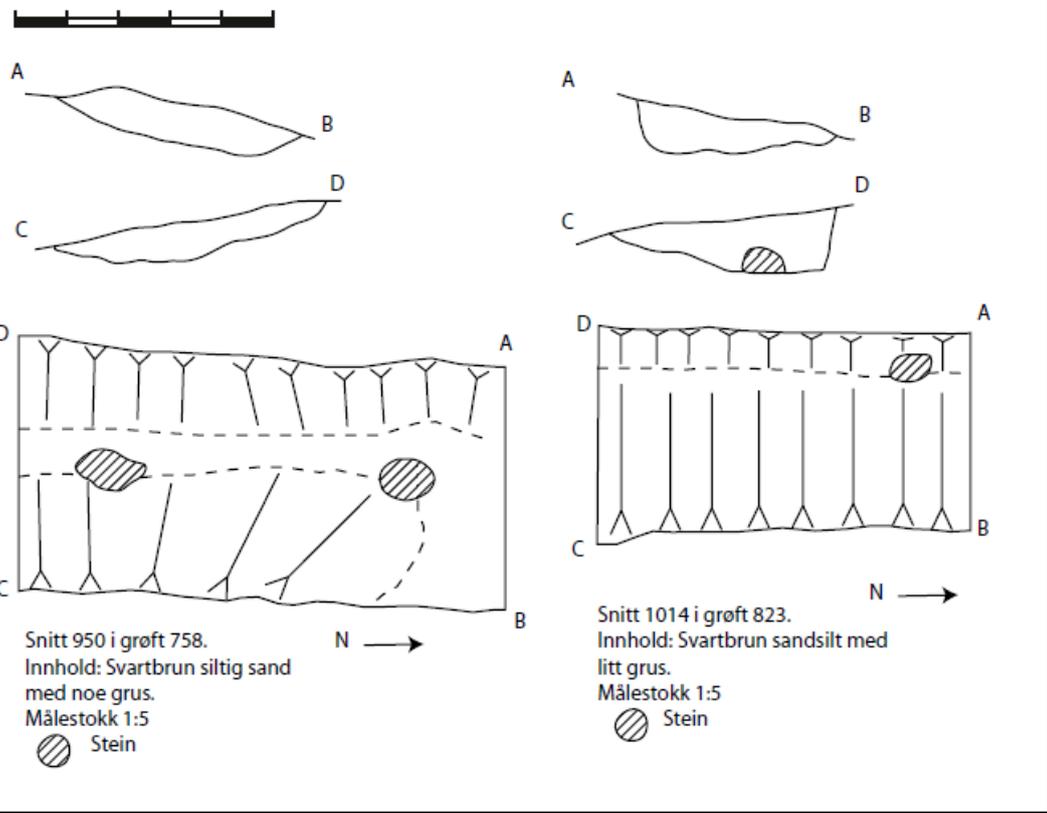
Snitt 819 i grøft 661.
 Innhold: Gråbrun sand med noe smågrus og småstein og noen kullbiter.
 Målestokk 1:5 hos profiler, 1:10 i plan.
 Stein



N →

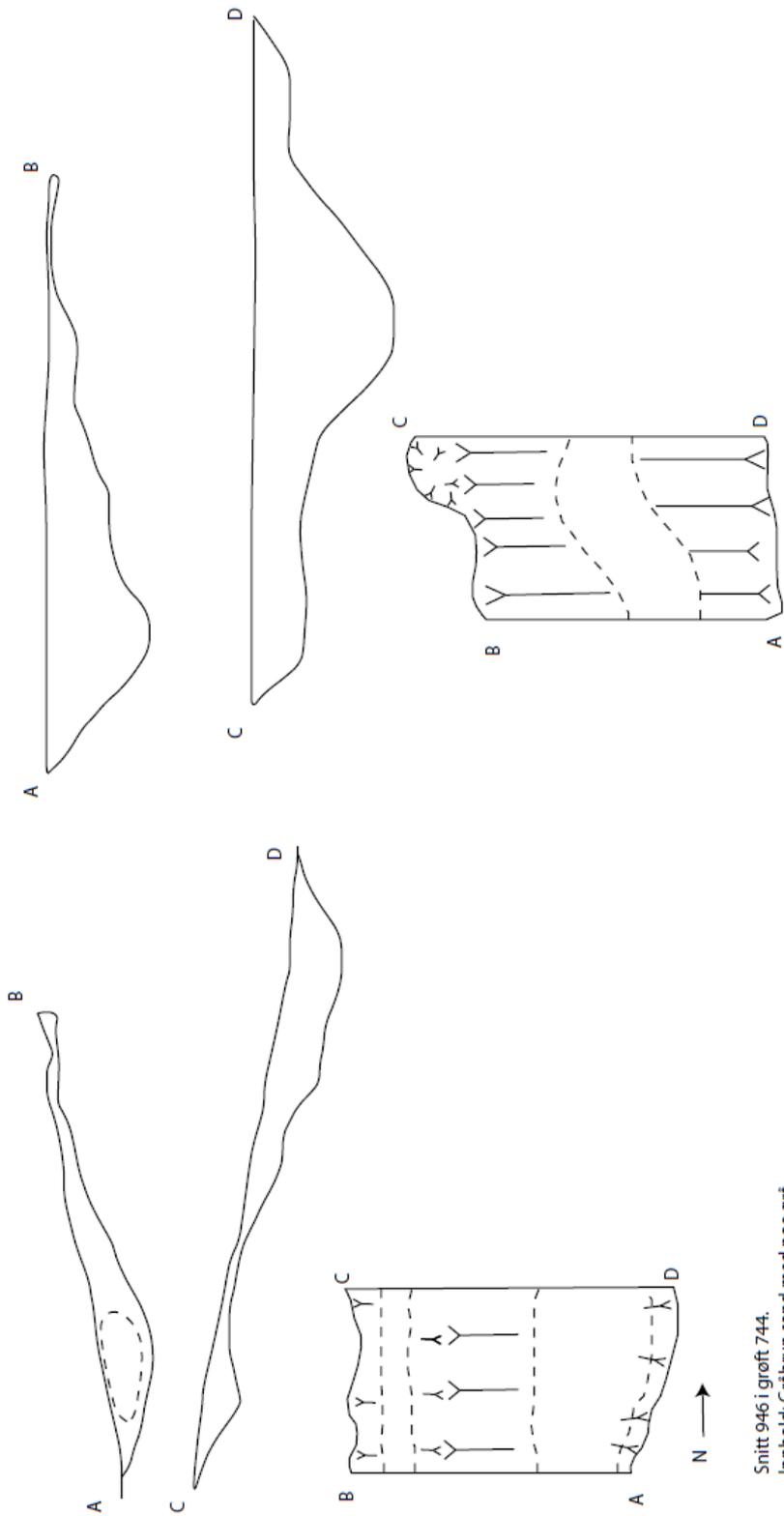
Snitt 884 i grøft 684.
 Innhold: Gråbrun sand med litt glidende overgang til undergrunn.
 Målestokk 1:5

Litlvika 2017/81
 Dato: 31.05.2017
 Tegnet av: Rosssano Cherubini
 Rentegnet av: Elisabeth Forrestad Swensen



Tegning 9

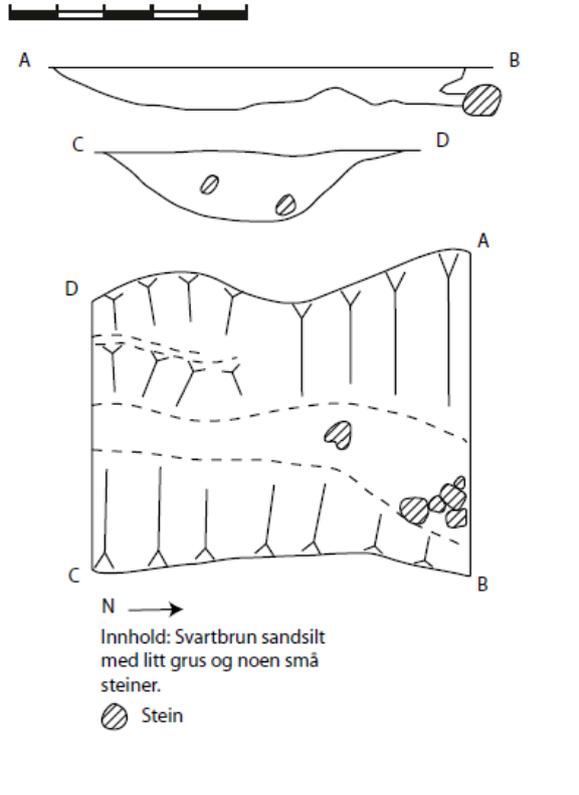
Litvika 2017/81
 Dato: 31.05.2017
 Tegnet av: Helene Blyverket
 Rentegnet av: Elisabeth Forrestad Swensen



Snitt 946 i grøft 744.
 Innhold: Gråbrun sand med noe grå sand.
 Målestokk: 1:5 hos profil, 1:10 hos plan.
 Lys sand

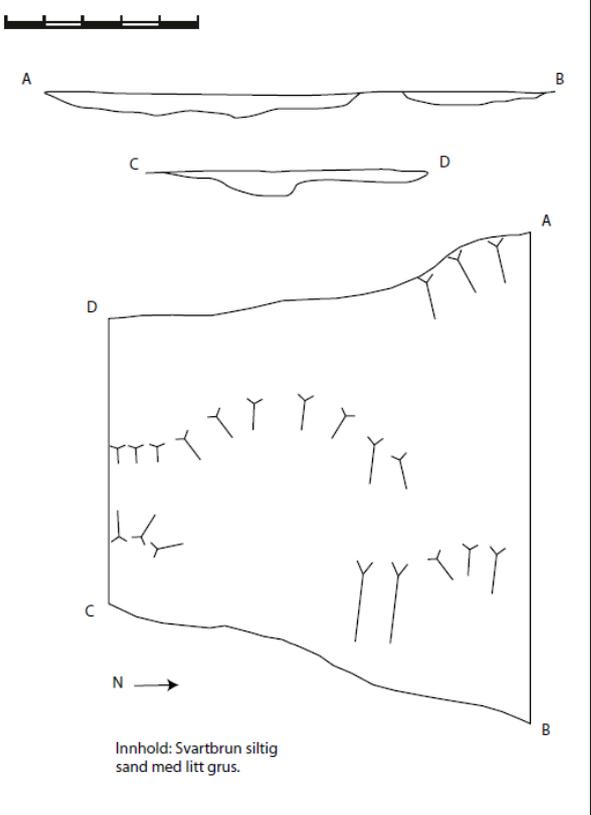
Snitt 1009 i grøft 661.
 Innhold: Gråbrun siltig sand med mye kullbiter, ujevn overgang til undergrunn.
 Målestokk: 1:5 hos profil, 1:10 hos plan.

Litlvika 2017/81
 Dato: 31.05.2017
 Tegnet av: Rossano Cherubini
 Rentegnet av: Elisabeth Forrestad Swensen
 Målestokk 1:5
 Snitt 1019 i grøft 801



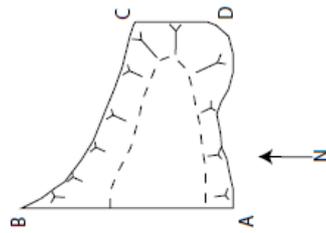
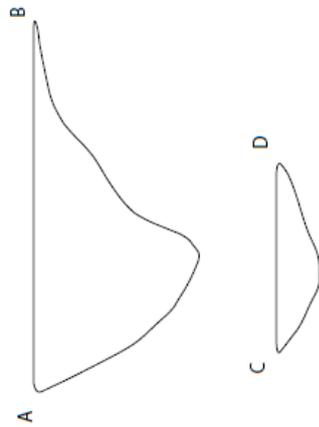
Tegning 11

Litlvika 2017/81
 Dato: 31.05.2017
 Tegnet av: Rossano Cherubini
 Rentegnet av: Elisabeth Forrestad Swensen
 Målestokk 1:5
 Snitt 1034 i grøft 997.

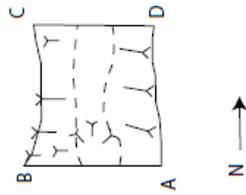
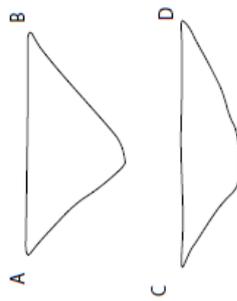


Tegning 12

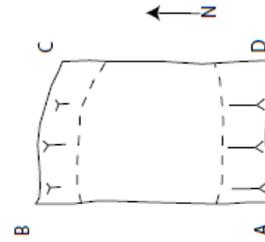
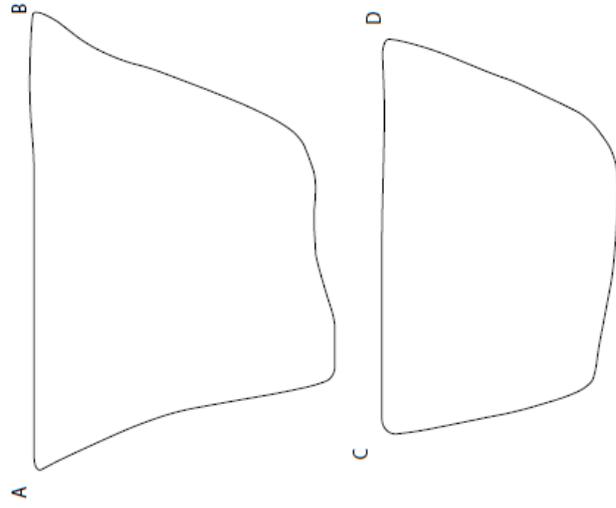
Litvika 2017/81
 Dato: 31.05.2017
 Tegnet av: Helene Blyverket
 Rentegnet av: Elisabeth Forrestad Swensen
 Målestokk 1:5



Snitt 1024 i grøft 919.
 Innhold: Gråbrun sand



Snitt 1029 i grøft 966.
 Innhold: Gråbrun sand



Snitt 1039 i grøft 985.
 Innhold: Gråbrun sand med
 en del grus og noe småstein.

Fotoliste Lok. 1, feltfoto

Filnavn	Motiv	Sett mot	LokalitetsID	Fotograf	Opptaksdato
Da_61925_001.tif	Gjenstandsfoto tatt i brakke av finfunn, øks, pilspiss og skraper.	sør	35620	Elisabeth Forrestad Swensen	02.06.2017
Da_61925_002.tif	Gjenstandsfoto tatt i brakke av finfunn, øks, pilspiss og skraper.	sør	35620	Elisabeth Forrestad Swensen	02.06.2017
Da_61925_003.tif	Gjenstandsfoto tatt i brakke av finfunn, øks, pilspiss og skraper.	sør	35620	Elisabeth Forrestad Swensen	02.06.2017
Da_61925_004.tif	Gjenstandsfoto tatt i brakke av finfunn, øks, pilspiss og skraper.	sør	35620	Elisabeth Forrestad Swensen	02.06.2017
Da_61925_005.tif	Gjenstandsfoto tatt i brakke av finfunn, øks, pilspiss og skraper.	sør	35620	Elisabeth Forrestad Swensen	02.06.2017
Da_61925_006.tif	Arbeidsbilde.	øst	35620	Eystein Østmo	30.05.2017
Da_61925_007.tif	Profil av røys AR142.	øst	35620	Eystein Østmo	30.05.2017
Da_61925_008.tif	Profilbilde av røys 142 med 3stk pollenprøver og hvor makro ble tatt ut.	øst	35620	Elisabeth Forrestad Swensen	30.05.2017
Da_61925_009.tif	Profilbilde av røys 142 med 3stk pollenprøver og hvor makro ble tatt ut.	øst	35620	Elisabeth Forrestad Swensen	30.05.2017
Da_61925_010.tif	Oversiktsfoto før graving lok 1.	sørvest	35620	Eystein Østmo	26.04.2017
Da_61925_011.tif	Oversiktsfoto før graving lok 1.	vest	35620	Eystein Østmo	26.04.2017
Da_61925_012.tif	Oversiktsfoto før graving lok 1.	vest	35620	Eystein Østmo	26.04.2017
Da_61925_013.tif	Oversiktsfoto før graving lok 1.	nord	35620	Eystein Østmo	26.04.2017
Da_61925_014.tif	Oversiktsfoto før graving lok 1.	sørvest	35620	Eystein Østmo	26.04.2017
Da_61925_015.tif	Arbeidsbilde, gravemaskin og astrid og eystein på lok 1.	øst	35620	Elisabeth Forrestad Swensen	27.04.2017
Da_61925_016.tif	Arbeidsbilde, helene og ross renser lok 1.	nordvest	35620	Elisabeth Forrestad Swensen	27.04.2017
Da_61925_017.tif	Arbeidsbilde, helene og ross på lok 1.	nordøst	35620	Elisabeth Forrestad Swensen	27.04.2017
Da_61925_018.tif	Arbeidsbilde, eystein og astrid og gravemaskin lok 1.	nordøst	35620	Elisabeth Forrestad Swensen	27.04.2017

Da_61925_019.tif	Arbeidsbilder såld og helene.		øst	35620	Astrid B. Lorentzen	08.05.2017
Da_61925_020.tif	Arbeidsbilder såld og helene.		øst	35620	Astrid B. Lorentzen	08.05.2017
Da_61925_021.tif	Arbeidsbilder såld og helene.		øst	35620	Astrid B. Lorentzen	08.05.2017
Da_61925_022.tif	Arbeidsbilde ross sålder		sørøst	35620	Elisabeth Forrestad Swensen	08.05.2017
Da_61925_023.tif	Pausebilde, vi fikk vafler av sveinungs barn.		nord	35620	Elisabeth Forrestad Swensen	10.05.2017
Da_61925_024.tif	Pausebilde, vi fikk vafler av sveinungs barn.		nord	35620	Elisabeth Forrestad Swensen	10.05.2017
Da_61925_025.tif	Arbeidsbilde, eystein dokumenterer ruter på ipad.		nord	35620	Elisabeth Forrestad Swensen	19.05.2017
Da_61925_026.tif	Arbeidsbilde, eystein dokumenterer ruter på ipad.		nord	35620	Elisabeth Forrestad Swensen	19.05.2017
Da_61925_027.tif	Arbeidsbilder en solværsdag.		nord	35620	Elisabeth Forrestad Swensen	23.05.2017
Da_61925_028.tif	Arbeidsbilder en solværsdag.		nord	35620	Elisabeth Forrestad Swensen	23.05.2017
Da_61925_029.tif	Arbeidsbilder en solværsdag.		nord	35620	Elisabeth Forrestad Swensen	23.05.2017
Da_61925_030.tif	Arbeidsbilder en solværsdag.		nord	35620	Elisabeth Forrestad Swensen	23.05.2017
Da_61925_031.tif	Arbeidsbilder en solværsdag.		nord	35620	Elisabeth Forrestad Swensen	23.05.2017
Da_61925_032.tif	Arbeidsbilder en solværsdag.		nord	35620	Elisabeth Forrestad Swensen	23.05.2017
Da_61925_033.tif	Røys 142 sett mot øst.		øst	35620	Eystein Østmo	29.05.2017
Da_61925_034.tif	Oversiktsbilder røys 142 sett mot vest.		vest	35620	Eystein Østmo	29.05.2017
Da_61925_035.tif	Oversiktsbilder røys 142 sett mot vest.		vest	35620	Eystein Østmo	29.05.2017
Da_61925_036.tif	Røys 142 oversiktsbilde sett mot øst.		øst	35620	Eystein Østmo	29.05.2017
Da_61925_037.tif	Oversiktsbilde røys 142, med nordpil og målestokk.		nordvest	35620	Eystein Østmo	29.05.2017
Da_61925_038.tif	Dronebilder, oversikt over Litlvika			35620	Raymond Sauvage	16.05.2017
Da_61925_039.tif	Dronebilder, oversikt over Litlvika			35620	Raymond Sauvage	16.05.2017

Da_61925_040.tif	Dronebilder, oversikt over Litlvika		35620	Raymond Sauvage	16.05.2017
Da_61925_041.tif	Dronebilder, oversikt over Litlvika		35620	Raymond Sauvage	16.05.2017

Fotoliste Lok. 2, feltfoto

Filnavn	Motiv	Sett mot	LokalitetsID	Fotograf	Opptaksdato
Da_61926_001.tif	Bilder av prøvetaking, makrofossil, pollen, mikromorfologi og kullprøver, kan settes inn i fotogrammetri av nordre profil lok 2b etter systematisk graving av dyrkingslag med maskin.	nord	214024	Elisabeth Forrestad Swensen	07.06.2017
Da_61926_002.tif	Bilder av prøvetaking, makrofossil, pollen, mikromorfologi og kullprøver, kan settes inn i fotogrammetri av nordre profil lok 2b etter systematisk graving av dyrkingslag med maskin.	nord	214024	Elisabeth Forrestad Swensen	07.06.2017
Da_61926_003.tif	Bilder av prøvetaking, makrofossil, pollen, mikromorfologi og kullprøver, kan settes inn i fotogrammetri av nordre profil lok 2b etter systematisk graving av dyrkingslag med maskin.	nord	214024	Elisabeth Forrestad Swensen	07.06.2017
Da_61926_004.tif	Bilder av prøvetaking, makrofossil, pollen, mikromorfologi og kullprøver, kan settes inn i fotogrammetri av nordre profil lok 2b etter systematisk graving av dyrkingslag med maskin.	nord	214024	Elisabeth Forrestad Swensen	07.06.2017
Da_61926_005.tif	Bilder av prøvetaking, makrofossil, pollen, mikromorfologi og kullprøver, kan settes inn i fotogrammetri av nordre profil lok 2b etter systematisk graving av dyrkingslag med maskin.	nord	214024	Elisabeth Forrestad Swensen	07.06.2017
Da_61926_006.tif	Bilder av prøvetaking, makrofossil, pollen, mikromorfologi og kullprøver, kan settes inn i fotogrammetri av nordre profil lok 2b etter systematisk graving av dyrkingslag med maskin.	nord	214024	Elisabeth Forrestad Swensen	07.06.2017

Da_61926_007.tif	Bilder av prøvetaking, makrofossil, pollen, mikromorfologi og kullprøver, kan settes inn i fotogrammetri av nordre profil lok 2b etter systematisk graving av dyrkningslag med maskin.	nord	214024	Elisabeth Forrestad Swensen	07.06.2017
Da_61926_008.tif	Pollenserier, id 740 tatt i eldre dyrkningslag ved røys id 332. Prøvene er nummerert fra bunn til topp; 1-3.	sør	214024	Astrid B. Lorentzen	30.05.2017
Da_61926_009.tif	Makroprøve id. 839, tatt fra det øverste av de to eldre dyrkningslagene på stedet.	sør	214024	Astrid B. Lorentzen	30.05.2017
Da_61926_010.tif	Profil gjennom id 332 etter at makroprøve, id. 840, fra det nedre eldre dyrkningslaget er tatt ut.	sør	214024	Astrid B. Lorentzen	30.05.2017
Da_61926_011.tif	Oversiktsbilde før graving lok 2.	sørvest	214024	Eystein Østmoe	26.04.2017
Da_61926_012.tif	Oversiktsbilde før graving lok 2.	sør	214024	Eystein Østmoe	26.04.2017
Da_61926_013.tif	Oversiktsbilde før graving lok 2.	sørøst	214024	Eystein Østmoe	26.04.2017
Da_61926_014.tif	Oversiktsbilde før graving lok 2.	øst	214024	Eystein Østmoe	26.04.2017
Da_61926_015.tif	Oversiktsbilde før graving lok 2.	nordvest	214024	Eystein Østmoe	26.04.2017
Da_61926_016.tif	Arbeidsbilde med astrid og ross med maskin lok 2.	nord	214024	Helene Blyverket	02.05.2017
Da_61926_017.tif	Arbeidsbilde, eystein renser nordre sjaktprofil lok 2.	nordvest	214024	Helene Blyverket	02.05.2017
Da_61926_018.tif	Arbeidsbilde astrid og helene med maskin lok 2, fint landskap.	nordøst	214024	Elisabeth Forrestad Swensen	04.05.2017
Da_61926_019.tif	Arbeidsbilde astrid og helene med maskin lok 2, berg i bakgrunn.	nord	214024	Elisabeth Forrestad Swensen	04.05.2017
Da_61926_020.tif	Profilbilde, mulig markoverflate på lok 2c fjernet profil, 1m målestokk.	øst	214024	Rossano Cherubini	09.05.2017
Da_61926_021.tif	Profilbilde, mulig markoverflate på lok 2c fjernet profil, 1m målestokk.	øst	214024	Rossano Cherubini	09.05.2017
Da_61926_023.tif	Planbilder, kokegrop 322 kuttet av grøft 294, målestokk 40cm, nordpil.	nord	214024	Elisabeth Forrestad Swensen	18.05.2017

Da_61926_022.tif	Planbilder, kokegrop 322 kuttet av grøft 294, målestokk 40cm, nordpil.	nord	214024	Elisabeth Forrestad Swensen	18.05.2017
Da_61926_024.tif	Profilbilder, kokegrop 322 kuttet av grøft 294, målestokk 40cm, nordpil.	nord	214024	Elisabeth Forrestad Swensen	18.05.2017
Da_61926_025.tif	Profilbilder, kokegrop 322 kuttet av grøft 294, målestokk 40cm, nordpil.	nord	214024	Elisabeth Forrestad Swensen	18.05.2017
Da_61926_026.tif	Planbilde, mulig kokegrop id 599, 1m målestokk, nordpil.	vest	214024	Elisabeth Forrestad Swensen	19.05.2017
Da_61926_027.tif	Planbilde, mulig kokegrop id 599, 1m målestokk, nordpil.	vest	214024	Elisabeth Forrestad Swensen	19.05.2017
Da_61926_028.tif	To runde ting med undergrunns grus i dyringslag på lok 2b, funnet ved systematisk mekanisk avdekking med maskin. Synlig etter 1. omgang, men noe matjord så vi gikk dypere.	nord	214024	Elisabeth Forrestad Swensen	23.05.2017
Da_61926_029.tif	Systematisk mekanisk avdekking med maskin, lok 2b dyrkning, 2. omgang.	nord	214024	Elisabeth Forrestad Swensen	23.05.2017
Da_61926_030.tif	Systematisk mekanisk avdekking med maskin, lok 2b dyrkning, 2. omgang.	nord	214024	Elisabeth Forrestad Swensen	23.05.2017
Da_61926_031.tif	3. omgang mekanisk avdekking med maskin.	nord	214024	Elisabeth Forrestad Swensen	23.05.2017
Da_61926_032.tif	3. omgang mekanisk avdekking med maskin.	nord	214024	Elisabeth Forrestad Swensen	23.05.2017
Da_61926_033.tif	4. omgang systematisk mekanisk avdekking 2b	nord	214024	Elisabeth Forrestad Swensen	23.05.2017
Da_61926_034.tif	4. omgang systematisk mekanisk avdekking 2b	nord	214024	Elisabeth Forrestad Swensen	23.05.2017
Da_61926_035.tif	5. omgang mekanisk avdekking 2b	nord	214024	Elisabeth Forrestad Swensen	23.05.2017
Da_61926_036.tif	5. omgang mekanisk avdekking 2b	nord	214024	Elisabeth Forrestad Swensen	23.05.2017

Da_61926_037.tif	5. omgang mekanisk avdekking 2b	nord	214024	Elisabeth Forrestad Swensen	23.05.2017
Da_61926_038.tif	5. omgang mekanisk avdekking 2b	nord	214024	Elisabeth Forrestad Swensen	23.05.2017
Da_61926_039.tif	6. omgang, bunn mekanisk avdekking 2b	nord	214024	Elisabeth Forrestad Swensen	23.05.2017
Da_61926_040.tif	6. omgang, bunn mekanisk avdekking 2b	nord	214024	Elisabeth Forrestad Swensen	23.05.2017
Da_61926_041.tif	Rydningrøys, id. 332, i sjakt på lok 2.	øst	214024	Astrid B. Lorentzen	29.05.2017
Da_61926_042.tif	Rydningrøys, id. 332, i sjakt på lok 2.	øst	214024	Astrid B. Lorentzen	29.05.2017
Da_61926_043.tif	Snitt i grøft ID: 642. Profilfoto C-D	nord	214024	Helene Blyverket	31.05.2017
Da_61926_044.tif	Snitt i grøft ID: 642. Profilfoto C-D	nord	214024	Helene Blyverket	31.05.2017
Da_61926_045.tif	Snitt i grøft ID: 642. Profilfoto A-B	sør	214024	Helene Blyverket	31.05.2017
Da_61926_046.tif	Snitt i grøft ID: 642. Planfoto	vest	214024	Helene Blyverket	31.05.2017
Da_61926_047.tif	Profile A-B. Scale 40cm + North arrow	nord	214024	Rossano Cherubini	31.05.2017
Da_61926_048.tif	Profile C-D. Scale 40cm + North arrow	sør	214024	Rossano Cherubini	31.05.2017
Da_61926_049.tif	Snitt i grøft ID: 661. Planfoto	vest	214024	Helene Blyverket	31.05.2017
Da_61926_050.tif	Snitt i grøft ID: 661. Profilfoto A-B	sør	214024	Helene Blyverket	31.05.2017
Da_61926_051.tif	Snitt i grøft ID: 661. Profilfoto C - D	nord	214024	Helene Blyverket	31.05.2017
Da_61926_052.tif	Profile A-B, scale 40cm + north arrow	nord	214024	Rossano Cherubini	30.05.2017
Da_61926_053.tif	Profile C-D, scale 40cm + north arrow	nord	214024	Rossano Cherubini	30.05.2017
Da_61926_054.tif	Snitt i grøft ID: 684. Planfoto	vest	214024	Helene Blyverket	31.05.2017
Da_61926_055.tif	Snitt i grøft ID: 684.. Profilfoto A-B	sør	214024	Helene Blyverket	31.05.2017
Da_61926_056.tif	Snitt i grøft ID: 684. Profilfoto A-B	sør	214024	Helene Blyverket	31.05.2017
Da_61926_056.tif	Snitt i grøft ID: 684. Profilfoto C-D	nord	214024	Helene Blyverket	31.05.2017
Da_61926_057.tif	Snitt i grøft ID: 744. Planfoto	vest	214024	Helene Blyverket	31.05.2017
Da_61926_058.tif	Snitt i grøft ID: 744. Profilfoto A-B	sør	214024	Helene Blyverket	31.05.2017
Da_61926_059.tif	Snitt i grøft ID: 684. Profilfoto C-D	nord	214024	Helene Blyverket	31.05.2017
Da_61926_060.tif	Profile A-B, scale 40cm + north arrow	nord	214024	Rossano Cherubini	31.05.2017
Da_61926_061.tif	Profile C-D, scale 40cm + north arrow	sør	214024	Rossano Cherubini	31.05.2017
Da_61926_062.tif	Profile A-B, scale 40cm + north arrow	nord	214024	Rossano Cherubini	31.05.2017

Da_61926_063.tif	Profile C-D, scale 40cm + north arrow	sør	214024	Rossano Cherubini	31.05.2017
Da_61926_064.tif	Snitt i grøft ID: 661. Planfoto	vest	214024	Helene Blyverket	31.05.2017
Da_61926_065.tif	Snitt i grøft ID: 661. Profilfoto A-B	sør	214024	Helene Blyverket	31.05.2017
Da_61926_066.tif	Snitt i grøft ID: 684. Profilfoto C-D	nord	214024	Helene Blyverket	31.05.2017
Da_61926_067.tif	Profile A-B, scale 40cm + north arrow	nord	214024	Rossano Cherubini	31.05.2017
Da_61926_068.tif	Profile C-D, scale 40cm + north arrow	sør	214024	Rossano Cherubini	31.05.2017
Da_61926_069.tif	Snitt i grøft ID: 919. Planfoto	nord	214024	Helene Blyverket	02.06.2017
Da_61926_070.tif	Snitt i grøft ID: 918. Profilfoto A-B	vest	214024	Helene Blyverket	02.06.2017
Da_61926_071.tif	Snitt i grøft ID: 918. Profilfoto A-B	vest	214024	Helene Blyverket	02.06.2017
Da_61926_072.tif	Snitt i grøft ID: 918. Profilfoto A-B	vest	214024	Helene Blyverket	02.06.2017
Da_61926_073.tif	Snitt i grøft ID: 919. Profilfoto C-D	øst	214024	Helene Blyverket	02.06.2017
Da_61926_074.tif	Snitt i grøft ID: 919. Profilfoto C-D	øst	214024	Helene Blyverket	02.06.2017
Da_61926_075.tif	Snitt i grøft ID: 919. Profilfoto C-D	øst	214024	Helene Blyverket	02.06.2017
Da_61926_076.tif	Snitt i grøft ID: 966. Planfoto	vest	214024	Helene Blyverket	02.06.2017
Da_61926_077.tif	Snitt i grøft ID: 966. Planfoto	vest	214024	Helene Blyverket	02.06.2017
Da_61926_078.tif	Snitt i grøft ID: 966. Profilfoto A-B	sør	214024	Helene Blyverket	02.06.2017
Da_61926_079.tif	Snitt i grøft ID: 966. Profilfoto A-B	sør	214024	Helene Blyverket	02.06.2017
Da_61926_080.tif	Snitt i grøft ID: 966. Profilfoto C-D	nord	214024	Helene Blyverket	02.06.2017
Da_61926_081.tif	Snitt i grøft ID: 966. Profilfoto C-D	nord	214024	Helene Blyverket	02.06.2017
Da_61926_082.tif	Plan av snitt	vest	214024	Rossano Cherubini	02.06.2017
Da_61926_083.tif	Profile A-B, scale 40cm + north arrow	nord	214024	Rossano Cherubini	02.06.2017
Da_61926_084.tif	Profile C-D, scale 40cm + north arrow	sør	214024	Rossano Cherubini	02.06.2017
Da_61926_085.tif	Snitt i grøft ID: 985 Planfoto	nord	214024	Helene Blyverket	02.06.2017
Da_61926_086.tif	Snitt i grøft ID: 985 Planfoto	nord	214024	Helene Blyverket	02.06.2017
Da_61926_087.tif	Snitt i grøft ID: 985 Profilfoto A-B	vest	214024	Helene Blyverket	02.06.2017
Da_61926_088.tif	Snitt i grøft ID: 985 Profilfoto A-B	vest	214024	Helene Blyverket	02.06.2017

Da_61926_089.tif	Snitt i grøft ID: 985 Profilfoto A-B	vest	214024	Helene Blyverket	02.06.2017
Da_61926_090.tif	Snitt i grøft ID: 985 Profilfoto C-D	øst	214024	Helene Blyverket	02.06.2017
Da_61926_091.tif	Snitt i grøft ID: 985 Profilfoto C-D	øst	214024	Helene Blyverket	02.06.2017
Da_61926_092.tif	Snitt i grøft ID: 985 Profilfoto C-D	øst	214024	Helene Blyverket	02.06.2017
Da_61926_093.tif	Kullfleck i rute 107x 101y, særlig i de nordre kvadrantene. Lok 2A.	vest	214024	Astrid B. Lorentzen	02.06.2017
Da_61926_094.tif	Kullfleck i rute 107x 101y, særlig i de nordre kvadrantene. Lok 2A.	vest	214024	Astrid B. Lorentzen	02.06.2017
Da_61926_095.tif	Profil kokegrop 599	nordvest	214024	Elisabeth Forrestad Swensen	06.06.2017
Da_61926_096.tif	Profil kokegrop 599	nordvest	214024	Elisabeth Forrestad Swensen	06.06.2017
Da_61926_097.tif	Profil kokegrop 599	nordvest	214024	Elisabeth Forrestad Swensen	06.06.2017
Da_61926_098.tif	Profil kokegrop 599	nordvest	214024	Elisabeth Forrestad Swensen	06.06.2017
Da_61926_099.tif	Profil kokegrop 599	nordvest	214024	Elisabeth Forrestad Swensen	06.06.2017
Da_61926_100.tif	Gruppebilde	sør	214024	Helene Blyverket	15.06.2017

Fotoliste samlet fotogrammetrier

Filnavn	Motiv	LokalitetsID	Fotograf	Opptaksdato
Da61927	Fotogrammetri Lok. 1 Dronebilder	35620	Raymond Sauvage	16.05.2017
Da61928	Fotogrammetri Lok. 1 vestlig del etter gravd mek. 1	35620	Eystein Østmoe	08.06.2017
Da61929	Fotogrammetri Lok. 1 røys ID 142	35620	Eystein Østmoe	29.05.2017
Da61930	Fotogrammetri Lok. 1 etter avdekking	35620	Helene Blyverket	02.05.2017

Da61931	Fotogrammetri Lok. 1 etter gravd mek. 3		35620	Elisabeth Forrestad Swensen	15.06.2017
Da61932	Fotogrammetri Lok. 1 etter gravd mek. 4		35620	Elisabeth Forrestad Swensen	15.06.2017
Da61933	Fotogrammetri Lok. 1 etter gravd mek. 1		35620	Eystein Østmoe	08.06.2017
Da61934	Fotogrammetri Lok. 1 etter gravd mek. 2		35620	Astrid B. Lorentzen	15.06.2017
Da61935	Fotogrammetri Lok. 1 profil røys ID 142		35620	Eystein Østmoe	30.05.2017
Da61936	Fotogrammetri Lok. 1 vestre profil		35620	Eystein Østmoe	08.06.2017
Da61937	Fotogrammetri Lok. 2 Dronebilder		214024	Raymond Sauvage	16.05.2017
Da61938	Fotogrammetri Lok. 2a etter avdekking		214024	Elisabeth Forrestad Swensen og Astrid B. Lorentzen	08.05.2017
Da61939	Fotogrammetri Lok. 2a etter gravd mek. 1 i renne		214024	Astrid B. Lorentzen	08.06.2017
Da61940	Fotogrammetri Lok. 2a etter gravning ned til kullfleck ID 1046		214024	Astrid B. Lorentzen	09.06.2017
Da61941	Fotogrammetri Lok. 2a profil gjennom kullfleck ID 1046		214024	Astrid B. Lorentzen	12.06.2017
Da61942	Fotogrammetri Lok. 2a rensede striper		214024	Rossano Cherubini	30.05.2017
Da61943	Fotogrammetri Lok. 2b hjørneprofiler etter systematisk gravning med maskin		214024	Astrid B. Lorentzen	23.05.2017
Da61944	Fotogrammetri Lok. 2b nordre profil etter systematisk gravning med maskin		214024	Elisabeth Forrestad Swensen	07.06.2017
Da61945	Fotogrammetri Lok. 2b profil gjennom røys ID 332		214024	Astrid B. Lorentzen	30.05.2017
Da61946	Fotogrammetri Lok. 2b røys ID 332		214024	Astrid B. Lorentzen	29.05.2017
Da61947	Fotogrammetri Lok. 2b nordre profil i nedre sjakt		214024	Elisabeth Forrestad Swensen	11.05.2017
Da61948	Fotogrammetri Lok. 2c etter avdekking		214024	Elisabeth Forrestad Swensen	10.05.2017
Da61949	Fotogrammetri Lok. 2c etter gravd mek. 1 og 2 i renne		214024	Astrid B. Lorentzen	09.06.2017

Fotoliste gjenstandsfoto

Filnavn	Motiv	LokalitetsID	Fotograf	Opptaksdato
Da_61950_001	Vespestadøks målestokk med	214024	Åge Hojem	19.03.2018
Da_61950_002	Slipeplate i 5 deler	35620	Åge Hojem	19.03.2018
Da_61950_003	Slipeplate	35620	Åge Hojem	19.03.2018
Da_61950_004	Eggoppskjerpingsavslag	214024	Åge Hojem	19.03.2018
Da_61950_005	Kjerner fra lok. 1	35620	Åge Hojem	19.03.2018
Da_61950_006	Bipolare kjerner og en håndtaksjerne på lok 1.	35620	Åge Hojem	19.03.2018
Da_61950_007	Makroflekker lokalitet 1	35620	Åge Hojem	19.03.2018
Da_61950_008	Makroflekker lokalitet 1	35620	Åge Hojem	19.03.2018
Da_61950_009	Mikroflekker fra lokalitet 1	35620	Åge Hojem	19.03.2018
Da_61950_010	Kniver lokalitet 1	35620	Åge Hojem	19.03.2018
Da_61950_011	Kniver fra lokalitet 1	35620	Åge Hojem	19.03.2018
Da_61950_012	Spisser lokalite 1 og 2	35620/ 214024	Åge Hojem	19.03.2018
Da_61950_013	Borspisser lokalitet 2	214024	Åge Hojem	19.03.2018
Da_61950_014	Borspisser lokalitet 2	214024	Åge Hojem	19.03.2018
Da_61950_015	Bakstehelle funnet på lokalitet 2	214024	Åge Hojem	19.03.2018
Da_61950_016	Skraper funnet på lokalite 1	35620	Åge Hojem	19.03.2018

Da_61950_017	Bilde av tangespiss av bergkrystall funnet på lokalitet 1	35620	Åge Hojem	19.03.2018
Da_61950_018	Bilde av kantstikkell funnet på lokalitet 1	35620	Åge Hojem	19.03.2018
Da_61950_019	Bilde av kantstikkell funnet på lokalitet 1 med svart bakgrunn	35620	Åge Hojem	19.03.2018
Da_61950_020	Bilde av tangespiss funnet på lokalitet 1 med svart bakgrunn	35620	Åge Hojem	19.03.2018
Da_61950_021	Skråfoto av Vespestadøks funnet på lokalitet 2	214024	Åge Hojem	19.03.2018
Da_61950_022	Skråfoto av eggoppskjerpingsavslag av skifer funnet på lokalitet 2	214024	Åge Hojem	19.03.2018
Da_61950_023	Skråfoto av slipeplate i 5 deler funnet på lokalitet 1	35620	Åge Hojem	19.03.2018
Da_61950_024	Skråfoto av slipeplate funnet på lokalitet 1	35620	Åge Hojem	19.03.2018

Funnliste Lok. 1, T27565

Museumsnr	Unr_Tall	X	Y	Kvadrant	Funnkontekst	Gjenstand	Form	Materiale	Antall	Mekanisk_Lag
T27565	0									
T27565	1				Lok. 1	Flekk	mikroflekk	flint	1	Løsfunn
T27565	2				Lok. 1	Avslag	makroavslag	flint	2	Løsfunn
T27565	3				Lok. 1	Avslag	medioavslag	flint	11	Løsfunn
T27565	4				Lok. 1	Avslag	medioavslag	kvarts	2	Løsfunn
T27565	5				Lok. 1	Kjerne	bipolar kjerne	bergkrystall	1	Løsfunn
T27565	6				Lok. 1	Kjerne	ubestemt kjerne	kvarts	1	Løsfunn
T27565	7				Lok. 1	Kjerne	ubestemt kjerne	kvarts	1	Løsfunn
T27565	8				Lok. 1	Retusjert avslag	retusjert medioavslag	flint	1	Løsfunn
T27565	9				Lok. 1	Retusjert flekke	retusjert medioflekke	flint	1	Løsfunn
T27565	10				Lok. 1	Retusjert flekke	retusjert mikroflekke	flint	1	Løsfunn
T27565	11	84	95	sø	Lok. 1	Avslag	medioavslag	flint	2	1
T27565	12	84	104	sv	Lok. 1	Avslag	medioavslag	flint	2	1
T27565	13	84	104	sv	Lok. 1	Kjerne	konisk kjerne	flint	1	1
T27565	14	84	108	sv	Lok. 1	Kjerne	håndtaks-kjerne	kvarts	1	1
T27565	15	87	95	nø	Lok. 1	Avslag	medioavslag	flint	1	1
T27565	16	87	95	nv	Lok. 1	Avslag	medioavslag	flint	6	1
T27565	17	87	96	nv	Lok. 1	Avslag	medioavslag	flint	2	1
T27565	18	87	96	nv	Lok. 1	Kjernefragment	bipolart kjernefragment	flint	1	1
T27565	19	87	96	nø	Lok. 1	Avslag	medioavslag	flint	2	1
T27565	20	87	96	nø	Lok. 1	Avslag	medioavslag	flint	1	1
T27565	21	87	96	nø	Lok. 1	Kjernefragment	plattformkjernefragment	flint	1	1
T27565	22	88	91	sø	Lok. 1	Avslag	medioavslag	kvarts	1	1
T27565	23	88	91	sø	Lok. 1	Kjerne	ubestemt kjerne	flint	2	1
T27565	24	88	91	nø	Lok. 1	Avslag	medioavslag	flint	5	1
T27565	25	88	91	nø	Lok. 1	Avslag	medioavslag	kvarts	1	1
T27565	26	88	91	nø	Lok. 1	Kjerne	bipolar kjerne	flint	1	1
T27565	27	88	92	sv	Lok. 1	Avslag	medioavslag	flint	1	1
T27565	28	88	92	nv	Lok. 1	Avslag	medioavslag	flint	3	1
T27565	29	88	92	nv	Lok. 1	Avslag	medioavslag	kvarts	1	1
T27565	30	88	92	nv	Lok. 1	Avslag	mikroavslag	flint	3	1

T27565	31	88	92	nv	Lok. 1	Avslag	mikroavslag	kvarts	1	1
T27565	32	88	92	n0	Lok. 1	Avslag	medioavslag	flint	2	1
T27565	33	88	92	s0	Lok. 1	Flekk	mikroflekk	flint	1	1
T27565	34	88	92	s0	Lok. 1	Avslag	medioavslag	flint	3	1
T27565	35	88	92	s0	Lok. 1	Avslag	medioavslag	kvarts	2	1
T27565	36	88	92	s0	Lok. 1	Avslag	medioavslag	flint	1	1
T27565	37	88	92	s0	Lok. 1	Kjerne	bipolart kjernefragment	bergkrystall	1	1
T27565	38	88	92	s0	Lok. 1	Kjernefragment	bipolart kjernefragment	flint	1	1
T27565	39	88	94	nv	Lok. 1	Avslag	medioavslag	flint	2	1
T27565	40	88	94	nv	Lok. 1	Skraiper	endeskraiper	flint	1	1
T27565	41	88	94	n0	Lok. 1	Avslag	medioavslag	flint	1	1
T27565	42	88	94	n0	Lok. 1	Avslag	medioavslag	kvarts	1	1
T27565	43	88	94	n0	Lok. 1	Avslag	mikroavslag	flint	1	1
T27565	44	88	94	sv	Lok. 1	Avslag	medioavslag	flint	1	1
T27565	45	88	94	sv	Lok. 1	Avslag	mikroavslag	flint	2	1
T27565	46	88	94	sv	Lok. 1	Kniv	flekkkniv	flint	1	1
T27565	47	88	95	s0	Lok. 1	Avslag	medioavslag	kvarts	1	1
T27565	48	88	95	s0	Lok. 1	Diagnostisk avslag	flekkelignende avslag	flint	1	1
T27565	49	88	95	sv	Lok. 1	Avslag	medioavslag	flint	1	1
T27565	50	88	95	nv	Lok. 1	Avslag	medioavslag	flint	3	1
T27565	51	88	95	nv	Lok. 1	Avslag	medioavslag	kvartsitt	1	1
T27565	52	88	95	nv	Lok. 1	Kjerne	ubestemt kjerne	kvarts	1	1
T27565	53	88	95	s0	Lok. 1	Avslag	medioavslag	flint	6	1
T27565	54	88	95	s0	Lok. 1	Kjernefragment	ubestemt kjernefragment	flint	1	1
T27565	55	88	96	nv	Lok. 1	Avslag	medioavslag	flint	2	1
T27565	56	88	96	s0	Lok. 1	Avslag	medioavslag	flint	5	1
T27565	57	88	96	s0	Lok. 1	Avslag	mikroavslag	flint	1	1
T27565	58	88	96	s0	Lok. 1	Kjerne	ubestemt kjerne	flint	2	1
T27565	59	88	96	sv	Lok. 1	Avslag	makroavslag	flint	1	1
T27565	60	88	96	sv	Lok. 1	Avslag	medioavslag	flint	6	1
T27565	61	88	96	sv	Lok. 1	Diagnostisk avslag	flekkelignende avslag	flint	1	1

T27565	62	88	96	nø	Lok. 1	Avslag	medioavslag	flint	4	1
T27565	63	88	96	nø	Lok. 1	Kjerne	håndtakskjerne	bergkrystall	1	1
T27565	64	88	97	sv	Lok. 1	Avslag	medioavslag	flint	1	1
T27565	65	88	97	sv	Lok. 1	Kjernefragment	plattformkjernefragment	kvarts	1	1
T27565	66	88	97	nv	Lok. 1	Avslag	medioavslag	flint	2	1
T27565	67	88	100	sv	Lok. 1	Avslag	medioavslag	flint	1	1
T27565	68	88	100	sv	Lok. 1	Avslag	medioavslag	flint	1	1
T27565	69	89	91	sø	Lok. 1	Avslag	medioavslag	flint	4	1
T27565	70	89	91	sø	Lok. 1	Avslag	medioavslag	kvarts	1	1
T27565	71	89	91	sø	Lok. 1	Avslag	mikroavslag	flint	1	1
T27565	72	89	91	sø	Lok. 1	Retusjert avslag	retusjert medioavslag	flint	1	1
T27565	73	89	92	sø	Lok. 1	Avslag	medioavslag	flint	1	1
T27565	74	89	92	sø	Lok. 1	Avslag	mikroavslag	flint	1	1
T27565	75	89	92	nø	Lok. 1	Avslag	medioavslag	flint	4	1
T27565	76	89	92	nø	Lok. 1	Diagnostisk avslag	flekkelignende avslag	flint	2	1
T27565	78	89	92	nv	Lok. 1	Avslag	mikroavslag	kvarts	2	1
T27565	77	89	92	nv	Lok. 1	Avslag	medioavslag	flint	4	1
T27565	79	89	92	nv	Lok. 1	Skrapet	skiveskraper	flint	1	1
T27565	80	89	92	sv	Lok. 1	Avslag	medioavslag	flint	3	1
T27565	81	89	92	sv	Lok. 1	Avslag	medioavslag	kvarts	2	1
T27565	82	89	92	sv	Lok. 1	Diagnostisk avslag	flekkelignende avslag	flint	2	1
T27565	83	89	93	sø	Lok. 1	Avslag	medioavslag	flint	1	1
T27565	84	89	93	sø	Lok. 1	Avslag	medioavslag	kvarts	1	1
T27565	85	89	93	nø	Lok. 1	Flekket	medioflekket	flint	1	1
T27565	86	89	93	nø	Lok. 1	Avslag	medioavslag	flint	2	1
T27565	87	89	93	nø	Lok. 1	Avslag	medioavslag	bergkrystall	1	1
T27565	88	89	93	nø	Lok. 1	Avslag	mikroavslag	flint	2	1
T27565	89	89	94	sø	Lok. 1	Avslag	medioavslag	flint	1	1
T27565	90	89	94	sv	Lok. 1	Avslag	medioavslag	flint	2	1
T27565	91	89	94	sv	Lok. 1	Avslag	mikroavslag	flint	1	1
T27565	92	89	94	sv	Lok. 1	Kjernefragment	ubestemt kjernefragment	flint	1	1

T27565	93	89	94	nv	Lok. 1	Avslag	medioavslag	flint	7	1
T27565	94	89	94	nv	Lok. 1	Avslag	mikroavslag	flint	2	1
T27565	95	89	94	nv	Lok. 1	Avslag	mikroavslag	kvarts	1	1
T27565	96	89	94	nø	Lok. 1	Flekk	mikroflekk	flint	1	1
T27565	97	89	94	nø	Lok. 1	Avslag	medioavslag	flint	4	1
T27565	98	89	94	nø	Lok. 1	Avslag	medioavslag	kvarts	3	1
T27565	99	89	94	nø	Lok. 1	Avslag	medioavslag	kvartsitt	1	1
T27565	100	89	95	sø	Lok. 1	Avslag	medioavslag	flint	2	1
T27565	101	89	95	nv	Lok. 1	Avslag	medioavslag	flint	4	1
T27565	102	89	95	nv	Lok. 1	Avslag	medioavslag	kvarts	4	1
T27565	103	89	95	nv	Lok. 1	Avslag	medioavslag	bergkrystall	1	1
T27565	104	89	95	nv	Lok. 1	Avslag	mikroavslag	flint	2	1
T27565	105	89	95	nv	Lok. 1	Avslag	mikroavslag	kvartsitt	1	1
T27565	106	89	95	nv	Lok. 1	Kjerne	bipolar kjerne	flint	1	1
T27565	107	89	95	nø	Lok. 1	Avslag	medioavslag	flint	5	1
T27565	108	89	95	nø	Lok. 1	Avslag	medioavslag	kvarts	1	1
T27565	109	89	95	nø	Lok. 1	Avslag	medioavslag	flint	1	1
T27565	110	89	95	nø	Lok. 1	Kjerne	bipolar kjerne	flint	1	1
T27565	111	89	95	sv	Lok. 1	Avslag	medioavslag	flint	3	1
T27565	112	89	95	sv	Lok. 1	Avslag	medioavslag	kvarts	1	1
T27565	113	89	95	sv	Lok. 1	Avslag	mikroavslag	flint	2	1
T27565	114	89	96	sø	Lok. 1	Avslag	medioavslag	flint	3	1
T27565	115	89	96	sø	Lok. 1	Avslag	medioavslag	kvarts	2	1
T27565	116	89	96	nv	Lok. 1	Avslag	medioavslag	flint	3	1
T27565	117	89	96	nv	Lok. 1	Avslag	medioavslag	kvarts	2	1
T27565	118	89	96	nv	Lok. 1	Avslag	mikroavslag	kvarts	2	1
T27565	119	89	96	nv	Lok. 1	Skraiper	skiveskraiper	flint	1	1
T27565	123	89	96	nø	Lok. 1	Pilspiss	tangespiss	bergkrystall	1	1
T27565	120	89	96	nø	Lok. 1	Avslag	medioavslag	flint	4	1
T27565	121	89	96	nø	Lok. 1	Avslag	mikroavslag	kvarts	1	1
T27565	122	89	96	nø	Lok. 1	Kniv	avslagskniv	flint	1	1
T27565	124	89	96	sv	Lok. 1	Avslag	medioavslag	flint	8	1

T27565	125	89	96	sv	Lok. 1	Avslag	medioavslag	kvarts	2	1
T27565	126	89	96	sv	Lok. 1	Avslag	mikroavslag	flint	1	1
T27565	127	89	96	sv	Lok. 1	Retusjert flekke	retusjert mikroflekke	flint	1	1
T27565	128	89	97	nø	Lok. 1	Avslag	medioavslag	kvarts	1	1
T27565	129	89	97	sø	Lok. 1	Avslag	medioavslag	flint	1	1
T27565	130	89	97	sv	Lok. 1	Flekk	mikroflekke	flint	1	1
T27565	131	89	97	sv	Lok. 1	Avslag	medioavslag	flint	4	1
T27565	132	89	97	sv	Lok. 1	Avslag	medioavslag	flint	1	1
T27565	133	89	97	sv	Lok. 1	Avslag	mikroavslag	flint	1	1
T27565	134	89	97	nv	Lok. 1	Avslag	medioavslag	flint	5	1
T27565	135	90	92	nv	Lok. 1	Avslag	medioavslag	flint	2	1
T27565	136	90	92	nv	Lok. 1	Diagnostisk avslag	flekkelignende avslag	flint	1	1
T27565	137	90	92	sv	Lok. 1	Avslag	medioavslag	flint	3	1
T27565	138	90	92	sv	Lok. 1	Avslag	mikroavslag	bergkrystall	1	1
T27565	139	90	92	nø	Lok. 1	Avslag	makroavslag	kvarts	1	1
T27565	140	90	92	nø	Lok. 1	Avslag	medioavslag	flint	3	1
T27565	141	90	92	nø	Lok. 1	Avslag	medioavslag	kvarts	11	1
T27565	142	90	92	nø	Lok. 1	Avslag	medioavslag	bergkrystall	3	1
T27565	143	90	92	nø	Lok. 1	Avslag	mikroavslag	flint	1	1
T27565	144	90	92	nø	Lok. 1	Avslag	mikroavslag	kvarts	4	1
T27565	146	90	92	nø	Lok. 1	Prepareringsavslag	flekkefront	flint	1	1
T27565	145	90	92	nø	Lok. 1	Avslag	mikroavslag	bergkrystall	1	1
T27565	147	90	92	sø	Lok. 1	Flekk	mikroflekke	flint	1	1
T27565	148	90	92	sø	Lok. 1	Avslag	medioavslag	flint	5	1
T27565	149	90	92	sø	Lok. 1	Avslag	medioavslag	kvarts	13	1
T27565	150	90	92	sø	Lok. 1	Avslag	medioavslag	bergkrystall	1	1
T27565	151	90	92	sø	Lok. 1	Avslag	mikroavslag	bergkrystall	1	1
T27565	152	90	92	sø	Lok. 1	Kjerne	bipolar kjerne	flint	1	1
T27565	153	90	92	sø	Lok. 1	Kjerne	ubestemt kjerne	kvarts	1	1
T27565	154	90	92	sø	Lok. 1	Kjerne	ubestemt kjerne	kvarts	1	1
T27565	155	90	93	sø	Lok. 1	Avslag	medioavslag	flint	1	1
T27565	156	90	93	nø	Lok. 1	Diagnostisk avslag	flekkelignende avslag	flint	1	1

T27565	157	90	93	sv	Lok. 1	Avslag	medioavslag	flint	2	1
T27565	158	90	93	sv	Lok. 1	Avslag	medioavslag	kvarts	1	1
T27565	159	90	93	nv	Lok. 1	Avslag	medioavslag	flint	2	1
T27565	160	90	93	nv	Lok. 1	Avslag	medioavslag	kvarts	3	1
T27565	161	90	93	nv	Lok. 1	Avslag	medioavslag	bergkrystall	1	1
T27565	162	90	93	nv	Lok. 1	Diagnostisk avslag	flekkelignende avslag	flint	1	1
T27565	163	90	93	nv	Lok. 1	Kjerne	ubestemt kjerne	kvarts	1	1
T27565	164	90	94	sv	Lok. 1	Avslag	medioavslag	flint	1	1
T27565	165	90	94	nv	Lok. 1	Avslag	medioavslag	bergkrystall	1	1
T27565	166	90	94	nv	Lok. 1	Avslag	mikroavslag	flint	2	1
T27565	167	90	94	nø	Lok. 1	Avslag	medioavslag	flint	3	1
T27565	168	90	94	nø	Lok. 1	Avslag	medioavslag	kvarts	8	1
T27565	169	90	94	nø	Lok. 1	Avslag	mikroavslag	flint	2	1
T27565	170	90	94	nø	Lok. 1	Avslag	mikroavslag	kvarts	6	1
T27565	171	90	94	sø	Lok. 1	Avslag	medioavslag	flint	7	1
T27565	172	90	94	sø	Lok. 1	Avslag	medioavslag	kvarts	8	1
T27565	173	90	94	sø	Lok. 1	Avslag	medioavslag	flint	2	1
T27565	174	90	94	sø	Lok. 1	Avslag	mikroavslag	kvarts	12	1
T27565	175	90	94	sø	Lok. 1	Kjerne	ubestemt kjerne	flint	1	1
T27565	176	90	94	sø	Lok. 1	Kjerne	ubestemt kjerne	kvarts	1	1
T27565	177	90	95	nø	Lok. 1	Avslag	medioavslag	flint	4	1
T27565	181	90	95	nø	Lok. 1	Diagnostisk avslag	flekkelignende avslag	flint	1	1
T27565	178	90	95	nø	Lok. 1	Avslag	medioavslag	kvarts	4	1
T27565	179	90	95	nø	Lok. 1	Avslag	mikroavslag	flint	2	1
T27565	180	90	95	nø	Lok. 1	Avslag	mikroavslag	kvarts	2	1
T27565	182	90	95	nv	Lok. 1	Avslag	medioavslag	flint	2	1
T27565	183	90	95	nv	Lok. 1	Avslag	medioavslag	kvarts	8	1
T27565	184	90	95	nv	Lok. 1	Avslag	mikroavslag	kvarts	9	1
T27565	185	90	95	sø	Lok. 1	Avslag	medioavslag	flint	8	1
T27565	186	90	95	sø	Lok. 1	Avslag	medioavslag	kvarts	8	1
T27565	187	90	95	sø	Lok. 1	Avslag	mikroavslag	flint	2	1
T27565	188	90	95	sø	Lok. 1	Avslag	mikroavslag	kvarts	2	1

T27565	189	90	95	sv	Lok. 1	Avslag	medioavslag	flint	8	1
T27565	190	90	95	sv	Lok. 1	Avslag	medioavslag	kvarts	30	1
T27565	191	90	95	sv	Lok. 1	Avslag	mikroavslag	flint	4	1
T27565	192	90	95	sv	Lok. 1	Avslag	mikroavslag	kvarts	30	1
T27565	193	90	95	sv	Lok. 1	Kjerne	ubestemt kjerne	kvarts	1	1
T27565	194	90	96	sø	Lok. 1	Avslag	medioavslag	flint	3	1
T27565	195	90	96	sø	Lok. 1	Avslag	medioavslag	kvarts	2	1
T27565	196	90	96	sø	Lok. 1	Avslag	mikroavslag	kvarts	1	1
T27565	197	90	96	nv	Lok. 1	Avslag	medioavslag	flint	3	1
T27565	198	90	96	nv	Lok. 1	Avslag	medioavslag	kvarts	2	1
T27565	199	90	96	nv	Lok. 1	Avslag	mikroavslag	kvarts	3	1
T27565	200	90	96	sv	Lok. 1	Avslag	medioavslag	flint	7	1
T27565	201	90	96	sv	Lok. 1	Avslag	medioavslag	kvarts	2	1
T27565	202	90	96	sv	Lok. 1	Avslag	mikroavslag	kvarts	1	1
T27565	203	90	96	sv	Lok. 1	Avslag	mikroavslag	bergkrystall	1	1
T27565	204	90	96	nø	Lok. 1	Avslag	medioavslag	flint	3	1
T27565	205	90	96	nø	Lok. 1	Avslag	medioavslag	kvarts	6	1
T27565	206	90	96	nø	Lok. 1	Avslag	mikroavslag	flint	2	1
T27565	207	90	96	nø	Lok. 1	Avslag	mikroavslag	kvarts	3	1
T27565	208	90	96	nø	Lok. 1	Skraiper	endeskraper	flint	1	1
T27565	209	90	97	nv	Lok. 1	Avslag	medioavslag	flint	1	1
T27565	210	90	97	nv	Lok. 1	Avslag	medioavslag	kvarts	3	1
T27565	211	90	97	nv	Lok. 1	Avslag	mikroavslag	flint	1	1
T27565	212	90	97	sv	Lok. 1	Avslag	medioavslag	flint	1	1
T27565	213	90	97	sv	Lok. 1	Avslag	mikroavslag	flint	2	1
T27565	214	90	97	sv	Lok. 1	Avslag	mikroavslag	kvarts	3	1
T27565	215	90	97	sv	Lok. 1	Kjerne	ubestemt kjerne	kvarts	1	1
T27565	216	90	97	sø	Lok. 1	Avslag	medioavslag	flint	2	1
T27565	217	90	97	sø	Lok. 1	Avslag	medioavslag	kvarts	2	1
T27565	218	90	97	sø	Lok. 1	Avslag	mikroavslag	flint	4	1
T27565	219	90	97	sø	Lok. 1	Diagnostisk avslag	cortexflekke	flint	1	1
T27565	220	90	97	sø	Lok. 1	Kjerne	kjølformet kjerne	flint	1	1

T27565	221	90	97	nø	Lok. 1	Avslag	medioavslag	flint	6	1
T27565	222	90	97	nø	Lok. 1	Avslag	medioavslag	kvarts	4	1
T27565	223	90	97	nø	Lok. 1	Kjernefragment	plattformkjernefragment	flint	1	1
T27565	224	90	98	sv	Lok. 1	Avslag	medioavslag	flint	4	1
T27565	225	90	98	nv	Lok. 1	Avslag	medioavslag	flint	5	1
T27565	226	90	98	nv	Lok. 1	Avslag	mikroavslag	flint	2	1
T27565	227	90	98	nv	Lok. 1	Avslag	mikroavslag	kvarts	1	1
T27565	228	91	87	nø	Lok. 1	Avslag	medioavslag	flint	4	1
T27565	229	91	88	nv	Lok. 1	Avslag	medioavslag	flint	2	1
T27565	230	91	88	nv	Lok. 1	Avslag	medioavslag	flint	1	1
T27565	231	91	88	nø	Lok. 1	Avslag	medioavslag	flint	1	1
T27565	232	91	88	nø	Lok. 1	Avslag	medioavslag	kvarts	2	1
T27565	233	91	88	nø	Lok. 1	Avslag	mikroavslag	flint	1	1
T27565	234	91	92	nø	Lok. 1	Avslag	medioavslag	flint	3	1
T27565	235	91	92	sv	Lok. 1	Avslag	medioavslag	flint	3	1
T27565	236	91	92	sv	Lok. 1	Kjerne	bipolar kjerne	flint	1	1
T27565	237	91	92	nv	Lok. 1	Avslag	medioavslag	flint	1	1
T27565	238	91	92	nv	Lok. 1	Retusjert flekke	retusjert medioflekke	flint	1	1
T27565	239	91	92	sø	Lok. 1	Avslag	medioavslag	flint	2	1
T27565	240	91	92	sø	Lok. 1	Avslag	medioavslag	kvarts	2	1
T27565	241	91	92	sø	Lok. 1	Avslag	mikroavslag	flint	1	1
T27565	242	91	92	sø	Lok. 1	Avslag	mikroavslag	kvarts	1	1
T27565	243	91	92	sø	Lok. 1	Skraiper	flekkeskraiper	flint	1	1
T27565	244	91	93	nø	Lok. 1	Flekke	medioflekke	flint	1	1
T27565	245	91	93	nø	Lok. 1	Flekke	mikroflekke	flint	1	1
T27565	246	91	93	nø	Lok. 1	Avslag	medioavslag	flint	8	1
T27565	247	91	93	nø	Lok. 1	Avslag	medioavslag	kvarts	7	1
T27565	248	91	93	nø	Lok. 1	Kjerne	bipolar kjerne	flint	1	1
T27565	249	91	93	nø	Lok. 1	Prepareringsavslag	plattformavslag	flint	1	1
T27565	250	91	93	sø	Lok. 1	Flekke	mikroflekke	flint	2	1
T27565	251	91	93	sø	Lok. 1	Avslag	medioavslag	flint	9	1
T27565	252	91	93	sø	Lok. 1	Avslag	medioavslag	bergkristall	3	1

T27565	253	91	93	SØ	Lok. 1	Avslag	mikroavslag	flint	9	1
T27565	254	91	93	SØ	Lok. 1	Avslag	mikroavslag	kvarts	2	1
T27565	255	91	93	SØ	Lok. 1	Kjerne	ubestemt kjerne	kvarts	1	1
T27565	256	91	93	SV	Lok. 1	Flekk	mikroflekk	flint	1	1
T27565	257	91	93	SV	Lok. 1	Avslag	medioavslag	flint	2	1
T27565	258	91	93	SV	Lok. 1	Avslag	medioavslag	kvarts	8	1
T27565	259	91	93	SV	Lok. 1	Avslag	medioavslag	flint	1	1
T27565	260	91	93	SV	Lok. 1	Avslag	mikroavslag	flint	1	1
T27565	261	91	93	SV	Lok. 1	Avslag	mikroavslag	kvarts	2	1
T27565	262	91	93	NV	Lok. 1	Avslag	medioavslag	flint	5	1
T27565	263	91	93	NV	Lok. 1	Avslag	medioavslag	kvarts	4	1
T27565	264	91	93	NV	Lok. 1	Avslag	mikroavslag	flint	1	1
T27565	265	91	93	NV	Lok. 1	Avslag	mikroavslag	bergkrystall	1	1
T27565	266	91	93	NV	Lok. 1	Kjerne	bipolar kjerne	flint	1	1
T27565	267	91	94	NV	Lok. 1	Avslag	medioavslag	flint	4	1
T27565	268	91	94	NV	Lok. 1	Avslag	medioavslag	kvarts	2	1
T27565	269	91	94	NØ	Lok. 1	Avslag	medioavslag	flint	6	1
T27565	270	91	94	NØ	Lok. 1	Avslag	medioavslag	kvarts	8	1
T27565	271	91	94	NØ	Lok. 1	Avslag	medioavslag	flint	1	1
T27565	272	91	94	NØ	Lok. 1	Avslag	mikroavslag	kvarts	3	1
T27565	274	91	94	SØ	Lok. 1	Avslag	medioavslag	kvarts	7	1
T27565	273	91	94	SØ	Lok. 1	Avslag	medioavslag	flint	6	1
T27565	275	91	94	SØ	Lok. 1	Avslag	mikroavslag	flint	3	1
T27565	276	91	94	SØ	Lok. 1	Avslag	mikroavslag	kvarts	2	1
T27565	277	91	94	SØ	Lok. 1	Retusjert avslag	retusjert medioavslag	flint	1	1
T27565	278	91	94	SV	Lok. 1	Avslag	medioavslag	flint	3	1
T27565	279	91	94	SV	Lok. 1	Avslag	medioavslag	kvarts	8	1
T27565	280	91	94	SV	Lok. 1	Avslag	mikroavslag	flint	6	1
T27565	281	91	94	SV	Lok. 1	Avslag	mikroavslag	kvarts	6	1
T27565	282	91	94	SV	Lok. 1	Skraiper	endeskraper	flint	1	1
T27565	283	91	95	SV	Lok. 1	Avslag	medioavslag	flint	2	1
T27565	284	91	95	SV	Lok. 1	Avslag	medioavslag	kvarts	3	1

T27565	285	91	95	sø	Lok. 1	Flekk	medioflekk	flint	2	1
T27565	286	91	95	sø	Lok. 1	Flekk	mikroflekk	flint	1	1
T27565	288	91	95	sø	Lok. 1	Avslag	medioavslag	kvarts	2	1
T27565	287	91	95	sø	Lok. 1	Avslag	medioavslag	flint	1	1
T27565	289	91	95	nv	Lok. 1	Flekk	mikroflekk	flint	2	1
T27565	290	91	95	nv	Lok. 1	Avslag	medioavslag	flint	5	1
T27565	291	91	95	nv	Lok. 1	Avslag	medioavslag	kvarts	4	1
T27565	292	91	95	nv	Lok. 1	Avslag	mikroavslag	kvarts	4	1
T27565	293	91	95	nø	Lok. 1	Avslag	medioavslag	kvarts	2	1
T27565	294	91	95	nø	Lok. 1	Avslag	mikroavslag	flint	3	1
T27565	295	91	95	nø	Lok. 1	Kjernefragment	ubestemt kjernefragment	flint	1	1
T27565	296	91	96	nø	Lok. 1	Flekk	mikroflekk	flint	1	1
T27565	297	91	96	nø	Lok. 1	Avslag	medioavslag	flint	1	1
T27565	298	91	96	nø	Lok. 1	Avslag	medioavslag	kvarts	1	1
T27565	299	91	96	nø	Lok. 1	Avslag	mikroavslag	flint	1	1
T27565	300	91	96	sø	Lok. 1	Avslag	medioavslag	flint	3	1
T27565	301	91	96	sø	Lok. 1	Avslag	medioavslag	kvarts	2	1
T27565	302	91	96	sø	Lok. 1	Avslag	mikroavslag	flint	2	1
T27565	303	91	96	sø	Lok. 1	Avslag	mikroavslag	kvarts	1	1
T27565	305	91	96	nv	Lok. 1	Avslag	medioavslag	kvarts	3	1
T27565	304	91	96	nv	Lok. 1	Avslag	medioavslag	flint	2	1
T27565	306	91	96	nv	Lok. 1	Avslag	mikroavslag	flint	3	1
T27565	307	91	96	nv	Lok. 1	Avslag	mikroavslag	kvarts	3	1
T27565	308	91	96	sv	Lok. 1	Avslag	medioavslag	flint	2	1
T27565	309	91	96	sv	Lok. 1	Avslag	medioavslag	kvarts	2	1
T27565	310	91	96	sv	Lok. 1	Avslag	medioavslag	kvartsitt	1	1
T27565	311	91	96	sv	Lok. 1	Avslag	mikroavslag	flint	4	1
T27565	312	91	96	sv	Lok. 1	Avslag	mikroavslag	kvarts	1	1
T27565	313	91	96	sv	Lok. 1	Kjernefragment	bipolart kjernefragment	flint	1	1
T27565	314	91	97	nø	Lok. 1	Avslag	medioavslag	flint	2	1
T27565	315	91	97	nø	Lok. 1	Avslag	medioavslag	kvarts	2	1

T27565	316	91	97	nø	Lok. 1	Avslag	mikroavslag	flint	2	1
T27565	317	91	97	sø	Lok. 1	Flekk	mikroflekk	flint	1	1
T27565	318	91	97	sø	Lok. 1	Avslag	medioavslag	flint	2	1
T27565	319	91	97	sø	Lok. 1	Avslag	mikroavslag	flint	2	1
T27565	320	91	97	sø	Lok. 1	Avslag	mikroavslag	kvarts	3	1
T27565	321	91	97	sø	Lok. 1	Kjerne	konisk kjerne	bergkrystall	1	1
T27565	322	91	97	nv	Lok. 1	Avslag	medioavslag	flint	4	1
T27565	323	91	97	nv	Lok. 1	Avslag	mikroavslag	kvarts	3	1
T27565	324	91	97	sv	Lok. 1	Avslag	medioavslag	flint	5	1
T27565	325	91	97	sv	Lok. 1	Avslag	mikroavslag	kvarts	1	1
T27565	326	91	98	nø	Lok. 1	Avslag	medioavslag	kvarts	1	1
T27565	327	91	98	sv	Lok. 1	Avslag	medioavslag	flint	3	1
T27565	328	91	98	nv	Lok. 1	Avslag	medioavslag	flint	2	1
T27565	329	92	86	nø	Lok. 1	Avslag	medioavslag	flint	5	1
T27565	330	92	86	nø	Lok. 1	Avslag	medioavslag	kvarts	3	1
T27565	331	92	86	nø	Lok. 1	Avslag	medioavslag	bergkrystall	1	1
T27565	332	92	86	nø	Lok. 1	Avslag	mikroavslag	flint	1	1
T27565	333	92	87	sv	Lok. 1	Avslag	medioavslag	kvarts	1	1
T27565	334	92	87	sv	Lok. 1	Avslag	medioavslag	bergkrystall	1	1
T27565	335	92	87	sv	Lok. 1	Avslag	mikroavslag	flint	3	1
T27565	336	92	87	sv	Lok. 1	Kjerne	ubestemt kjerne	flint	1	1
T27565	337	92	87	sø	Lok. 1	Flekk	mikroflekk	flint	1	1
T27565	338	92	87	sø	Lok. 1	Avslag	medioavslag	flint	5	1
T27565	339	92	87	sø	Lok. 1	Avslag	medioavslag	kvarts	1	1
T27565	340	92	87	sø	Lok. 1	Avslag	medioavslag	kvartsitt	1	1
T27565	341	92	87	sø	Lok. 1	Avslag	mikroavslag	flint	5	1
T27565	342	92	87	nv	Lok. 1	Avslag	medioavslag	flint	7	1
T27565	343	92	87	nv	Lok. 1	Avslag	medioavslag	kvarts	4	1
T27565	344	92	87	nv	Lok. 1	Avslag	medioavslag	flint	1	1
T27565	345	92	87	nv	Lok. 1	Avslag	mikroavslag	flint	2	1
T27565	346	92	87	nv	Lok. 1	Avslag	mikroavslag	bergkrystall	2	1
T27565	347	92	87	nv	Lok. 1	Diagnostisk avslag	cortexflekk	flint	1	1

T27565	348	92	87	nv	Lok. 1	Kjerne	håndtakskjerne	kvarts	1	1
T27565	349	92	87	nø	Lok. 1	Avslag	medioavslag	flint	7	1
T27565	350	92	87	nø	Lok. 1	Avslag	medioavslag	kvarts	2	1
T27565	351	92	87	nø	Lok. 1	Avslag	mikroavslag	flint	3	1
T27565	352	92	87	nø	Lok. 1	Avslag	mikroavslag	kvarts	3	1
T27565	353	92	87	nø	Lok. 1	Kjerne	ubestemt kjerne	bergkrystall	1	1
T27565	354	92	87	nø	Lok. 1	Kjernefragment	bipolart kjernefragment	flint	1	1
T27565	358	92	88	nø	Lok. 1	Avslag	mikroavslag	kvarts	2	1
T27565	355	92	88	nø	Lok. 1	Avslag	medioavslag	flint	3	1
T27565	356	92	88	nø	Lok. 1	Avslag	medioavslag	kvarts	1	1
T27565	357	92	88	nø	Lok. 1	Avslag	mikroavslag	flint	3	1
T27565	359	92	88	sv	Lok. 1	Avslag	medioavslag	flint	3	1
T27565	360	92	88	sv	Lok. 1	Avslag	medioavslag	kvarts	3	1
T27565	361	92	88	nv	Lok. 1	Flekk	mikroflekk	flint	1	1
T27565	362	92	88	nv	Lok. 1	Avslag	medioavslag	flint	9	1
T27565	363	92	88	nv	Lok. 1	Avslag	medioavslag	kvarts	4	1
T27565	364	92	88	nv	Lok. 1	Avslag	mikroavslag	flint	1	1
T27565	366	92	88	nv	Lok. 1	Diagnostisk avslag	flekkelignende avslag	flint	1	1
T27565	365	92	88	nv	Lok. 1	Avslag	mikroavslag	kvarts	3	1
T27565	367	92	88	sø	Lok. 1	Avslag	medioavslag	flint	4	1
T27565	368	92	88	sø	Lok. 1	Avslag	mikroavslag	kvarts	1	1
T27565	369	92	88	sø	Lok. 1	Avslag	mikroavslag	flint	3	1
T27565	370	92	88	sø	Lok. 1	Skraiper	flekkeskraiper	flint	1	1
T27565	371	92	92	sø	Lok. 1	Avslag	medioavslag	flint	1	1
T27565	374	92	92	sø	Lok. 1	Avslag	mikroavslag	kvarts	1	1
T27565	372	92	92	sø	Lok. 1	Avslag	medioavslag	kvarts	1	1
T27565	373	92	92	sø	Lok. 1	Avslag	mikroavslag	flint	3	1
T27565	375	92	92	sø	Lok. 1	Slippeplate		bergart	1	1
T27565	376	92	92	nv	Lok. 1	Avslag	medioavslag	flint	1	1
T27565	377	92	92	nv	Lok. 1	Avslag	mikroavslag	flint	4	1
T27565	378	92	92	nø	Lok. 1	Avslag	medioavslag	flint	6	1
T27565	379	92	92	sv	Lok. 1	Avslag	medioavslag	flint	5	1

T27565	380	92	93	nv	Lok. 1	Avslag	medioavslag	flint	2	1
T27565	381	92	93	sv	Lok. 1	Avslag	medioavslag	flint	5	1
T27565	382	92	93	nø	Lok. 1	Avslag	medioavslag	flint	3	1
T27565	383	92	93	nø	Lok. 1	Avslag	mikroavslag	flint	1	1
T27565	384	92	93	sø	Lok. 1	Flekk	mikroflekk	flint	1	1
T27565	385	92	93	sø	Lok. 1	Avslag	medioavslag	flint	6	1
T27565	386	92	93	sø	Lok. 1	Avslag	medioavslag	kvarts	3	1
T27565	387	92	94	nv	Lok. 1	Avslag	medioavslag	flint	2	1
T27565	388	92	94	nv	Lok. 1	Avslag	medioavslag	kvarts	1	1
T27565	389	92	94	sø	Lok. 1	Flekk	mikroflekk	flint	2	1
T27565	390	92	94	sø	Lok. 1	Avslag	medioavslag	flint	3	1
T27565	391	92	94	sø	Lok. 1	Avslag	medioavslag	kvarts	6	1
T27565	392	92	94	sø	Lok. 1	Avslag	mikroavslag	flint	2	1
T27565	393	92	94	nø	Lok. 1	Avslag	medioavslag	flint	2	1
T27565	394	92	94	nø	Lok. 1	Avslag	medioavslag	kvarts	4	1
T27565	395	92	94	sv	Lok. 1	Avslag	medioavslag	flint	2	1
T27565	396	92	94	sv	Lok. 1	Avslag	medioavslag	kvarts	2	1
T27565	397	92	94	sv	Lok. 1	Avslag	mikroavslag	flint	3	1
T27565	398	92	95	sø	Lok. 1	Avslag	medioavslag	flint	2	1
T27565	399	92	95	sø	Lok. 1	Avslag	medioavslag	kvarts	3	1
T27565	400	92	95	sø	Lok. 1	Avslag	mikroavslag	flint	1	1
T27565	401	92	95	nv	Lok. 1	Avslag	medioavslag	flint	3	1
T27565	402	92	95	nv	Lok. 1	Avslag	medioavslag	kvarts	3	1
T27565	403	92	95	nv	Lok. 1	Kjerne	ubestemt kjerne	kvarts	1	1
T27565	407	92	95	nø	Lok. 1	Diagnostisk avslag	cortexflekk	flint	1	1
T27565	404	92	95	nø	Lok. 1	Avslag	medioavslag	flint	5	1
T27565	405	92	95	nø	Lok. 1	Avslag	medioavslag	kvarts	2	1
T27565	406	92	95	nø	Lok. 1	Kjernefragment	bipolar kjernefragment	flint	1	1
T27565	408	92	95	sv	Lok. 1	Avslag	medioavslag	flint	1	1
T27565	409	92	95	sv	Lok. 1	Avslag	medioavslag	kvartsitt	1	1
T27565	410	92	96	sv	Lok. 1	Avslag	medioavslag	flint	1	1
T27565	411	92	96	sv	Lok. 1	Avslag	medioavslag	kvarts	3	1

T27565	412	92	96		Lok. 1	Avslag	medioavslag	flint	3	1
T27565	413	92	96		Lok. 1	Avslag	medioavslag	kvarts	3	1
T27565	414	92	96		Lok. 1	Avslag	mikroavslag	kvarts	1	1
T27565	415	92	96		Lok. 1	Avslag	medioavslag	flint	2	1
T27565	416	92	96		Lok. 1	Avslag	medioavslag	kvarts	2	1
T27565	417	92	96		Lok. 1	Avslag	medioavslag	flint	1	1
T27565	418	92	97		Lok. 1	Avslag	medioavslag	flint	1	1
T27565	419	92	97		Lok. 1	Avslag	mikroavslag	bergkrystall	1	1
T27565	420	92	97		Lok. 1	Avslag	medioavslag	flint	1	1
T27565	421	92	97		Lok. 1	Avslag	medioavslag	kvarts	2	1
T27565	422	92	97		Lok. 1	Avslag	medioavslag	flint	5	1
T27565	423	92	97		Lok. 1	Avslag	medioavslag	kvarts	2	1
T27565	424	92	97		Lok. 1	Avslag	medioavslag	flint	4	1
T27565	425	92	97		Lok. 1	Avslag	mikroavslag	flint	1	1
T27565	426	92	98		Lok. 1	Avslag	medioavslag	flint	1	1
T27565	427	92	98		Lok. 1	Avslag	medioavslag	flint	1	1
T27565	428	92	98		Lok. 1	Avslag	medioavslag	flint	1	1
T27565	429	92	98		Lok. 1	Avslag	medioavslag	flint	1	1
T27565	430	92	98		Lok. 1	Avslag	medioavslag	kvarts	1	1
T27565	431	92	104		Lok. 1	Avslag	medioavslag	flint	1	1
T27565	432	93	86		Lok. 1	Avslag	medioavslag	flint	5	1
T27565	433	93	86		Lok. 1	Avslag	medioavslag	kvarts	4	1
T27565	434	93	86		Lok. 1	Flekk	mikroflekk	flint	2	1
T27565	435	93	86		Lok. 1	Avslag	medioavslag	flint	4	1
T27565	436	93	86		Lok. 1	Avslag	medioavslag	kvarts	4	1
T27565	437	93	86		Lok. 1	Avslag	mikroavslag	flint	3	1
T27565	438	93	87		Lok. 1	Avslag	medioavslag	flint	2	1
T27565	439	93	87		Lok. 1	Avslag	mikroavslag	flint	1	1
T27565	440	93	87		Lok. 1	Avslag	mikroavslag	kvarts	4	1
T27565	441	93	87		Lok. 1	Avslag	medioavslag	flint	2	1
T27565	442	93	87		Lok. 1	Avslag	medioavslag	kvarts	6	1
T27565	448	93	87		Lok. 1	Avslag	mikroavslag	bergkrystall	4	1

T27565	443	93	87	87	SV	Lok. 1	Flekk	mikroflekk	flint	2	1
T27565	444	93	87	87	SV	Lok. 1	Avslag	medioavslag	flint	5	1
T27565	445	93	87	87	SV	Lok. 1	Avslag	medioavslag	kvarts	5	1
T27565	446	93	87	87	SV	Lok. 1	Avslag	medioavslag	bergkrystall	4	1
T27565	447	93	87	87	SV	Lok. 1	Avslag	mikroavslag	flint	2	1
T27565	449	93	87	87	NV	Lok. 1	Avslag	medioavslag	flint	2	1
T27565	450	93	87	87	NV	Lok. 1	Avslag	medioavslag	kvarts	12	1
T27565	451	93	87	87	NV	Lok. 1	Avslag	medioavslag	bergkrystall	4	1
T27565	452	93	87	87	NV	Lok. 1	Avslag	mikroavslag	flint	2	1
T27565	453	93	87	87	NV	Lok. 1	Avslag	mikroavslag	kvarts	2	1
T27565	454	93	88	88	NV	Lok. 1	Avslag	medioavslag	flint	2	1
T27565	455	93	88	88	NV	Lok. 1	Avslag	medioavslag	kvarts	4	1
T27565	456	93	88	88	NV	Lok. 1	Borspiss	borspiss på flekke	flint	1	1
T27565	457	93	88	88	NV	Lok. 1	Retusjert flekke	retusjert makroflekk	flint	1	1
T27565	458	92	88	88	SV	Lok. 1	Avslag	medioavslag	flint	5	1
T27565	459	92	88	88	SV	Lok. 1	Avslag	medioavslag	kvarts	2	1
T27565	460	93	92	92	NV	Lok. 1	Avslag	medioavslag	flint	2	1
T27565	461	93	92	92	SV	Lok. 1	Avslag	medioavslag	flint	1	1
T27565	462	93	92	92	NØ	Lok. 1	Avslag	medioavslag	flint	4	1
T27565	463	93	92	92	SØ	Lok. 1	Avslag	medioavslag	flint	1	1
T27565	464	93	92	92	SØ	Lok. 1	Avslag	mikroavslag	flint	6	1
T27565	465	93	92	92	SØ	Lok. 1	Avslag	mikroavslag	kvarts	2	1
T27565	466	93	93	93	SV	Lok. 1	Avslag	medioavslag	flint	1	1
T27565	467	93	93	93	NV	Lok. 1	Flekk	mikroflekk	flint	1	1
T27565	468	93	93	93	NV	Lok. 1	Avslag	makroavslag	kvarts	1	1
T27565	469	93	93	93	NV	Lok. 1	Avslag	medioavslag	flint	1	1
T27565	470	93	93	93	NV	Lok. 1	Kjerne	ubestemt kjerne	kvarts	1	1
T27565	471	93	93	93	SØ	Lok. 1	Avslag	medioavslag	flint	2	1
T27565	472	93	93	93	SØ	Lok. 1	Avslag	medioavslag	kvarts	3	1
T27565	473	93	93	93	NØ	Lok. 1	Avslag	medioavslag	flint	3	1
T27565	474	93	93	93	NØ	Lok. 1	Avslag	mikroavslag	flint	2	1
T27565	475	93	93	93	NØ	Lok. 1	Avslag	mikroavslag	kvarts	2	1

T27565	476	93	94	nv	Lok. 1	Avslag	medioavslag	flint	5	1
T27565	477	93	94	nv	Lok. 1	Avslag	medioavslag	bergkrystall	1	1
T27565	478	93	94	nv	Lok. 1	Avslag	mikroavslag	flint	1	1
T27565	479	93	94	nv	Lok. 1	Kjernefragment	ubestemt kjernefragment	flint	1	1
T27565	480	93	94	sø	Lok. 1	Flekk	makroflekk	kvartsitt	1	1
T27565	481	93	94	sø	Lok. 1	Avslag	medioavslag	flint	2	1
T27565	482	93	94	sø	Lok. 1	Avslag	medioavslag	kvarts	5	1
T27565	483	93	94	sø	Lok. 1	Avslag	mikroavslag	flint	1	1
T27565	484	93	94	sø	Lok. 1	Avslag	mikroavslag	kvarts	2	1
T27565	485	93	94	nø	Lok. 1	Avslag	medioavslag	flint	6	1
T27565	486	93	94	nø	Lok. 1	Avslag	medioavslag	kvarts	2	1
T27565	487	93	94	sv	Lok. 1	Flekk	mikroflekk	flint	1	1
T27565	488	93	94	sv	Lok. 1	Avslag	medioavslag	flint	3	1
T27565	489	93	94	sv	Lok. 1	Avslag	mikroavslag	kvartsitt	1	1
T27565	490	93	94	sv	Lok. 1	Kjerne	ubestemt kjerne	kvarts	1	1
T27565	491	93	95	nv	Lok. 1	Flekk	medioflekk	flint	1	1
T27565	492	93	95	nv	Lok. 1	Avslag	medioavslag	flint	3	1
T27565	493	93	95	nv	Lok. 1	Avslag	mikroavslag	kvarts	2	1
T27565	494	93	95	sø	Lok. 1	Avslag	medioavslag	flint	1	1
T27565	495	93	95	sø	Lok. 1	Avslag	medioavslag	kvarts	5	1
T27565	496	93	95	sø	Lok. 1	Avslag	mikroavslag	kvarts	2	1
T27565	497	93	95	sv	Lok. 1	Avslag	medioavslag	kvartsitt	1	1
T27565	498	93	95	sv	Lok. 1	Avslag	medioavslag	bergkrystall	1	1
T27565	499	93	95	sv	Lok. 1	Avslag	mikroavslag	flint	4	1
T27565	500	93	95	nø	Lok. 1	Avslag	medioavslag	flint	2	1
T27565	501	93	95	nø	Lok. 1	Avslag	medioavslag	kvarts	1	1
T27565	502	93	95	nø	Lok. 1	Avslag	mikroavslag	flint	3	1
T27565	503	93	95	nø	Lok. 1	Avslag	mikroavslag	kvarts	2	1
T27565	504	93	96	nv	Lok. 1	Avslag	medioavslag	flint	2	1
T27565	505	93	96	nv	Lok. 1	Avslag	medioavslag	kvarts	2	1
T27565	506	93	96	nv	Lok. 1	Avslag	medioavslag	flint	1	1

T27565	507	93	96	nø	Lok. 1	Avslag	medioavslag	kvarts	2	1
T27565	508	93	96	nø	Lok. 1	Avslag	mikroavslag	flint	1	1
T27565	509	93	95	sv	Lok. 1	Flekk	mikroflekk	flint	1	1
T27565	510	93	95	sv	Lok. 1	Avslag	medioavslag	flint	2	1
T27565	511	93	95	sv	Lok. 1	Avslag	medioavslag	bergkrystall	1	1
T27565	512	93	95	sv	Lok. 1	Avslag	mikroavslag	flint	2	1
T27565	513	93	95	sv	Lok. 1	Avslag	mikroavslag	kvarts	3	1
T27565	514	93	95	sv	Lok. 1	Retusjert avslag	retusjert medioavslag	flint	1	1
T27565	515	93	96	slø	Lok. 1	Avslag	medioavslag	flint	2	1
T27565	516	93	96	slø	Lok. 1	Avslag	mikroavslag	kvarts	2	1
T27565	517	93	97	SV	Lok. 1	Avslag	medioavslag	flint	3	1
T27565	518	93	97	sø	Lok. 1	Avslag	medioavslag	flint	3	1
T27565	519	93	97	sø	Lok. 1	Avslag	medioavslag	kvarts	1	1
T27565	520	93	97	sø	Lok. 1	Kjerne	forarbeide til kjerne	kvarts	1	1
T27565	521	93	97	NV	Lok. 1	Avslag	medioavslag	flint	1	1
T27565	522	93	97	NV	Lok. 1	Avslag	mikroavslag	flint	1	1
T27565	523	94	86	SØ	Lok. 1	Avslag	medioavslag	flint	5	1
T27565	524	94	86	SØ	Lok. 1	Avslag	medioavslag	kvarts	2	1
T27565	525	94	86	SØ	Lok. 1	Avslag	mikroavslag	kvarts	1	1
T27565	526	94	86	SØ	Lok. 1	Diagnostisk avslag	flekkelignende avslag	flint	1	1
T27565	530	94	86	NØ	Lok. 1	Avslag	medioavslag	bergkrystall	1	1
T27565	527	94	86	NØ	Lok. 1	Avslag	makroavslag	kvarts	2	1
T27565	528	94	86	NØ	Lok. 1	Avslag	medioavslag	flint	4	1
T27565	529	94	86	NØ	Lok. 1	Avslag	medioavslag	kvarts	2	1
T27565	531	94	86	NØ	Lok. 1	Avslag	mikroavslag	flint	2	1
T27565	532	94	86	NØ	Lok. 1	Avslag	mikroavslag	kvarts	1	1
T27565	533	94	86	NØ	Lok. 1	Kjerne	ubestemt kjerne	bergkrystall	1	1
T27565	534	94	87	SV	Lok. 1	Avslag	medioavslag	flint	3	1
T27565	535	94	87	SV	Lok. 1	Avslag	medioavslag	kvarts	2	1
T27565	536	94	87	SV	Lok. 1	Avslag	medioavslag	bergkrystall	1	1
T27565	537	94	87	SV	Lok. 1	Avslag	medioavslag	flint	1	1
T27565	538	94	87	SV	Lok. 1	Avslag	mikroavslag	flint	2	1

T27565	539	94	87	SV	Lok. 1	Avslag	mikroavslag	kvarts	1	1
T27565	540	94	87	NV	Lok. 1	Avslag	medioavslag	flint	4	1
T27565	541	94	87	NV	Lok. 1	Avslag	medioavslag	kvarts	1	1
T27565	542	94	87	NV	Lok. 1	Avslag	mikroavslag	flint	3	1
T27565	543	94	87	SØ	Lok. 1	Avslag	medioavslag	bergkrystall	6	1
T27565	544	94	87	SØ	Lok. 1	Avslag	mikroavslag	flint	2	1
T27565	545	94	87	SØ	Lok. 1	Avslag	mikroavslag	bergkrystall	1	1
T27565	546	94	87	NØ	Lok. 1	Avslag	medioavslag	kvarts	3	1
T27565	547	94	87	NØ	Lok. 1	Avslag	medioavslag	kvartsitt	1	1
T27565	548	94	87	NØ	Lok. 1	Avslag	medioavslag	bergkrystall	1	1
T27565	549	94	87	NØ	Lok. 1	Avslag	mikroavslag	bergkrystall	1	1
T27565	550	94	87	NØ	Lok. 1	Kjernefragment	ubestemt kjernefragment	bergkrystall	1	1
T27565	551	94	88	SV	Lok. 1	Avslag	medioavslag	flint	2	1
T27565	552	94	88	SV	Lok. 1	Avslag	medioavslag	kvarts	1	1
T27565	553	94	88	SV	Lok. 1	Avslag	medioavslag	bergkrystall	2	1
T27565	554	94	88	SV	Lok. 1	Avslag	medioavslag	flint	2	1
T27565	555	94	88	SV	Lok. 1	Avslag	medioavslag	kvarts	1	1
T27565	556	94	92	SV	Lok. 1	Avslag	medioavslag	flint	2	1
T27565	557	94	92	SV	Lok. 1	Avslag	medioavslag	kvarts	1	1
T27565	558	94	92	SV	Lok. 1	Avslag	mikroavslag	flint	1	1
T27565	559	94	92	NV	Lok. 1	Avslag	medioavslag	flint	1	1
T27565	560	94	92	SØ	Lok. 1	Avslag	medioavslag	flint	2	1
T27565	561	94	92	NØ	Lok. 1	Avslag	medioavslag	bergkrystall	1	1
T27565	562	94	92	NØ	Lok. 1	Avslag	mikroavslag	flint	1	1
T27565	563	94	93	SV	Lok. 1	Avslag	medioavslag	flint	6	1
T27565	564	94	93	SV	Lok. 1	Avslag	medioavslag	kvarts	1	1
T27565	565	94	93	SV	Lok. 1	Avslag	medioavslag	bergkrystall	2	1
T27565	566	94	93	SV	Lok. 1	Avslag	mikroavslag	flint	1	1
T27565	567	94	93	NV	Lok. 1	Flekk	makroflekk	flint	1	1
T27565	568	94	93	NV	Lok. 1	Avslag	medioavslag	flint	3	1
T27565	569	94	93	NV	Lok. 1	Avslag	medioavslag	kvarts	1	1

T27565	570	94	93	NV	Lok. 1	Avslag	mikroavslag	flint	1	1
T27565	571	94	93	NV	Lok. 1	Avslag	mikroavslag	kvarts	2	1
T27565	574	94	93	SØ	Lok. 1	Avslag	medioavslag	kvarts	2	1
T27565	572	94	93	SØ	Lok. 1	Flekk	mikroflekk	flint	1	1
T27565	573	94	93	SØ	Lok. 1	Avslag	medioavslag	flint	5	1
T27565	576	94	93	SØ	Lok. 1	Avslag	mikroavslag	kvarts	4	1
T27565	575	94	93	SØ	Lok. 1	Avslag	mikroavslag	flint	5	1
T27565	577	94	93	NØ	Lok. 1	Avslag	medioavslag	flint	2	1
T27565	578	94	93	NØ	Lok. 1	Avslag	medioavslag	kvarts	3	1
T27565	579	94	94	SV	Lok. 1	Avslag	medioavslag	flint	4	1
T27565	580	94	94	SV	Lok. 1	Avslag	mikroavslag	flint	1	1
T27565	581	94	94	NV	Lok. 1	Avslag	medioavslag	flint	1	1
T27565	582	94	94	NV	Lok. 1	Avslag	medioavslag	kvarts	3	1
T27565	583	94	94	NV	Lok. 1	Avslag	mikroavslag	kvarts	1	1
T27565	584	94	94	SØ	Lok. 1	Avslag	medioavslag	flint	2	1
T27565	585	94	94	SØ	Lok. 1	Avslag	mikroavslag	flint	1	1
T27565	586	94	94	NØ	Lok. 1	Avslag	medioavslag	flint	5	1
T27565	587	94	95	SV	Lok. 1	Avslag	medioavslag	flint	10	1
T27565	588	94	95	SV	Lok. 1	Avslag	medioavslag	kvarts	3	1
T27565	589	94	95	SV	Lok. 1	Avslag	mikroavslag	flint	1	1
T27565	590	94	95	SV	Lok. 1	Diagnostisk avslag	flekkelignende avslag	flint	1	1
T27565	591	94	95	NV	Lok. 1	Avslag	medioavslag	flint	4	1
T27565	592	94	95	NV	Lok. 1	Avslag	mikroavslag	flint	3	1
T27565	593	94	95	SØ	Lok. 1	Flekk	mikroflekk	flint	1	1
T27565	594	94	95	SØ	Lok. 1	Avslag	medioavslag	flint	4	1
T27565	595	94	95	SØ	Lok. 1	Avslag	mikroavslag	kvarts	1	1
T27565	596	94	95	NØ	Lok. 1	Avslag	medioavslag	flint	1	1
T27565	597	94	95	NØ	Lok. 1	Avslag	medioavslag	kvarts	2	1
T27565	598	94	95	NØ	Lok. 1	Avslag	mikroavslag	flint	1	1
T27565	599	94	96	SV	Lok. 1	Avslag	medioavslag	flint	5	1
T27565	600	94	96	SV	Lok. 1	Avslag	mikroavslag	flint	1	1
T27565	601	94	96	NV	Lok. 1	Avslag	medioavslag	flint	3	1

T27565	602	94	96	NØ	Lok. 1	Flekk	mikroflekk	flint	1	1
T27565	603	94	96	NØ	Lok. 1	Avslag	medioavslag	flint	2	1
T27565	604	94	98	SV	Lok. 1	Avslag	medioavslag	flint	1	1
T27565	605	94	98	SV	Lok. 1	Avslag	mikroavslag	flint	1	1
T27565	606	95	91	NØ	Lok. 1	Avslag	medioavslag	flint	1	1
T27565	607	95	91	NØ	Lok. 1	Avslag	mikroavslag	flint	1	1
T27565	608	95	92	SV	Lok. 1	Avslag	medioavslag	flint	1	1
T27565	609	95	92	NV	Lok. 1	Flekk	medioflekk	flint	1	1
T27565	610	95	92	NV	Lok. 1	Avslag	medioavslag	flint	4	1
T27565	611	95	92	NV	Lok. 1	Avslag	medioavslag	kvarts	2	1
T27565	612	95	92	NV	Lok. 1	Avslag	mikroavslag	bergkrystall	1	1
T27565	613	95	92	NV	Lok. 1	Kjerne	ubestemt kjerne	kvarts	1	1
T27565	616	95	92	SØ	Lok. 1	Kjernefragment	bipolart kjernefragment	bergkrystall	1	1
T27565	614	95	92	SØ	Lok. 1	Avslag	medioavslag	flint	3	1
T27565	615	95	92	SØ	Lok. 1	Avslag	mikroavslag	flint	2	1
T27565	617	95	92	NØ	Lok. 1	Avslag	medioavslag	flint	4	1
T27565	618	95	92	NØ	Lok. 1	Avslag	medioavslag	kvarts	1	1
T27565	619	95	93	SV	Lok. 1	Avslag	medioavslag	flint	3	1
T27565	620	95	93	SV	Lok. 1	Avslag	medioavslag	kvarts	3	1
T27565	621	95	93	SV	Lok. 1	Avslag	mikroavslag	flint	1	1
T27565	622	95	93	SV	Lok. 1	Avslag	mikroavslag	kvarts	1	1
T27565	623	95	93	SV	Lok. 1	Avslag	mikroavslag	bergkrystall	1	1
T27565	624	95	93	SV	Lok. 1	Kjerne	ubestemt kjerne	bergkrystall	1	1
T27565	625	95	93	NV	Lok. 1	Avslag	medioavslag	flint	7	1
T27565	626	95	93	NV	Lok. 1	Avslag	medioavslag	kvarts	2	1
T27565	627	95	93	NV	Lok. 1	Avslag	medioavslag	kvartsitt	1	1
T27565	628	95	93	NV	Lok. 1	Avslag	medioavslag	bergkrystall	2	1
T27565	629	95	93	NV	Lok. 1	Avslag	mikroavslag	flint	2	1
T27565	630	95	93	NV	Lok. 1	Avslag	mikroavslag	bergkrystall	2	1
T27565	631	95	93	SØ	Lok. 1	Avslag	medioavslag	flint	1	1
T27565	632	95	93	SØ	Lok. 1	Avslag	medioavslag	kvarts	3	1
T27565	633	95	93	SØ	Lok. 1	Avslag	medioavslag	flint	1	1

T27565	634	95	93	SØ	Lok. 1	Avslag	mikroavslag	flint	2	1
T27565	635	95	93	SØ	Lok. 1	Avslag	mikroavslag	bergkrystall	1	1
T27565	636	95	93	NØ	Lok. 1	Avslag	medioavslag	flint	6	1
T27565	637	95	93	NØ	Lok. 1	Avslag	medioavslag	kvarts	4	1
T27565	638	95	94	SV	Lok. 1	Avslag	medioavslag	flint	1	1
T27565	639	95	94	SV	Lok. 1	Avslag	medioavslag	kvarts	2	1
T27565	640	95	94	NV	Lok. 1	Avslag	medioavslag	flint	4	1
T27565	641	95	94	NV	Lok. 1	Avslag	medioavslag	bergkrystall	1	1
T27565	642	95	94	SØ	Lok. 1	Avslag	medioavslag	flint	2	1
T27565	643	95	94	NØ	Lok. 1	Flekk	medioflekk	flint	1	1
T27565	644	95	94	NØ	Lok. 1	Avslag	medioavslag	flint	4	1
T27565	645	95	94	NØ	Lok. 1	Avslag	medioavslag	bergkrystall	1	1
T27565	646	95	94	NØ	Lok. 1	Avslag	mikroavslag	flint	1	1
T27565	647	95	95	SV	Lok. 1	Avslag	medioavslag	flint	3	1
T27565	648	95	95	NØ	Lok. 1	Avslag	medioavslag	flint	2	1
T27565	649	96	88	SV	Lok. 1	Avslag	mikroavslag	flint	1	1
T27565	650	96	91	SV	Lok. 1	Avslag	medioavslag	flint	1	1
T27565	651	96	91	NV	Lok. 1	Avslag	medioavslag	flint	4	1
T27565	652	96	91	NV	Lok. 1	Avslag	medioavslag	kvarts	1	1
T27565	653	96	91	NV	Lok. 1	Avslag	mikroavslag	flint	1	1
T27565	654	96	91	SØ	Lok. 1	Flekk	mikroflekk	flint	1	1
T27565	655	96	91	SØ	Lok. 1	Avslag	medioavslag	flint	1	1
T27565	656	96	91	SØ	Lok. 1	Avslag	medioavslag	kvarts	1	1
T27565	657	96	91	SØ	Lok. 1	Avslag	mikroavslag	kvarts	1	1
T27565	658	96	91	NØ	Lok. 1	Avslag	medioavslag	flint	2	1
T27565	659	96	91	NØ	Lok. 1	Avslag	medioavslag	kvarts	1	1
T27565	660	96	91	NØ	Lok. 1	Avslag	medioavslag	bergkrystall	3	1
T27565	661	96	91	NØ	Lok. 1	Avslag	mikroavslag	flint	1	1
T27565	662	96	91	NØ	Lok. 1	Avslag	mikroavslag	bergkrystall	1	1
T27565	666	96	92	SV	Lok. 1	Avslag	mikroavslag	flint	1	1
T27565	663	96	92	SV	Lok. 1	Flekk	mikroflekk	flint	1	1
T27565	664	96	92	SV	Lok. 1	Avslag	medioavslag	flint	7	1

T27565	665	96	92	SV	Lok. 1	Avslag	medioavslag	bergkrystall	3	1
T27565	667	96	92	NV	Lok. 1	Avslag	medioavslag	flint	3	1
T27565	668	96	92	NV	Lok. 1	Avslag	medioavslag	kvarts	1	1
T27565	669	96	92	NV	Lok. 1	Avslag	mikroavslag	kvarts	1	1
T27565	670	96	92	SØ	Lok. 1	Avslag	medioavslag	flint	1	1
T27565	671	96	92	NØ	Lok. 1	Avslag	medioavslag	flint	3	1
T27565	672	96	92	NØ	Lok. 1	Avslag	medioavslag	kvarts	3	1
T27565	673	96	93	SV	Lok. 1	Avslag	medioavslag	flint	1	1
T27565	674	96	93	NV	Lok. 1	Avslag	medioavslag	flint	3	1
T27565	675	96	93	NV	Lok. 1	Avslag	medioavslag	kvarts	5	1
T27565	676	96	93	NV	Lok. 1	Kjerne	bipolar kjerne	kvarts	1	1
T27565	677	96	93	SØ	Lok. 1	Avslag	medioavslag	flint	4	1
T27565	678	96	93	NØ	Lok. 1	Flekk	mikroflekk	flint	1	1
T27565	679	96	94	SV	Lok. 1	Avslag	medioavslag	flint	6	1
T27565	680	96	94	SV	Lok. 1	Avslag	mikroavslag	flint	3	1
T27565	681	96	94	NV	Lok. 1	Avslag	medioavslag	flint	2	1
T27565	682	96	94	SØ	Lok. 1	Avslag	medioavslag	flint	1	1
T27565	683	96	94	SØ	Lok. 1	Avslag	mikroavslag	flint	2	1
T27565	684	96	94	NØ	Lok. 1	Avslag	medioavslag	flint	3	1
T27565	685	96	94	NØ	Lok. 1	Avslag	medioavslag	kvarts	2	1
T27565	686	96	95	SV	Lok. 1	Flekk	mikroflekk	flint	1	1
T27565	687	96	95	SV	Lok. 1	Avslag	medioavslag	kvarts	1	1
T27565	688	96	96	SV	Lok. 1	Kjerne	bipolar kjerne	flint	1	1
T27565	689	96	104	SV	Lok. 1	Avslag	medioavslag	kvarts	1	1
T27565	690	97	91	SØ	Lok. 1	Avslag	medioavslag	flint	3	1
T27565	691	97	92	SV	Lok. 1	Avslag	medioavslag	flint	3	1
T27565	692	97	92	SV	Lok. 1	Avslag	mikroavslag	kvarts	1	1
T27565	693	97	92	NV	Lok. 1	Avslag	medioavslag	flint	4	1
T27565	694	97	92	SØ	Lok. 1	Avslag	medioavslag	flint	2	1
T27565	695	97	92	NØ	Lok. 1	Avslag	medioavslag	flint	1	1
T27565	696	97	92	NØ	Lok. 1	Avslag	medioavslag	kvarts	4	1
T27565	697	97	92	NØ	Lok. 1	Avslag	mikroavslag	flint	1	1

T27565	698	98	88	SV	Lok. 1	Flekk	medioflekk	flint	1	1
T27565	699	98	92	SV	Lok. 1	Avslag	medioavslag	kvarts	1	1
T27565	700	98	92	SV	Lok. 1	Avslag	mikroavslag	flint	1	1
T27565	701	100	84	SV	Lok. 1	Avslag	medioavslag	flint	1	1
T27565	702	100	92	SV	Lok. 1	Avslag	medioavslag	flint	1	1
T27565	704	100	94	SV	Lok. 1	Avslag	medioavslag	bergkrystall	1	1
T27565	703	100	94	SV	Lok. 1	Avslag	medioavslag	flint	1	1
T27565	705	100	96	SV	Lok. 1	Avslag	medioavslag	flint	1	1
T27565	706	100	98	SV	Lok. 1	Avslag	medioavslag	flint	2	1
T27565	707	100	100	SV	Lok. 1	Avslag	medioavslag	flint	1	1
T27565	708	100	100	SV	Lok. 1	Avslag	medioavslag	kvarts	2	1
T27565	709	100	100	SØ	Lok. 1	Avslag	medioavslag	flint	1	1
T27565	710	100	100	NØ	Lok. 1	Avslag	medioavslag	flint	1	1
T27565	711	100	100	NØ	Lok. 1	Avslag	medioavslag	bergkrystall	1	1
T27565	712	104	92	SV	Lok. 1	Avslag	medioavslag	bergkrystall	2	1
T27565	713	87	95	NV	Lok. 1	Avslag	medioavslag	flint	1	2
T27565	714	87	95	NØ	Lok. 1	Avslag	makroavslag	flint	1	2
T27565	715	87	95	NØ	Lok. 1	Avslag	medioavslag	flint	4	2
T27565	716	87	96	NV	Lok. 1	Avslag	medioavslag	flint	1	2
T27565	717	87	96	NØ	Lok. 1	Avslag	medioavslag	flint	1	2
T27565	718	88	91	NØ	Lok. 1	Avslag	medioavslag	flint	3	2
T27565	719	88	91	NØ	Lok. 1	Avslag	mikroavslag	flint	1	2
T27565	720	88	92	NV	Lok. 1	Avslag	medioavslag	flint	3	2
T27565	721	88	92	NV	Lok. 1	Avslag	mikroavslag	flint	1	2
T27565	722	88	94	NV	Lok. 1	Avslag	medioavslag	flint	1	2
T27565	723	88	94	NØ	Lok. 1	Avslag	medioavslag	flint	1	2
T27565	724	88	95	SV	Lok. 1	Avslag	medioavslag	flint	9	2
T27565	725	88	95	NV	Lok. 1	Avslag	medioavslag	flint	1	2
T27565	726	88	95	NV	Lok. 1	Avslag	medioavslag	kvarts	1	2
T27565	727	88	95	SØ	Lok. 1	Avslag	medioavslag	flint	4	2
T27565	728	88	95	SØ	Lok. 1	Kjerne	ubestemt kjerne	bergkrystall	1	2
T27565	730	88	95	NØ	Lok. 1	Avslag	mikroavslag	flint	6	2

T27565	729	88	95	NØ	Lok. 1	Avslag	medioavslag	flint	3	2
T27565	731	88	96	SV	Lok. 1	Avslag	medioavslag	flint	4	2
T27565	732	88	96	SV	Lok. 1	Avslag	medioavslag	flint	1	2
T27565	733	88	96	NV	Lok. 1	Avslag	medioavslag	flint	3	2
T27565	734	88	96	NV	Lok. 1	Avslag	mikroavslag	flint	1	2
T27565	735	88	96	SØ	Lok. 1	Flekk	mikroflekk	flint	1	2
T27565	736	88	96	SØ	Lok. 1	Avslag	medioavslag	flint	10	2
T27565	737	88	96	SØ	Lok. 1	Avslag	medioavslag	kvarts	1	2
T27565	738	88	96	SØ	Lok. 1	Avslag	mikroavslag	flint	2	2
T27565	739	88	96	NØ	Lok. 1	Flekk	mikroflekk	flint	1	2
T27565	740	88	96	NØ	Lok. 1	Avslag	medioavslag	flint	3	2
T27565	741	88	96	NØ	Lok. 1	Avslag	medioavslag	kvarts	1	2
T27565	742	88	97	SV	Lok. 1	Avslag	medioavslag	flint	1	2
T27565	743	88	97	SV	Lok. 1	Avslag	mikroavslag	flint	1	2
T27565	744	88	97	SV	Lok. 1	Diagnostisk avslag	flekkelignende avslag	flint	1	2
T27565	745	88	97	NV	Lok. 1	Avslag	medioavslag	flint	4	2
T27565	746	89	91	SØ	Lok. 1	Flekk	medioflekk	flint	1	2
T27565	747	89	91	SØ	Lok. 1	Flekk	mikroflekk	flint	1	2
T27565	748	89	91	SØ	Lok. 1	Avslag	medioavslag	flint	3	2
T27565	749	89	91	SØ	Lok. 1	Avslag	medioavslag	kvarts	1	2
T27565	750	89	91	SØ	Lok. 1	Avslag	mikroavslag	flint	2	2
T27565	751	89	91	SØ	Lok. 1	Diagnostisk avslag	flekkelignende avslag	flint	1	2
T27565	752	89	92	SV	Lok. 1	Avslag	medioavslag	flint	4	2
T27565	753	89	92	SV	Lok. 1	Avslag	mikroavslag	flint	2	2
T27565	754	89	92	SV	Lok. 1	Diagnostisk avslag	flekkelignende avslag	flint	1	2
T27565	755	89	92	NV	Lok. 1	Avslag	medioavslag	flint	3	2
T27565	756	89	92	SØ	Lok. 1	Avslag	medioavslag	flint	3	2
T27565	757	89	92	NØ	Lok. 1	Flekk	mikroflekk	flint	1	2
T27565	758	89	92	NØ	Lok. 1	Avslag	medioavslag	flint	1	2
T27565	759	89	93	SV	Lok. 1	Avslag	medioavslag	flint	2	2
T27565	760	89	93	SV	Lok. 1	Avslag	medioavslag	bergkrystall	2	2
T27565	761	89	93	SV	Lok. 1	Avslag	mikroavslag	flint	2	2

T27565	762	89	93	SV	Lok. 1	Diagnostisk avslag	flekkelignende avslag	flint	1	2
T27565	763	89	93	NV	Lok. 1	Avslag	medioavslag	flint	2	2
T27565	764	89	93	SØ	Lok. 1	Avslag	medioavslag	flint	2	2
T27565	765	89	93	SØ	Lok. 1	Avslag	mikroavslag	flint	2	2
T27565	766	89	93	NØ	Lok. 1	Avslag	medioavslag	flint	2	2
T27565	768	89	93	NØ	Lok. 1	Avslag	mikroavslag	bergkrystall	1	2
T27565	767	89	93	NØ	Lok. 1	Avslag	mikroavslag	flint	1	2
T27565	769	89	94	SV	Lok. 1	Avslag	medioavslag	flint	2	2
T27565	770	89	94	NV	Lok. 1	Avslag	medioavslag	flint	1	2
T27565	771	89	94	SØ	Lok. 1	Avslag	medioavslag	flint	4	2
T27565	772	89	94	NØ	Lok. 1	Flekk	mikroflekk	flint	1	2
T27565	773	89	94	NØ	Lok. 1	Avslag	medioavslag	flint	10	2
T27565	774	89	94	NØ	Lok. 1	Avslag	medioavslag	kvarts	3	2
T27565	775	89	94	NØ	Lok. 1	Avslag	mikroavslag	flint	2	2
T27565	779	89	95	SV	Lok. 1	Avslag	mikroavslag	bergkrystall	1	2
T27565	776	89	95	SV	Lok. 1	Avslag	medioavslag	flint	5	2
T27565	777	89	95	SV	Lok. 1	Avslag	medioavslag	kvarts	1	2
T27565	778	89	95	SV	Lok. 1	Avslag	medioavslag	bergkrystall	1	2
T27565	780	89	95	NV	Lok. 1	Avslag	medioavslag	flint	4	2
T27565	781	89	95	NV	Lok. 1	Avslag	medioavslag	kvarts	4	2
T27565	782	89	95	NV	Lok. 1	Diagnostisk avslag	flekkelignende avslag	flint	1	2
T27565	783	89	95	SØ	Lok. 1	Flekk	mikroflekk	flint	1	2
T27565	784	89	95	SØ	Lok. 1	Flekk	mikroflekk	flint	1	2
T27565	785	89	95	SØ	Lok. 1	Avslag	medioavslag	flint	7	2
T27565	786	89	95	SØ	Lok. 1	Avslag	medioavslag	kvarts	2	2
T27565	787	89	95	SØ	Lok. 1	Avslag	mikroavslag	flint	2	2
T27565	790	89	95	NØ	Lok. 1	Avslag	mikroavslag	flint	3	2
T27565	788	89	95	NØ	Lok. 1	Avslag	medioavslag	flint	5	2
T27565	789	89	95	NØ	Lok. 1	Avslag	medioavslag	kvarts	1	2
T27565	791	89	96	SV	Lok. 1	Avslag	medioavslag	flint	5	2
T27565	792	89	96	SV	Lok. 1	Avslag	medioavslag	kvarts	1	2
T27565	793	89	96	SV	Lok. 1	Avslag	mikroavslag	flint	4	2

T27565	794	89	96	NV	Lok. 1	Flekke	medioflekke	flint	1	2
T27565	795	89	96	NV	Lok. 1	Avslag	medioavslag	flint	4	2
T27565	796	89	96	NV	Lok. 1	Avslag	medioavslag	kvarts	1	2
T27565	797	89	96	NV	Lok. 1	Avslag	mikroavslag	flint	3	2
T27565	798	89	96	NV	Lok. 1	Avslag	mikroavslag	bergkrystall	2	2
T27565	799	89	96	NV	Lok. 1	Kjerne	bipolar kjerne	flint	1	2
T27565	800	89	96	SØ	Lok. 1	Flekke	makroflekke	flint	1	2
T27565	801	89	96	SØ	Lok. 1	Avslag	medioavslag	flint	5	2
T27565	802	89	96	SØ	Lok. 1	Avslag	medioavslag	kvarts	2	2
T27565	804	89	96	SØ	Lok. 1	Kjerne	bipolar kjerne	flint	1	2
T27565	803	89	96	SØ	Lok. 1	Avslag	mikroavslag	flint	4	2
T27565	805	89	96	NØ	Lok. 1	Avslag	medioavslag	flint	3	2
T27565	806	89	96	NØ	Lok. 1	Kjerne	bipolar kjerne	flint	1	2
T27565	807	89	97	SV	Lok. 1	Flekke	mikroflekke	flint	1	2
T27565	808	89	97	SV	Lok. 1	Avslag	medioavslag	flint	2	2
T27565	809	89	97	SV	Lok. 1	Avslag	mikroavslag	flint	1	2
T27565	810	89	97	NV	Lok. 1	Avslag	medioavslag	flint	2	2
T27565	811	89	97	NV	Lok. 1	Avslag	medioavslag	kvarts	1	2
T27565	812	90	92	SØ	Lok. 1	Avslag	medioavslag	flint	3	2
T27565	813	90	92	SØ	Lok. 1	Avslag	mikroavslag	flint	1	2
T27565	814	90	92	SØ	Lok. 1	Kjerne	bipolar kjerne	bergkrystall	1	2
T27565	815	90	92	NØ	Lok. 1	Avslag	medioavslag	flint	2	2
T27565	816	90	92	NØ	Lok. 1	Avslag	medioavslag	kvarts	1	2
T27565	817	90	92	NØ	Lok. 1	Avslag	mikroavslag	flint	1	2
T27565	818	90	92	NØ	Lok. 1	Avslag	mikroavslag	kvarts	1	2
T27565	819	90	93	SV	Lok. 1	Avslag	medioavslag	flint	2	2
T27565	820	90	93	SV	Lok. 1	Kjernefragment	bipolart kjernefragment	bergkrystall	1	2
T27565	821	90	93	NV	Lok. 1	Avslag	medioavslag	flint	1	2
T27565	822	90	93	NV	Lok. 1	Kjerne	bipolar kjerne	flint	1	2
T27565	823	90	93	NØ	Lok. 1	Avslag	medioavslag	flint	3	2
T27565	824	90	94	SV	Lok. 1	Flekke	mikroflekke	flint	1	2
T27565	825	90	94	SV	Lok. 1	Avslag	medioavslag	flint	1	2

T27565	826	90	94	SV	Lok. 1	Kjerne	ubestemt kjerne	bergkrystall	1	2
T27565	827	90	94	NV	Lok. 1	Avslag	medioavslag	flint	3	2
T27565	828	90	94	NV	Lok. 1	Kjerne	bipolar kjerne	flint	1	2
T27565	829	90	94	SØ	Lok. 1	Flekk	mikroflekk	flint	1	2
T27565	830	90	94	SØ	Lok. 1	Avslag	medioavslag	flint	5	2
T27565	831	90	94	SØ	Lok. 1	Avslag	medioavslag	kvarts	4	2
T27565	832	90	94	SØ	Lok. 1	Avslag	medioavslag	bergkrystall	5	2
T27565	833	90	94	SØ	Lok. 1	Avslag	mikroavslag	flint	2	2
T27565	834	90	94	SØ	Lok. 1	Avslag	mikroavslag	kvarts	2	2
T27565	835	90	94	SØ	Lok. 1	Avslag	mikroavslag	bergkrystall	5	2
T27565	836	90	94	NØ	Lok. 1	Avslag	medioavslag	flint	1	2
T27565	837	90	94	NØ	Lok. 1	Avslag	medioavslag	kvarts	1	2
T27565	838	90	95	SV	Lok. 1	Avslag	medioavslag	flint	5	2
T27565	839	90	95	SV	Lok. 1	Avslag	medioavslag	kvarts	4	2
T27565	840	90	95	NV	Lok. 1	Avslag	medioavslag	flint	1	2
T27565	842	90	95	SØ	Lok. 1	Avslag	medioavslag	flint	1	2
T27565	841	90	95	SØ	Lok. 1	Flekk	mikroflekk	flint	1	2
T27565	843	90	95	NØ	Lok. 1	Flekk	mikroflekk	flint	1	2
T27565	844	90	95	NØ	Lok. 1	Avslag	medioavslag	kvarts	1	2
T27565	845	90	95	NØ	Lok. 1	Avslag	mikroavslag	flint	1	2
T27565	846	90	96	SV	Lok. 1	Avslag	medioavslag	flint	4	2
T27565	847	90	96	NV	Lok. 1	Avslag	medioavslag	flint	2	2
T27565	848	90	96	NV	Lok. 1	Avslag	mikroavslag	flint	1	2
T27565	849	90	96	SØ	Lok. 1	Avslag	medioavslag	flint	7	2
T27565	850	90	96	SØ	Lok. 1	Avslag	medioavslag	kvarts	1	2
T27565	851	90	96	SØ	Lok. 1	Kjerne	bipolar kjerne	flint	1	2
T27565	852	90	96	SØ	Lok. 1	Kjerne	bipolar kjerne	flint	1	2
T27565	853	90	96	NØ	Lok. 1	Avslag	medioavslag	flint	1	2
T27565	854	90	97	SV	Lok. 1	Avslag	medioavslag	flint	3	2
T27565	855	90	97	SV	Lok. 1	Avslag	medioavslag	kvarts	2	2
T27565	856	90	97	SV	Lok. 1	Avslag	mikroavslag	flint	1	2
T27565	857	90	97	NV	Lok. 1	Avslag	medioavslag	flint	3	2

T27565	858	90	97	NV	Lok. 1	Avslag	medioavslag	kvarts	1	2
T27565	859	90	97	NV	Lok. 1	Avslag	mikroavslag	flint	1	2
T27565	860	90	97	SØ	Lok. 1	Avslag	makroavslag	flint	1	2
T27565	861	90	97	NØ	Lok. 1	Avslag	medioavslag	flint	1	2
T27565	862	90	97	NØ	Lok. 1	Avslag	medioavslag	kvarts	1	2
T27565	863	91	87	NØ	Lok. 1	Avslag	medioavslag	flint	3	2
T27565	864	91	87	NØ	Lok. 1	Avslag	medioavslag	bergkrystall	1	2
T27565	865	91	87	NØ	Lok. 1	Avslag	mikroavslag	flint	2	2
T27565	866	91	88	NV	Lok. 1	Avslag	medioavslag	flint	3	2
T27565	867	91	88	NV	Lok. 1	Avslag	medioavslag	kvarts	1	2
T27565	868	91	88	NV	Lok. 1	Avslag	mikroavslag	flint	1	2
T27565	869	91	88	NV	Lok. 1	Kjerne	konisk kjerne	flint	1	2
T27565	870	91	88	NV	Lok. 1	Kjerne	bipolar kjerne	flint	1	2
T27565	871	91	88	NØ	Lok. 1	Avslag	medioavslag	flint	6	2
T27565	872	91	88	NØ	Lok. 1	Avslag	medioavslag	bergkrystall	2	2
T27565	873	91	88	NØ	Lok. 1	Avslag	mikroavslag	flint	1	2
T27565	874	91	88	NØ	Lok. 1	Avslag	mikroavslag	bergkrystall	1	2
T27565	875	91	88	NØ	Lok. 1	Kjerne	bipolar kjerne	flint	1	2
T27565	876	91	93	SV	Lok. 1	Avslag	medioavslag	flint	2	2
T27565	877	91	93	NV	Lok. 1	Avslag	medioavslag	flint	3	2
T27565	878	91	93	NV	Lok. 1	Avslag	mikroavslag	flint	2	2
T27565	879	91	93	SØ	Lok. 1	Avslag	medioavslag	flint	3	2
T27565	880	91	93	SØ	Lok. 1	Avslag	medioavslag	kvarts	2	2
T27565	881	91	93	SØ	Lok. 1	Avslag	medioavslag	bergkrystall	2	2
T27565	882	91	93	SØ	Lok. 1	Avslag	mikroavslag	flint	4	2
T27565	883	91	93	SØ	Lok. 1	Kjerne	ubestemt kjerne	bergkrystall	1	2
T27565	884	91	93	SØ	Lok. 1	Retusjert avslag	retusjert medioavslag	flint	1	2
T27565	885	91	93	NØ	Lok. 1	Avslag	medioavslag	flint	1	2
T27565	886	91	94	SV	Lok. 1	Avslag	mikroavslag	flint	1	2
T27565	887	91	94	SV	Lok. 1	Kjernefragment	bipolar kjernefragment	flint	1	2
T27565	891	91	94	NV	Lok. 1	Diagnostisk avslag	flekkelignende avslag	flint	1	2
T27565	888	91	94	NV	Lok. 1	Avslag	medioavslag	flint	2	2

T27565	889	91	94	NV	Lok. 1	Avslag	medioavslag	kvarts	1	2
T27565	890	91	94	NV	Lok. 1	Avslag	mikroavslag	flint	2	2
T27565	892	91	94	SØ	Lok. 1	Avslag	medioavslag	flint	1	2
T27565	893	91	94	SØ	Lok. 1	Avslag	medioavslag	bergkrystall	1	2
T27565	894	91	94	SØ	Lok. 1	Avslag	mikroavslag	flint	1	2
T27565	895	91	94	SØ	Lok. 1	Avslag	mikroavslag	bergkrystall	1	2
T27565	896	91	94	NØ	Lok. 1	Avslag	medioavslag	flint	2	2
T27565	897	91	94	NØ	Lok. 1	Diagnostisk avslag	flekkeliggende avslag	flint	1	2
T27565	898	91	95	NV	Lok. 1	Avslag	medioavslag	flint	4	2
T27565	899	91	95	NV	Lok. 1	Avslag	mikroavslag	flint	2	2
T27565	900	91	95	NV	Lok. 1	Retusjert flekke	retusjert medioflekke	flint	1	2
T27565	901	91	95	SØ	Lok. 1	Flekke	mikroflekke	flint	1	2
T27565	902	91	95	SØ	Lok. 1	Avslag	medioavslag	flint	3	2
T27565	903	91	95	SØ	Lok. 1	Kjerne	bipolar kjerne	flint	1	2
T27565	904	91	96	SV	Lok. 1	Avslag	medioavslag	flint	3	2
T27565	905	91	96	SV	Lok. 1	Avslag	mikroavslag	flint	1	2
T27565	906	91	96	SV	Lok. 1	Avslag	medioavslag	flint	3	2
T27565	907	91	96	SV	Lok. 1	Avslag	mikroavslag	flint	1	2
T27565	908	91	96	NV	Lok. 1	Flekke	makroflekke	flint	1	2
T27565	909	91	96	NV	Lok. 1	Avslag	medioavslag	flint	1	2
T27565	910	91	96	NV	Lok. 1	Avslag	mikroavslag	flint	2	2
T27565	911	91	96	NV	Lok. 1	Kjerne	bipolar kjerne	flint	1	2
T27565	912	91	96	SØ	Lok. 1	Avslag	medioavslag	flint	2	2
T27565	913	91	96	NØ	Lok. 1	Avslag	medioavslag	flint	2	2
T27565	914	91	97	SV	Lok. 1	Avslag	medioavslag	flint	2	2
T27565	915	91	97	SØ	Lok. 1	Avslag	medioavslag	flint	1	2
T27565	916	91	97	NØ	Lok. 1	Avslag	medioavslag	flint	1	2
T27565	917	91	97	NØ	Lok. 1	Avslag	mikroavslag	flint	2	2
T27565	918	92	86	NØ	Lok. 1	Flekke	mikroflekke	flint	1	2
T27565	919	92	86	NØ	Lok. 1	Avslag	medioavslag	flint	5	2
T27565	920	92	86	NØ	Lok. 1	Avslag	mikroavslag	flint	1	2
T27565	921	92	87	SV	Lok. 1	Avslag	medioavslag	flint	2	2

T27565	922	92	87	SV	Lok. 1	Avslag	mikroavslag	flint	2	2
T27565	924	92	87	NV	Lok. 1	Avslag	medioavslag	flint	3	2
T27565	925	92	87	NV	Lok. 1	Avslag	medioavslag	bergkrystall	4	2
T27565	926	92	87	NV	Lok. 1	Avslag	mikroavslag	flint	5	2
T27565	923	92	87	NV	Lok. 1	Flekk	mikroflekk	flint	1	2
T27565	927	92	87	NV	Lok. 1	Diagnostisk avslag	flekkelignende avslag	flint	1	2
T27565	928	92	87	SØ	Lok. 1	Avslag	medioavslag	flint	2	2
T27565	929	92	87	SØ	Lok. 1	Kjerne	bipolar kjerne	flint	1	2
T27565	930	92	87	NØ	Lok. 1	Avslag	medioavslag	flint	2	2
T27565	931	92	87	NØ	Lok. 1	Kjerne	bipolar kjerne	flint	1	2
T27565	932	92	88	SV	Lok. 1	Flekk	mikroflekk	flint	1	2
T27565	933	92	88	SV	Lok. 1	Avslag	medioavslag	flint	7	2
T27565	934	92	88	SV	Lok. 1	Avslag	mikroavslag	flint	3	2
T27565	935	92	88	NV	Lok. 1	Avslag	medioavslag	flint	1	2
T27565	936	92	88	NV	Lok. 1	Avslag	medioavslag	bergkrystall	2	2
T27565	937	92	88	NV	Lok. 1	Avslag	mikroavslag	flint	1	2
T27565	938	92	88	SØ	Lok. 1	Avslag	medioavslag	flint	1	2
T27565	939	92	88	SØ	Lok. 1	Avslag	mikroavslag	bergkrystall	1	2
T27565	940	92	88	NØ	Lok. 1	Avslag	medioavslag	flint	4	2
T27565	941	92	88	NØ	Lok. 1	Avslag	mikroavslag	flint	1	2
T27565	942	92	88	NØ	Lok. 1	Avslag	mikroavslag	bergkrystall	1	2
T27565	943	92	93	SØ	Lok. 1	Avslag	medioavslag	flint	3	2
T27565	944	92	93	SØ	Lok. 1	Avslag	medioavslag	bergkrystall	2	2
T27565	945	92	93	SØ	Lok. 1	Avslag	mikroavslag	flint	2	2
T27565	946	92	93	SØ	Lok. 1	Avslag	mikroavslag	bergkrystall	1	2
T27565	947	92	93	NØ	Lok. 1	Avslag	medioavslag	flint	2	2
T27565	948	92	94	SV	Lok. 1	Avslag	medioavslag	flint	3	2
T27565	949	92	94	NV	Lok. 1	Avslag	medioavslag	flint	4	2
T27565	950	92	94	NV	Lok. 1	Avslag	mikroavslag	flint	1	2
T27565	951	92	94	SØ	Lok. 1	Flekk	mikroflekk	flint	1	2
T27565	952	92	94	SØ	Lok. 1	Avslag	medioavslag	flint	2	2
T27565	953	92	94	SØ	Lok. 1	Avslag	medioavslag	kvarts	1	2

T27565	954	92	94	SØ	Lok. 1	Avslag	medioavslag	bergkrystall	1	2
T27565	955	92	94	SØ	Lok. 1	Avslag	mikroavslag	flint	4	2
T27565	956	92	94	SØ	Lok. 1	Avslag	mikroavslag	bergkrystall	3	2
T27565	957	92	94	SØ	Lok. 1	Kjerne	bipolar kjerne	flint	1	2
T27565	958	92	94	NØ	Lok. 1	Avslag	medioavslag	kvarts	2	2
T27565	959	92	95	SV	Lok. 1	Avslag	medioavslag	flint	4	2
T27565	961	92	95	NV	Lok. 1	Avslag	mikroavslag	flint	1	2
T27565	960	92	95	NV	Lok. 1	Avslag	medioavslag	flint	1	2
T27565	962	92	95	SØ	Lok. 1	Kjerne	ubestemt kjerne	bergkrystall	1	2
T27565	963	92	95	NØ	Lok. 1	Avslag	medioavslag	flint	2	2
T27565	964	92	96	SV	Lok. 1	Avslag	medioavslag	flint	1	2
T27565	965	92	96	SV	Lok. 1	Avslag	medioavslag	kvarts	1	2
T27565	966	92	96	NV	Lok. 1	Avslag	mikroavslag	flint	1	2
T27565	967	92	96	SØ	Lok. 1	Avslag	medioavslag	flint	1	2
T27565	968	92	96	NØ	Lok. 1	Avslag	medioavslag	flint	1	2
T27565	969	92	96	NØ	Lok. 1	Avslag	medioavslag	kvarts	1	2
T27565	970	92	96	NØ	Lok. 1	Avslag	mikroavslag	bergkrystall	1	2
T27565	971	92	97	SV	Lok. 1	Avslag	medioavslag	bergkrystall	1	2
T27565	972	92	97	SV	Lok. 1	Avslag	medioavslag	flint	1	2
T27565	973	92	97	SV	Lok. 1	Avslag	medioavslag	bergkrystall	1	2
T27565	974	92	97	SØ	Lok. 1	Avslag	medioavslag	flint	3	2
T27565	975	92	97	SØ	Lok. 1	Avslag	mikroavslag	flint	1	2
T27565	976	93	86	SØ	Lok. 1	Avslag	medioavslag	flint	2	1
T27565	977	93	86	SØ	Lok. 1	Avslag	mikroavslag	bergkrystall	2	1
T27565	979	93	86	SØ	Lok. 1	Flekk	medioflekk	flint	1	1
T27565	978	93	86	SØ	Lok. 1	Flekk	medioflekk	flint	1	1
T27565	980	93	86	NØ	Lok. 1	Avslag	medioavslag	flint	3	2
T27565	981	93	86	NØ	Lok. 1	Avslag	medioavslag	bergkrystall	1	2
T27565	982	93	86	NØ	Lok. 1	Avslag	mikroavslag	flint	1	2
T27565	983	93	86	NØ	Lok. 1	Flekk	medioflekk	flint	1	2
T27565	984	93	86	NØ	Lok. 1	Flekk	medioflekk	flint	1	2
T27565	985	93	86	NØ	Lok. 1	Kjerne	bipolar kjerne	flint	1	2

T27565	986	93	86	NØ	Lok. 1	Kjerne	ubestemt kjerne	bergkrystall	1	2
T27565	987	93	87	SV	Lok. 1	Avslag	medioavslag	flint	2	2
T27565	988	93	87	SV	Lok. 1	Avslag	medioavslag	bergkrystall	2	2
T27565	989	93	87	SV	Lok. 1	Avslag	mikroavslag	flint	1	2
T27565	990	93	87	NV	Lok. 1	Avslag	medioavslag	kvarts	1	2
T27565	991	93	87	NV	Lok. 1	Avslag	medioavslag	bergkrystall	3	2
T27565	992	93	87	NV	Lok. 1	Avslag	mikroavslag	bergkrystall	1	2
T27565	993	93	87	NV	Lok. 1	Kjerne	ubestemt kjerne	bergkrystall	1	2
T27565	994	93	87	SØ	Lok. 1	Avslag	medioavslag	flint	3	2
T27565	995	93	87	SØ	Lok. 1	Kjerne	bipolar kjerne	bergkrystall	1	2
T27565	996	93	87	NØ	Lok. 1	Avslag	medioavslag	flint	2	2
T27565	997	93	87	NØ	Lok. 1	Avslag	mikroavslag	flint	1	2
T27565	998	93	87	NØ	Lok. 1	Diagnostisk avslag	flekkelignende avslag	flint	1	2
T27565	999	93	88	SV	Lok. 1	Avslag	medioavslag	flint	7	2
T27565	1000	93	88	SV	Lok. 1	Flekk	medioflekk	flint	1	2
T27565	1001	93	88	SV	Lok. 1	Kjerne	bipolar kjerne	flint	1	2
T27565	1002	93	88	NV	Lok. 1	Avslag	medioavslag	flint	3	2
T27565	1003	93	88	NV	Lok. 1	Avslag	medioavslag	bergkrystall	1	2
T27565	1004	93	88	NV	Lok. 1	Kjernefragment	bipolar kjernefragment	flint	1	2
T27565	1005	93	92	SØ	Lok. 1	Avslag		flint	3	2
T27565	1006	93	92	NØ	Lok. 1	Avslag	medioavslag	flint	5	2
T27565	1007	93	92	NØ	Lok. 1	Avslag	mikroavslag	flint	4	2
T27565	1008	93	93	SV	Lok. 1	Avslag	medioavslag	flint	2	2
T27565	1009	93	93	SV	Lok. 1	Avslag	medioavslag	kvartsitt	1	2
T27565	1013	93	93	SV	Lok. 1	Kjerne	bipolar kjerne	flint	1	2
T27565	1010	93	93	SV	Lok. 1	Avslag	medioavslag	bergkrystall	1	2
T27565	1011	93	93	SV	Lok. 1	Avslag	mikroavslag	flint	1	2
T27565	1012	93	93	SV	Lok. 1	Kjerne	bipolar kjerne	flint	1	2
T27565	1014	93	93	NV	Lok. 1	Avslag	mikroavslag	flint	1	2
T27565	1015	93	93	NV	Lok. 1	Flekk	mikroflekk	flint	1	2
T27565	1016	93	93	NV	Lok. 1	Flekk	mikroflekk	flint	1	2
T27565	1017	93	93	NV	Lok. 1	Flekk	mikroflekk	bergkrystall	1	2

T27565	1018	93	93	SØ	Lok. 1	Avslag	medioavslag	flint	3	2
T27565	1019	93	93	SØ	Lok. 1	Avslag	mikroavslag	flint	4	2
T27565	1020	93	93	SØ	Lok. 1	Avslag	mikroavslag	bergkrystall	1	2
T27565	1021	93	93	SØ	Lok. 1	Kjernefragment	bipolart kjernefragment	flint	1	2
T27565	1022	93	93	NØ	Lok. 1	Avslag	medioavslag	flint	1	2
T27565	1023	93	93	NØ	Lok. 1	Avslag	medioavslag	bergkrystall	2	2
T27565	1024	93	93	NØ	Lok. 1	Avslag	mikroavslag	flint	1	2
T27565	1025	93	93	NØ	Lok. 1	Kjerne	bipolar kerne	bergkrystall	1	2
T27565	1026	93	94	SV	Lok. 1	Avslag	medioavslag	bergkrystall	1	2
T27565	1027	93	94	SV	Lok. 1	Kjerne	ubestemt kerne	bergkrystall	1	2
T27565	1028	93	94	SØ	Lok. 1	Avslag	medioavslag	kvarts	1	2
T27565	1029	93	94	SØ	Lok. 1	Kjernefragment	bipolart kjernefragment	flint	1	2
T27565	1030	93	94	NØ	Lok. 1	Avslag	medioavslag	flint	1	2
T27565	1031	93	94	NØ	Lok. 1	Avslag	medioavslag	bergkrystall	2	2
T27565	1032	93	95	SV	Lok. 1	Avslag	medioavslag	flint	2	2
T27565	1033	93	95	NV	Lok. 1	Avslag	medioavslag	flint	2	2
T27565	1034	93	95	NV	Lok. 1	Avslag	mikroavslag	flint	1	2
T27565	1035	93	95	SØ	Lok. 1	Avslag	medioavslag	flint	1	2
T27565	1036	93	95	NØ	Lok. 1	Avslag	medioavslag	flint	3	2
T27565	1037	93	95	NØ	Lok. 1	Kjernefragment	ubestemt kjernefragment	bergkrystall	1	2
T27565	1038	93	95	NØ	Lok. 1	Blokk		kvartsitt	1	2
T27565	1041	93	96	SV	Lok. 1	Avslag	medioavslag	flint	1	2
T27565	1039	93	96	SV	Lok. 1	Avslag	medioavslag	flint	2	2
T27565	1040	93	96	SV	Lok. 1	Avslag	medioavslag	bergkrystall	2	2
T27565	1042	93	96	NV	Lok. 1	Avslag	medioavslag	flint	2	2
T27565	1043	93	96	NV	Lok. 1	Avslag	medioavslag	bergkrystall	1	2
T27565	1044	94	86	SØ	Lok. 1	Avslag	medioavslag	flint	1	2
T27565	1045	94	86	SØ	Lok. 1	Avslag	mikroavslag	bergkrystall	1	2
T27565	1046	94	86	SØ	Lok. 1	Avslag	medioavslag	flint	1	2
T27565	1047	94	86	SØ	Lok. 1	Kjernefragment	bipolart kjernefragment	flint	1	2
T27565	1048	94	86	NØ	Lok. 1	Avslag		flint	1	2

T27565	1049	94	86	NØ	Lok. 1	Avslag	mikroavslag	flint	1	2
T27565	1050	94	86	NØ	Lok. 1	Kjerne	bipolar kjerne	bergkrystall	1	2
T27565	1051	94	87	NØ	Lok. 1	Avslag	medioavslag	flint	1	2
T27565	1053	94	88	SV	Lok. 1	Avslag	medioavslag	flint	1	2
T27565	1052	94	88	SV	Lok. 1	Flekk	makrofflekk	flint	1	2
T27565	1054	94	88	SV	Lok. 1	Avslag	medioavslag	kvarts	2	2
T27565	1055	94	88	SV	Lok. 1	Avslag	medioavslag	bergkrystall	2	2
T27565	1056	94	93	SV	Lok. 1	Avslag	makroavslag	kvartsitt	1	2
T27565	1057	94	93	SØ	Lok. 1	Avslag	medioavslag	flint	1	2
T27565	1058	94	93	NØ	Lok. 1	Avslag	medioavslag	flint	1	2
T27565	1059	94	93	NØ	Lok. 1	Kjerne	bipolar kjerne	bergkrystall	1	2
T27565	1060	94	93	NØ	Lok. 1	Kjerne	ubestemt kjerne	bergkrystall	1	2
T27565	1061	94	94	NV	Lok. 1	Avslag	medioavslag	flint	2	2
T27565	1062	94	94	SØ	Lok. 1	Avslag	medioavslag	flint	1	2
T27565	1063	94	94	NØ	Lok. 1	Avslag	makroavslag	flint	1	2
T27565	1064	94	94	NØ	Lok. 1	Avslag	medioavslag	flint	2	2
T27565	1065	94	94	NØ	Lok. 1	Avslag	mikroavslag	flint	1	2
T27565	1066	94	94	NØ	Lok. 1	Avslag	mikroavslag	bergkrystall	1	2
T27565	1067	94	94	NØ	Lok. 1	Kjernefragment	bipolart kjernefragment	flint	1	2
T27565	1068	94	95	SV	Lok. 1	Avslag	medioavslag	flint	3	2
T27565	1069	94	95	SV	Lok. 1	Kjerne	bipolar kjerne	flint	1	2
T27565	1070	94	95	SV	Lok. 1	Retusjert avslag	retusjert medioavslag	flint	1	2
T27565	1071	94	95	NV	Lok. 1	Avslag	medioavslag	flint	2	2
T27565	1072	94	95	SØ	Lok. 1	Avslag	medioavslag	bergkrystall	1	2
T27565	1073	95	92	NV	Lok. 1	Avslag	medioavslag	flint	1	2
T27565	1074	95	93	SV	Lok. 1	Avslag	mikroavslag	flint	1	2
T27565	1075	95	93	SV	Lok. 1	Kjerne	bipolar kjerne	flint	1	2
T27565	1076	95	93	NV	Lok. 1	Avslag	medioavslag	flint	1	2
T27565	1077	95	93	SØ	Lok. 1	Avslag	medioavslag	flint	2	2
T27565	1078	96	92	SV	Lok. 1	Avslag	medioavslag	flint	2	2
T27565	1079	96	92	SV	Lok. 1	Avslag	medioavslag	kvarts	1	2
T27565	1080	96	92	SV	Lok. 1	Avslag	medioavslag	bergkrystall	1	2

T27565	1081	96	92	SV	Lok. 1	Avslag	mikroavslag	bergkrySTALL	1	2
T27565	1083	87	96	NV	Lok. 1	Avslag	mikroavslag	flint	3	3
T27565	1082	87	96	NV	Lok. 1	Avslag	medioavslag	flint	2	3
T27565	1084	88	95	SV	Lok. 1	Avslag	medioavslag	flint	3	2
T27565	1085	88	95	SV	Lok. 1	Stikkel	kantstikkel	bergkrySTALL	1	2
T27565	1086	88	95	SØ	Lok. 1	Avslag	medioavslag	flint	5	3
T27565	1087	88	95	SØ	Lok. 1	Avslag	medioavslag	kvarts	1	3
T27565	1088	88	95	SØ	Lok. 1	Avslag	medioavslag	bergkrySTALL	1	3
T27565	1089	88	95	SØ	Lok. 1	Avslag	mikroavslag	flint	1	3
T27565	1090	88	95	SØ	Lok. 1	SkraPer	ubestemt skraPer	flint	1	3
T27565	1091	88	95	NØ	Lok. 1	Avslag	medioavslag	flint	5	3
T27565	1092	88	95	NØ	Lok. 1	Avslag	mikroavslag	flint	1	3
T27565	1093	88	95	NØ	Lok. 1	Kniv	platekniv	skifer	1	3
T27565	1094	88	96	SV	Lok. 1	Avslag	medioavslag	flint	7	3
T27565	1095	88	96	SV	Lok. 1	Avslag	mikroavslag	flint	3	3
T27565	1096	88	96	NV	Lok. 1	Avslag	medioavslag	flint	8	3
T27565	1097	88	96	NV	Lok. 1	Avslag	mikroavslag	flint	1	3
T27565	1098	88	96	SØ	Lok. 1	Avslag	medioavslag	flint	2	3
T27565	1099	88	96	SØ	Lok. 1	Avslag	mikroavslag	flint	1	3
T27565	1100	89	95	SV	Lok. 1	Avslag	medioavslag	flint	6	3
T27565	1105	89	95	NV	Lok. 1	Avslag	mikroavslag	flint	1	3
T27565	1102	89	95	NV	Lok. 1	Avslag	medioavslag	flint	9	3
T27565	1103	89	95	NV	Lok. 1	Avslag	medioavslag	kvarts	3	3
T27565	1104	89	95	NV	Lok. 1	Avslag	medioavslag	bergkrySTALL	1	3
T27565	1101	89	95	NV	Lok. 1	FleKke	mediofleKke	flint	1	3
T27565	1106	89	95	SØ	Lok. 1	Avslag	medioavslag	flint	10	3
T27565	1107	89	95	SØ	Lok. 1	Avslag	medioavslag	kvarts	1	3
T27565	1108	89	95	SØ	Lok. 1	Avslag	medioavslag	bergkrySTALL	1	3
T27565	1109	89	95	SØ	Lok. 1	Avslag	mikroavslag	flint	2	3
T27565	1110	89	95	SØ	Lok. 1	Kjernefragment	bipolart kjernefragment	flint	1	3
T27565	1111	89	95	SØ	Lok. 1	Retusjert avslag	retusjert medioavslag	flint	1	3
T27565	1112	89	95	NØ	Lok. 1	Avslag	medioavslag	flint	5	3

T27565	1113	89	95	NØ	Lok. 1	Avslag	medioavslag	bergkrystall	1	3
T27565	1114	89	96	SV	Lok. 1	Avslag	medioavslag	flint	5	3
T27565	1115	89	96	SV	Lok. 1	Avslag	medioavslag	kvartsitt	1	3
T27565	1116	89	96	SV	Lok. 1	Avslag	mikroavslag	flint	1	3
T27565	1117	89	96	NV	Lok. 1	Flekk	mikroflekk	flint	1	3
T27565	1118	89	96	NV	Lok. 1	Flekk	mikroflekk	flint	1	3
T27565	1119	89	96	NV	Lok. 1	Avslag	medioavslag	flint	4	3
T27565	1120	89	96	NV	Lok. 1	Avslag	mikroavslag	flint	4	3
T27565	1121	89	96	NV	Lok. 1	Kjerne	håndtakskjerne	flint	1	3
T27565	1124	89	96	SØ	Lok. 1	Avslag	medioavslag	bergkrystall	1	3
T27565	1122	89	96	SØ	Lok. 1	Flekk	mikroflekk	flint	1	3
T27565	1123	89	96	SØ	Lok. 1	Avslag	medioavslag	flint	8	3
T27565	1125	89	96	SØ	Lok. 1	Avslag	mikroavslag	flint	6	3
T27565	1126	89	96	SØ	Lok. 1	Kjerne	ubestemt kjerne	kvarts	1	3
T27565	1127	92	87	NV	Lok. 1	Flekk	makroflekk	flint	1	3
T27565	1128	92	87	NV	Lok. 1	Avslag	mikroavslag	flint	4	3
T27565	1129	92	87	NV	Lok. 1	Avslag	medioavslag	bergkrystall	2	3
T27565	1131	92	87	NV	Lok. 1	Avslag	mikroavslag	bergkrystall	1	3
T27565	1130	92	87	NV	Lok. 1	Avslag	mikroavslag	flint	1	3
T27565	1132	93	88	NØ	Lok. 1	Avslag	medioavslag	flint	1	3
T27565	1133	88	95	SV	Lok. 1	Flekk	makroflekk	flint	1	4
T27565	1134	88	95	SV	Lok. 1	Avslag	mikroavslag	flint	1	4
T27565	1135	88	95	SØ	Lok. 1	Avslag	medioavslag	flint	4	4
T27565	1136	88	95	SØ	Lok. 1	Avslag	mikroavslag	flint	2	4
T27565	1137	88	95	NØ	Lok. 1	Flekk	medioflekk	flint	1	4
T27565	1138	88	95	NØ	Lok. 1	Avslag	mikroavslag	flint	2	4
T27565	1139	88	96	SV	Lok. 1	Flekk	mikroflekk	flint	1	4
T27565	1140	88	96	SV	Lok. 1	Flekk	mikroflekk	flint	1	4
T27565	1141	88	96	SV	Lok. 1	Avslag	makroavslag	flint	1	4
T27565	1142	88	96	SV	Lok. 1	Avslag	medioavslag	flint	3	4
T27565	1143	88	96	SV	Lok. 1	Avslag	mikroavslag	flint	1	4
T27565	1144	88	96	NV	Lok. 1	Flekk	mikroflekk	flint	1	4

T27565	1145	88	96	NV	Lok. 1	Avslag	medioavslag	flint	6	4
T27565	1146	88	96	NV	Lok. 1	Avslag	mikroavslag	flint	5	4
T27565	1147	88	96	NØ	Lok. 1	Flekk	mikroflekk	flint	1	4
T27565	1148	88	96	NØ	Lok. 1	Avslag	medioavslag	flint	6	4
T27565	1149	88	96	NØ	Lok. 1	Avslag	mikroavslag	flint	5	4
T27565	1150	89	95	SV	Lok. 1	Avslag	medioavslag	flint	4	4
T27565	1151	89	95	SV	Lok. 1	Avslag	mikroavslag	flint	5	4
T27565	1152	89	95	SV	Lok. 1	Kjernefragment	bipolar kjernefragment	flint	1	4
T27565	1153	89	95	NV	Lok. 1	Avslag	medioavslag	flint	4	4
T27565	1154	89	95	NV	Lok. 1	Avslag	medioavslag	kvartsitt	1	4
T27565	1155	89	95	NV	Lok. 1	Avslag	mikroavslag	flint	1	4
T27565	1156	89	95	SØ	Lok. 1	Avslag	medioavslag	flint	2	4
T27565	1157	89	95	NØ	Lok. 1	Avslag	medioavslag	flint	3	4
T27565	1158	89	95	NØ	Lok. 1	Avslag	medioavslag	bergkrystall	2	4
T27565	1159	89	95	NØ	Lok. 1	Avslag	mikroavslag	flint	1	4
T27565	1160	89	96	SV	Lok. 1	Avslag	medioavslag	flint	1	4
T27565	1161	89	96	SØ	Lok. 1	Avslag	medioavslag	flint	2	4
T27565	1162	89	96	SØ	Lok. 1	Avslag	mikroavslag	flint	1	4
T27565	1163	89	96	SØ	Lok. 1	Kjerne	bipolar kjerne	flint	1	4
T27565	1164					Prøve	trekullprøve			
T27565	1165					Prøve	trekullprøve			
T27565	1166					Prøve	trekullprøve			
T27565	1167					Prøve	trekullprøve			
T27565	1168					Prøve	trekullprøve			
T27565	1169					Prøve	trekullprøve			
T27565	1170					Prøve	trekullprøve			
T27565	1171					Prøve	trekullprøve			
T27565	1172					Prøve	trekullprøve			
T27565	1173					Prøve	trekullprøve			
T27565	1174					Prøve	trekullprøve			
T27565	1175					Prøve	trekullprøve			
T27565	1176					Prøve	trekullprøve			

T27565	1177					Prøve	trekullprøve			
T27565	1178					Prøve	trekullprøve			
T27565	1179					Prøve	trekullprøve			
T27565	1180					Prøve	trekullprøve			
T27565	1181	88	96	SØ	Lok. 1	Slipeplate		sandstein	1	3
T27565	1182	88	96	SØ	Lok. 1	Slipeplate		sandstein	1	3
T27565	1183	89	96	SØ	Lok. 1	Slipeplate		sandstein	1	4
T27565	1184	89	96	SØ	Lok. 1	Slipeplate		sandstein	1	4
T27565	1185	89	95	SV	Lok. 1	Slipeplate		Sandstein	1	4

Funnliste Lok. 2, T27566

Museumsnr	Unr	X	Y	Kvadrant	Funnkontekst	Gjenstand	Form	Materiale	Antall	Mekanisk_Lag
T27566	0									
T27566	1	44.1832664	69.84509909		ID nummer 546, funnet ved rensing av felt 2c, in situ, og derfor målt inn med CPOS. Funnet i gulbrunt sandholdig gruslag.	Pilspiss	slipt pilspiss	skifer	1	1
T27566	2				Løsfunn funnet ved krafising av lok. 2c. Usikker kontekst.	Avslag	medioavslag	flint	3	Løsfunn
T27566	3				Løsfunn funnet ved krafising av lok. 2c. Usikker kontekst.	Avslag	mikroavslag	bergkrystall	1	Løsfunn
T27566	4				Løsfunn funnet ved krafising av lok. 2c. Usikker kontekst.	Avslag	medioavslag	skifer	1	Løsfunn
T27566	5				Løsfunn funnet ved krafising av lok. 2c. Usikker kontekst.	Avslag	medioavslag	flint	1	Løsfunn
T27566	6				Løsfunn funnet ved krafising av lok. 2c. Usikker kontekst.	Retusjert avslag	retusjert medioavslag	flint	1	Løsfunn
T27566	7				Løsfunn funnet ved krafising av lok. 2c. Usikker kontekst.	Kjerne	ubestemt kjerne	kvarts	1	Løsfunn
T27566	8	100	111	sø	Lok. 2c	Avslag	medioavslag	flint	1	1
T27566	9	102	112	sv	Lok. 2c	Avslag	medioavslag	flint	1	1
T27566	10	105	113	sv	Lok. 2c.	Avslag	mikroavslag	flint	2	1

T27566	11	105	113	SV	Lok. 2c.	Retusjert avslag	retusjert medioavslag	flint	1	1
T27566	12	105	116	SV	Lok. 2c.	Avslag	medioavslag	flint	1	1
T27566	13	106	116	SV	Lok. 2c.	Retusjert avslag	retusjert medioavslag	flint	1	1
T27566	14	108	109	SV	Lok. 2c.	Avslag	medioavslag	bergkrystall	1	1
T27566	15	108	114	SV	Lok. 2c.	Kjernefragment	ubestemt kjernefragment	flint	1	1
T27566	16	108	115	SØ	Lok. 2c.	Avslag	medioavslag	flint	1	1
T27566	17	108	118	SV	Lok. 2c.	Avslag	mikroavslag	flint	2	1
T27566	18	108	118	SV	Lok. 2c.	Kjerne	ubestemt kjerne	flint	1	1
T27566	19	109	107	NØ	Lok. 2c.	Avslag	medioavslag	kvarts	1	1
T27566	20	109	107	NØ	Lok. 2c.	Avslag	medioavslag	flint	1	1
T27566	21	109	107	NØ	Lok. 2c.	Avslag	fragment	flint	1	1
T27566	22	109	107	NØ	Lok. 2c.	Diagnostisk avslag	flekkelignende avslag	flint	1	1
T27566	23	109	108	NØ	Lok. 2c.	Avslag	mikroavslag	flint	2	1
T27566	24	109	108	NØ	Lok. 2c.	Avslag	mikroavslag	kvarts	1	1
T27566	25	109	108	NV	Lok. 2c.	Avslag	medioavslag	flint	4	1
T27566	26	109	108	NV	Lok. 2c.	Avslag	mikroavslag	flint	1	1
T27566	27	109	108	NV	Lok. 2c.	Avslag	medioavslag	flint	1	1
T27566	28	109	108	NV	Lok. 2c.	Avslag	medioavslag	flint	1	1
T27566	29	109	109	NØ	Lok. 2c.	Avslag	medioavslag	flint	1	1
T27566	30	109	109	NØ	Lok. 2c.	Prepareringsavslag	flekkefront	flint	1	1
T27566	31	109	109	NV	Lok. 2c.	Avslag	medioavslag	flint	3	1
T27566	32	109	109	NV	Lok. 2c.	Avslag	mikroavslag	kvarts	1	1
T27566	33	109	109	NV	Lok. 2c.	Diagnostisk avslag	flekkelignende avslag	flint	1	1
T27566	34	109	110	NØ	Lok. 2c.	Avslag	medioavslag	flint	1	1
T27566	35	109	110	NV	Lok. 2c.	Avslag	medioavslag	flint	2	1
T27566	36	109	113	SV	Lok. 2c.	Kjerne	bipolar kjerne	bergart	1	1
T27566	37	110	108	NØ	Lok. 2c.	Avslag	medioavslag	flint	1	1

T27566	38	110	108	nø	Lok. 2c.	Diagnostisk avslag	flekkeliggende avslag	flint	1	1
T27566	39	110	108	sv	Lok. 2c.	Avslag	medioavslag	flint	2	1
T27566	40	110	108	sv	Lok. 2c.	Avslag	mikroavslag	flint	2	1
T27566	41	110	108	sø	Lok. 2c.	Avslag	medioavslag	flint	3	1
T27566	42	110	108	sø	Lok. 2c.	Avslag	medioavslag	kvarts	1	1
T27566	43	110	108	sø	Lok. 2c.	Kjernefragment	plattformkjernefragment	flint	1	1
T27566	44	110	108	sø	Lok. 2c.	Meisel		skifer	1	1
T27566	45	110	109	sø	Lok. 2c.	Avslag	mikroavslag	flint	2	1
T27566	46	110	109	nv	Lok. 2c.	Avslag	medioavslag	flint	1	1
T27566	47	110	109	sv	Lok. 2c.	Avslag	medioavslag	flint	1	1
T27566	48	110	109	sv	Lok. 2c.	Avslag	mikroavslag	flint	1	1
T27566	49	110	109	sv	Lok. 2c.	Borspiss	borspiss på flekke	flint	1	1
T27566	50	110	109	sv	Lok. 2c.	Retusjert avslag	retusjert medioavslag	flint	1	1
T27566	51	110	110	nv	Lok. 2c.	Avslag	medioavslag	flint	1	1
T27566	52	110	110	nv	Lok. 2c.	Avslag	mikroavslag	flint	1	1
T27566	53	110	110	nø	Lok. 2c.	Avslag	medioavslag	flint	2	1
T27566	54	110	110	nø	Lok. 2c.	Avslag	mikroavslag	flint	2	1
T27566	55	110	110	sv	Lok. 2c.	Avslag	medioavslag	flint	2	1
T27566	56	110	110	sv	Lok. 2c.	Avslag	mikroavslag	flint	3	1
T27566	57	110	110	sv	Lok. 2c.	Kjernefragment	ubestemt kjernefragment	flint	1	1
T27566	58	110	110	sø	Lok. 2c.	Avslag	medioavslag	flint	4	1
T27566	59	110	110	sø	Lok. 2c.	Avslag	mikroavslag	flint	1	1
T27566	60	110	110	sø	Lok. 2c.	Flekk	mikroflekk	flint	1	1
T27566	61	110	110	sø	Lok. 2c.	Kjernefragment	plattformkjernefragment	flint	1	1
T27566	62	110	111	nø	Lok. 2c.	Avslag	mikroavslag	flint	1	1
T27566	63	110	111	nv	Lok. 2c.	Avslag	medioavslag	flint	1	1
T27566	64	110	111	nv	Lok. 2c.	Avslag	mikroavslag	flint	3	1

T27566	65	110	111		SV	Lok. 2c.	Avslag	medioavslag	flint	1	1
T27566	66	110	111		SV	Lok. 2c.	Avslag	mikroavslag	flint	2	1
T27566	67	110	111		SV	Lok. 2c.	Kjernefragment	bipolar kjernefragment	flint	1	1
T27566	68	110	112		SØ	Lok. 2c.	Avslag	mikroavslag	flint	2	1
T27566	69	110	112		NØ	Lok. 2c.	Avslag	medioavslag	flint	1	1
T27566	70	110	112		NØ	Lok. 2c.	Avslag	mikroavslag	flint	1	1
T27566	71	110	112		NØ	Lok. 2c.	Avslag	mikroavslag	bergkrystall	1	1
T27566	72	110	114		NØ	Lok. 2c.	Avslag	medioavslag	flint	1	1
T27566	73	111	107		SØ	Lok. 2c.	Avslag	medioavslag	flint	1	1
T27566	74	111	107		SØ	Lok. 2c.	Avslag	mikroavslag	flint	2	1
T27566	75	111	111		NØ	Lok. 2c.	Avslag	medioavslag	flint	1	1
T27566	76	111	111		SV	Lok. 2c.	Avslag	medioavslag	flint	1	1
T27566	77	111	111		SV	Lok. 2c.	Avslag	medioavslag	kvarts	1	1
T27566	78	111	111		SV	Lok. 2c.	Avslag	mikroavslag	bergkrystall	1	1
T27566	79	111	111		NV	Lok. 2c.	Avslag	medioavslag	flint	2	1
T27566	80	111	111		NV	Lok. 2c.	Avslag	mikroavslag	flint	1	1
T27566	81	111	111		SØ	Lok. 2c.	Avslag	mikroavslag	flint	1	1
T27566	82	111	111		SØ	Lok. 2c.	Avslag	medioavslag	kvartsitt	1	1
T27566	83	111	111		SØ	Lok. 2c.	Avslag	medioavslag	flint	2	1
T27566	84	111	111		SØ	Lok. 2c.	Retusjert flekke	retusjert medioflekke	flint	1	1
T27566	85	111	111		SØ	Lok. 2c.	Retusjert flekke	retusjert medioflekke	flint	1	1
T27566	86	111	112		NV	Lok. 2c.	Avslag	mikroavslag	flint	1	1
T27566	87	111	112		SV	Lok. 2c.	Avslag	mikroavslag	flint	2	1
T27566	88	111	112		SV	Lok. 2c.	Kjerne	ubestemt kjerne	kvarts	1	1
T27566	89	111	112		SØ	Lok. 2c.	Avslag	medioavslag	flint	3	1
T27566	90	111	112		SØ	Lok. 2c.	Avslag	medioavslag	kvarts	1	1
T27566	91	111	112		SØ	Lok. 2c.	Avslag	mikroavslag	flint	2	1

T27566	92	111	112	SØ	Lok. 2c.	Avslag	mikroavslag	kvarts	1	1
T27566	93	111	112	NØ	Lok. 2c.	Avslag	medioavslag	flint	1	1
T27566	94	111	112	NØ	Lok. 2c.	Avslag	medioavslag	flint	1	1
T27566	95	111	112	NØ	Lok. 2c.	Kjerne	ubestemt kjerne	flint	1	1
T27566	96	111	113	SV	Lok. 2c.	Avslag	mikroavslag	kvarts	1	1
T27566	97	111	113	SØ	Lok. 2c.	Avslag	medioavslag	flint	5	1
T27566	98	111	113	SØ	Lok. 2c.	Avslag	mikroavslag	flint	1	1
T27566	99	111	114	NØ	Lok. 2c.	Avslag	medioavslag	flint	2	1
T27566	100	111	114	SØ	Lok. 2c.	Avslag	medioavslag	flint	1	1
T27566	101	111	114	SØ	Lok. 2c.	Avslag	medioavslag	bergart	1	1
T27566	102	111	114	SØ	Lok. 2c.	Avslag	mikroavslag	kvartsitt	1	1
T27566	103	111	114	SØ	Lok. 2c.	Kjernefragment	bipolar kjernefragment	flint	1	1
T27566	104	111	114	SV	Lok. 2c.	Flekk	medioflekk	flint	1	1
T27566	105	111	114	SV	Lok. 2c.	Avslag	medioavslag	flint	2	1
T27566	107	112	116	SV	Lok. 2c.	Avslag	medioavslag	flint	1	1
T27566	106	112	116	SV	Lok. 2c.	Avslag	medioavslag	flint	2	1
T27566	108	113	113	SV	Lok. 2c	Flekk	mikroflekk	flint	1	1
T27566	109	114	111	NV	Lok. 2c	Avslag	mikroavslag	flint	1	1
T27566	110	116	110	NØ	Lok. 2c	Diagnostisk avslag	avslag fra skraperproduksjon	flint	1	1
T27566	111	116	112	SV	Lok. 2c	Avslag	medioavslag	flint	1	1
T27566	112	106	115	SV	Lok. 2c	Avslag	medioavslag	flint	1	2
T27566	113	108	118	SV	Lok. 2c	Avslag	medioavslag	kvartsitt	1	2
T27566	114	109	113	SV	Lok. 2c	Kjerne	ubestemt kjerne	flint	1	2
T27566	115	110	110	SV	Lok. 2c	Avslag	medioavslag	flint	2	2
T27566	116	110	110	SV	Lok. 2c	Avslag	mikroavslag	flint	2	2
T27566	117	110	110	SØ	Lok. 2c	Avslag	mikroavslag	flint	1	2
T27566	118	110	110	SØ	Lok. 2c	Kjerne	bipolar kjerne	flint	1	2

T27566	119	111	112	SØ	Lok. 2c	Avslag	medioavslag	flint	1	2
T27566	120	111	112	SØ	Lok. 2c	Kjerne	bipolar kjerne	flint	1	2
T27566	121	111	112	SØ	Lok. 2c	Kjerne	ubestemt kjerne	kvarts	1	2
T27566	122	113	113	SV	Lok. 2c	Avslag	mikroavslag	flint	2	2
T27566	123				Lok. 2b. Løsfunn ved krafslag.	Avslag	medioavslag	flint	1	Løsfunn
T27566	124				Lok. 2b. Løsfunn ved krafslag.	Retusjert avslag	retusjert medioavslag	flint	1	Løsfunn
T27566	125				Lok. 2b. Løsfunn ved krafslag.	Retusjert flekke	retusjert medioflekke	flint	1	Løsfunn
T27566	126	132	74	SV	Lok. 2b	Avslag	medioavslag	flint	1	1
T27566	127	132	74	SV	Lok. 2b	Avslag	mikroavslag	flint	1	1
T27566	128	134	68	SV	Lok. 2b	Avslag	medioavslag	flint	1	1
T27566	129	135	76	NV	Lok. 2b	Avslag	mikroavslag	flint	1	1
T27566	130	135	96	SØ	Lok. 2b	Avslag	medioavslag	flint	1	1
T27566	131	135	96	NØ	Lok. 2b	Flekk	mikroflekk	flint	1	1
T27566	132	135	96	NØ	Lok. 2b	Avslag	medioavslag	flint	1	1
T27566	133	135	96	SV	Lok. 2b	Avslag	medioavslag	kvarts	1	1
T27566	134	135	96	SV	Lok. 2b	Fragment	slipt fragment	skifer	1	1
T27566	135	135	96	NV	Lok. 2b	Avslag	medioavslag	flint	1	2
T27566	136	135	96	SV	Lok. 2b	Avslag	medioavslag	flint	1	2
T27566	137	135	96	NØ	Lok. 2b	Avslag	medioavslag	flint	1	2
T27566	138	135	96	SV	Lok. 2b	Flekk	mikroflekk	flint	1	3
T27566	139	135	96	SV	Lok. 2b	Diagnostisk avslag	flekkelignende avslag	flint	1	3
T27566	140	135	96	NV	Lok. 2b	Avslag	medioavslag	flint	1	3
T27566	141	135	96	NV	Lok. 2b	Avslag	mikroavslag	flint	1	3
T27566	142	135	96	SØ	Lok. 2b	Avslag	medioavslag	flint	1	3
T27566	143	135	96	SØ	Lok. 2b	Avslag	medioavslag	kvarts	1	3
T27566	144	135	96	SØ	Lok. 2b	Avslag	mikroavslag	flint	1	3
T27566	145	135	96	NV	Lok. 2b	Avslag	medioavslag	flint	1	4

T27566	146	135	96	sø	Lok. 2b	Avslag	mikroavslag	kvarts	1	4
T27566	147	135	96	nø	Lok. 2b	Kjerne	bipolar kjerne	flint	1	4
T27566	148	135	96	nø	Lok. 2b	Diagnostisk avslag	flekkelignende avslag	flint	1	5
T27566	149	135	96	nv	Lok. 2b	Avslag	medioavslag	kvarts	1	5
T27566	150	135	96	sv	Lok. 2b	Avslag	medioavslag	flint	1	5
T27566	151	135	96	sv	Lok. 2b	Kjerne	ubestemt kjerne	bergkrystall	1	5
T27566	152	135	96	sv	Lok. 2b	Avslag	medioavslag	flint	1	6
T27566	153	135	96	sø	Lok. 2b	Avslag	medioavslag	bergkrystall	1	6
T27566	154	135	96	nv	Lok. 2b	Avslag	medioavslag	flint	1	6
T27566	155	135	96	nv	Lok. 2b	Kjerne	ubestemt kjerne	bergkrystall	1	6
T27566	156	135	96	nv	Lok. 2b	Kjernefragment	plattformkjernefragment	flint	1	6
T27566	157	135	96	nø	Lok. 2b	Avslag	medioavslag	flint	2	7
T27566	158	135	96	nv	Lok. 2b	Avslag	medioavslag	flint	2	7
T27566	159	135	96	nv	Lok. 2b	Diagnostisk avslag	flekkelignende avslag	flint	1	7
T27566	160	135	96	nv	Lok. 2b	Retusjert avslag	retusjert medioavslag	flint	1	7
T27566	161	135	96	nø	Lok. 2b	Avslag	mikroavslag	flint	1	8
T27566	162	135	96	sv	Lok. 2b	Avslag	medioavslag	flint	1	8
T27566	163	135	96	sø	Lok. 2b	Avslag	medioavslag	flint	1	9
T27566	164	135	96	nø	Lok. 2b	Avslag	medioavslag	kvarts	1	9
T27566	165	135	96	nø	Lok. 2b	Avslag	mikroavslag	kvarts	1	9
T27566	166	135	96	nv	Lok. 2b	Avslag	medioavslag	flint	1	9
T27566	167	136	72	sv	Lok. 2b	Avslag	mikroavslag	flint	1	1
T27566	168				Lok. 2a	Flekk	makroflekk	flint	1	Løsfunn
T27566	169				Lok. 2a	Avslag	medioavslag	flint	6	Løsfunn
T27566	170				Lok. 2a	Avslag	medioavslag	bergkrystall	2	Løsfunn
T27566	171				Lok. 2a	Pilspiss	flateretusjert spiss	flint	1	Løsfunn
T27566	172				Lok. 2a. Funn fra mulig kokegrop ID 599, funnet sammen med masse brent	Avslag	medioavslag	flint	33	Kokegrop 599

T27566	173					hasseinøttskall og brente bein og skjørbrønt stein. Lok. 2a. Funn fra mulig kokegrop ID 599, funnet sammen med masse brent hasseinøttskall og brente bein og skjørbrønt stein.	Avslag	medioavslag	kvarts	3	Kokegrop 599
T27566	174					Lok. 2a. Funn fra mulig kokegrop ID 599, funnet sammen med masse brent hasseinøttskall og brente bein og skjørbrønt stein.	Avslag	medioavslag	bergkrystall	2	Kokegrop 599
T27566	175					Lok. 2a. Funn fra mulig kokegrop ID 599, funnet sammen med masse brent hasseinøttskall og brente bein og skjørbrønt stein.	Avslag	medioavslag	skifer	4	Kokegrop 599
T27566	176					Lok. 2a. Funn fra mulig kokegrop ID 599, funnet sammen med masse brent hasseinøttskall og brente bein og skjørbrønt stein.	Avslag	medioavslag	bergart	17	Kokegrop 599
T27566	177					Lok. 2a. Funn fra mulig kokegrop ID 599, funnet sammen med masse brent hasseinøttskall og brente bein og skjørbrønt stein.	Avslag	medioavslag	bergart	6	Kokegrop 599
T27566	178					Lok. 2a. Funn fra mulig kokegrop ID 599, funnet sammen med masse brent hasseinøttskall og brente bein og skjørbrønt stein.	Avslag	medioavslag	flint	1	Kokegrop 599
T27566	179					Lok. 2a. Funn fra mulig kokegrop ID 599, funnet sammen med masse brent hasseinøttskall og brente bein og skjørbrønt stein.	Avslag	mikroavslag	flint	19	Kokegrop 599
T27566	180					Lok. 2a. Funn fra mulig kokegrop ID 599, funnet sammen med masse brent hasseinøttskall og brente bein og skjørbrønt stein.	Avslag	mikroavslag	bergart	2	Kokegrop 599
T27566	181					Lok. 2a. Funn fra mulig kokegrop ID 599, funnet sammen med masse brent	Kjernefragment	bipolart kjernefragment	flint	1	Kokegrop 599

T27566	182				hasseinøttskall og brente bein og skjørbrønt stein.				Kjernefragment	overløpen flekke	flint	1	Kokegrop 599
T27566	183				Lok. 2a. Funn fra mulig kokegrop ID 599, funnet sammen med masse brent hasseinøttskall og brente bein og skjørbrønt stein.				Kjernefragment	ubestemt kjernefragment	flint	1	Kokegrop 599
T27566	184				Lok. 2a. Funn fra mulig kokegrop ID 599, funnet sammen med masse brent hasseinøttskall og brente bein og skjørbrønt stein.			Øks	firesidig bergartsøks	porfyr	1	Kokegrop 599	
T27566	185				Lok. 2a			Avslag	medioavslag	flint	1	Struktur snitt 722	
T27566	186				Lok. 2a			Avslag	mikroavslag	flint	1	Struktur snitt 626,	
T27566	187	103	102	nø	Lok. 2a			Flekk	mikroflekk	flint	1	1	
T27566	188	103	102	nø	Lok. 2a			Avslag	medioavslag	flint	1	1	
T27566	189	103	102	nø	Lok. 2a			Retusjert avslag	retusjert fragment	skifer	1	1	
T27566	190	104	98	nø	Lok. 2a			Avslag	medioavslag	flint	1	1	
T27566	191	104	98	nø	Lok. 2a			Kjerne	bipolar kjerne	flint	1	1	
T27566	192	104	103	nø	Lok. 2a			Avslag	medioavslag	kvarts	1	1	
T27566	193	105	98	nø	Lok. 2a			Kjernefragment	ubestemt kjernefragment	kvarts	1	1	
T27566	194	105	99	nø	Lok. 2a			Avslag	medioavslag	flint	1	1	
T27566	195	105	99	nø	Lok. 2a			Avslag	medioavslag	flint	1	1	
T27566	196	106	97	nø	Lok. 2a			Avslag	medioavslag	bergart	2	1	
T27566	197	106	97	nø	Lok. 2a			Avslag	medioavslag	flint	1	1	
T27566	198	106	97	nø	Lok. 2a			Avslag	mikroavslag	flint	2	1	
T27566	199	106	97	sø	Lok. 2a			Avslag	mikroavslag	flint	1	1	
T27566	200	106	97	sø	Lok. 2a			Diagnostisk avslag	flekkelignende avslag	flint	1	1	
T27566	201	106	97	sø	Lok. 2a			Kjernefragment	plattformkjernefragment	bergart	1	1	

T27566	202	106	98	nø	Lok. 2a	Avslag	medioavslag	flint	2	1
T27566	203	106	99	nø	Lok. 2a	Avslag	medioavslag	flint	1	1
T27566	204	106	99	nø	Lok. 2a	Avslag	mikroavslag	flint	1	1
T27566	205	106	100	sø	Lok. 2a	Avslag	medioavslag	flint	1	1
T27566	207	106	100	nv	Lok. 2a	Borspiss	borspiss på Kjerne/kjernefragment	flint	1	1
T27566	206	106	100	nv	Lok. 2a	Avslag	medioavslag	flint	1	1
T27566	208	107	98	sv	Lok. 2a	Avslag	medioavslag	flint	1	1
T27566	209	107	98	nv	Lok. 2a	Avslag	medioavslag	flint	1	1
T27566	210	107	99	nø	Lok. 2a	Avslag	medioavslag	flint	1	1
T27566	211	107	99	nv	Lok. 2a	Avslag	medioavslag	flint	5	1
T27566	212	107	99	sv	Lok. 2a	Avslag	medioavslag	flint	1	1
T27566	213	107	99	sv	Lok. 2a	Kjernefragment	plattformkjernefragment	bergart	1	1
T27566	214	107	99	sø	Lok. 2a	Avslag	medioavslag	flint	2	1
T27566	215	107	99	sø	Lok. 2a	Avslag	mikroavslag	flint	3	1
T27566	216	107	100	nv	Lok. 2a	Avslag	medioavslag	kvarts	1	1
T27566	217	107	100	nv	Lok. 2a	Avslag	mikroavslag	flint	1	1
T27566	218	107	100	sv	Lok. 2a	Avslag	medioavslag	flint	2	1
T27566	219	107	101	sø	Lok. 2a	Avslag	mikroavslag	flint	2	1
T27566	220	107	101	sv	Lok. 2a	Avslag	medioavslag	flint	2	1
T27566	221	107	101	nv	Lok. 2a	Avslag	medioavslag	flint	5	1
T27566	222	107	101	nv	Lok. 2a	Avslag	mikroavslag	flint	3	1
T27566	223	107	101	nv	Lok. 2a	Borspiss	borspiss på avslag	flint	1	1
T27566	224	107	102	nø	Lok. 2a	Avslag	medioavslag	flint	1	1
T27566	225	107	102	sv	Lok. 2a	Kjernefragment	plattformkjernefragment	bergkrystall	1	1
T27566	226	107	102	nv	Lok. 2a	Avslag	medioavslag	flint	1	1
T27566	227	107	102	nv	Lok. 2a	Avslag	mikroavslag	flint	1	1
T27566	228	107	102	nv	Lok. 2a	Kjernefragment	bipolart kjernefragment	flint	1	1

T27566	229	108	99	sv	Lok. 2a	Diagnostisk avslag	flekkelignende avslag	flint	1	1
T27566	230	108	99	sø	Lok. 2a	Avslag	medioavslag	bergart	1	1
T27566	231	108	100	sø	Lok. 2a	Avslag	medioavslag	flint	1	1
T27566	232	108	100	sø	Lok. 2a	Ukjent		skifer	1	1
T27566	233	108	101	sø	Lok. 2a	Avslag	medioavslag	kvarts	1	1
T27566	234	117	98	sv	Lok. 2a	Avslag	mikroavslag	flint	1	1

NTNU Vitenskapsmuseet er en enhet ved Norges teknisk-naturvitenskapelige universitet, NTNU.

NTNU Vitenskapsmuseet skal utvikle og formidle kunnskap om natur, kultur og vitenskap. Museet skal sikre og forvalte de vitenskapelige samlingene og aktivisere dem gjennom forskning, formidling og undervisning.

Seksjon for arkeologi og kulturhistorie har forvaltningsansvar for automatisk fredete kulturminner og skipsfunn i Nordmøre, Sør-Trøndelag, Nord-Trøndelag, nordlige Romsdal og Nordland til og med Rana. Seksjonen foretar arkeologiske undersøkelser på kulturminner over og under vann, i henhold til kulturminneloven.

ISBN 978-82-8322-136-7

ISSN 2387-3965

© NTNU Vitenskapsmuseet

Publikasjonen kan siteres fritt med kildeangivelse

www.ntnu.no/vitenskapsmuseet